

МОСКОВСКИЙ АВИАЦИОННЫЙ ИНСТИТУТ  
(НАЦИОНАЛЬНЫЙ ИССЛЕДОВАТЕЛЬСКИЙ УНИВЕРСИТЕТ)

---

ФАКУЛЬТЕТ «ПРИКЛАДНАЯ МАТЕМАТИКА И ФИЗИКА»

Учебно-методические комплексы кафедры «Математическая кибернетика»

**В.Н. НЕФЕДОВ**

**МЕТОДИЧЕСКИЕ УКАЗАНИЯ К ВЫПОЛНЕНИЮ  
РАСЧЕТНЫХ РАБОТ ПО ТЕОРИИ ГРАФОВ И СЕТЕЙ**

*Печатается по рекомендации Редакционного совета факультета  
«Прикладная математика и физика» Московского авиационного института  
(национального исследовательского университета)*

Москва  
Издательство «Доброе слово»  
2015

ББК 517  
УДК 512  
Н 58

**Нефедов В.Н.** Методические указания к выполнению расчетных работ по теории графов и сетей: Учебное пособие. – М.: Издательство «Доброе слово», 2015. – 59 с.: ил.

ISBN 978-5-89796-528-5

*Пособие предназначено для подготовки студентов к выполнению расчетных работ по следующим темам: связность, сильная связность, орграф конденсации; матричное задание графов, матрицы смежности, достижимости, связности; поиск маршрутов (путей) в графах (орграфах); деревья и циклы; внутренняя и внешняя устойчивость в графах, ядра графа; функции на вершинах орграфа, порядковая функция, функция Гранди; хроматическое число графа, задача об оптимальном раскрашивании вершин графа; цикломатическая матрица, электрические цепи, уравнения Кирхгофа; транспортные сети, поток в сети, максимальный поток. В каждой из тем приведены краткие теоретические сведения, необходимые для решения задач, а также приводится решение типового варианта расчетной работы по этой теме. Пособие предназначено для студентов специальностей «Прикладная математика», «Прикладная математика и информатика», а также для студентов других специальностей, изучающих курс «Дискретная математика».*

Корректурa: Яковлева С.Ю.

Издательство «Доброе слово»  
[www.dobroeslovo.info](http://www.dobroeslovo.info)

Подписано в печать: 07.04.2015  
П.л. 7,5. Формат 60х90/8

© Нефедов В.Н., 2015  
© Издательство «Доброе слово», 2015

## ПРЕДИСЛОВИЕ

Пособие предназначено для студентов специальностей «Прикладная математика», «Прикладная математика и информатика», а также для студентов других специальностей, изучающих курс «Дискретная математика» и выполняющих расчетные работы по теории графов и сетей. В методических указаниях рассматриваются следующие темы: связность, сильная связность, орграф конденсации; матричное задание графов, матрицы смежности, достижимости, связности; поиск маршрутов (путей) в графах (орграфах); деревья и циклы; внутренняя и внешняя устойчивость в графах, ядра графа; функции на вершинах орграфа, порядковая функция, функция Гранди; хроматическое число графа, задача об оптимальном раскрашивании вершин графа; цикломатическая матрица, электрические цепи, уравнения Кирхгофа; транспортные сети, поток в сети, максимальный поток. В методических указаниях приведены краткие теоретические сведения по перечисленным темам, подробное изложение которых можно найти в учебном пособии [1]. Настоящее пособие дополняет учебное пособие [2], поскольку в нем рассматривается семь новых тем.

## Тема 1. Элементы теории графов. Задача об оповещении

Под *графом*  $G = (V, X)$  понимается пара, состоящая из конечного непустого множества  $V = \{v_1, \dots, v_n\}$ , элементы которого называются *вершинами* графа, и конечного множества пар вершин  $X = \{x_1, \dots, x_m\}$ . Если пары в  $X$  являются неупорядоченными, то граф  $G$  называется *неориентированным графом* (или просто *графом*). Если пары в  $X$  являются упорядоченными, то граф называется *ориентированным*, кратко *орграфом*. Элементы множества  $X$  называются *ребрами*, если  $G$  – неориентированный граф, и *дугами*, если  $G$  – орграф. Ребра неориентированного графа обозначаются в виде двухэлементных множеств  $\{v, w\}$ , где  $v, w \in V$ . При этом  $\{v, w\} = \{w, v\}$ . Дуги орграфа обозначаются в виде упорядоченных пар вида  $(v, w)$  (или  $\langle v, w \rangle$ ), где  $v, w \in V$ . Иногда в множестве  $X$  допускается существование нескольких одинаковых пар. В этом случае граф называется *мультиграфом*. Иногда также допускаются пары с одинаковыми элементами, которые называются *петлями*. В последнем случае граф называется *псевдографом*. Одинаковые пары в  $X$  называются *кратными* (или *параллельными*). Количество одинаковых ребер (дуг) называется *кратностью* этого ребра (этой дуги). Все вводимые в этой теме понятия одинаково применимы к графам, мультиграфам, псевдографам. Поэтому чаще всего будем говорить просто о графах (ориентированных или неориентированных). Неориентированные графы будем обозначать буквой  $G$  или  $G$  с индексами (например,  $G_0, G_1, \dots$ ), а ориентированные – буквой  $D$  или  $D$  с индексами (например,  $D_0, D_1, \dots$ ). Кроме того, договоримся обозначать вершины буквами  $v, w, u$  (без индексов или с индексами), а ребра и дуги – буквами  $x, y, z$  (без индексов или с индексами). Для графа  $G = (V, X)$  в случае  $v \in V$  ( $x \in X$ ) будем иногда кратко писать  $v \in G$  ( $x \in G$ ). Аналогично будем поступать и для орграфов. Графы принято изображать на плоскости в виде множества точек (маленьких кружков), соответствующих вершинам, и множества линий, соединяющих некоторые пары вершин, соответствующих ребрам. В случае орграфа на линиях, соответствующих дугам, рисуются стрелки, указывающие направления дуг (от первой вершины пары до второй). На рис. 1.1 приведено изображение неориентированного псевдографа, а на рис. 1.2 – ориентированного.

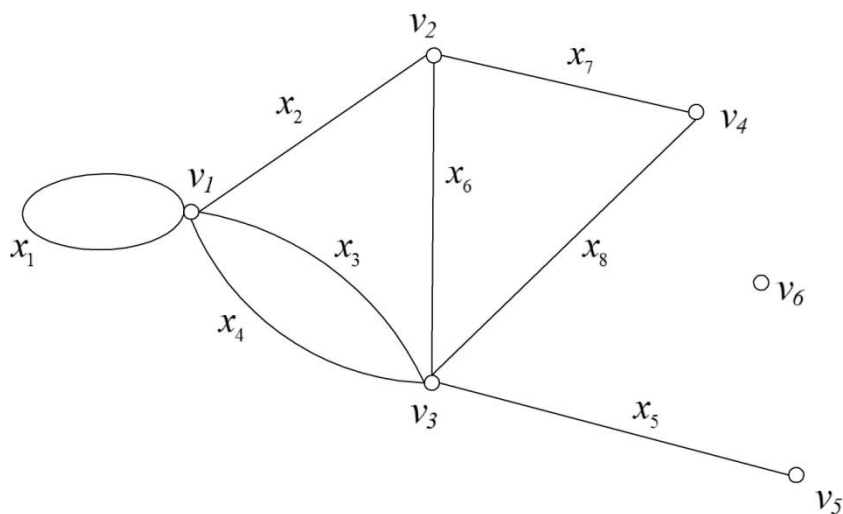


Рис. 1.1

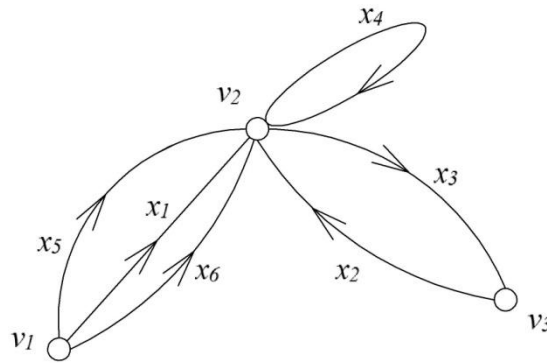
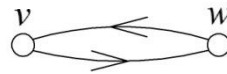


Рис. 1.2

**Замечание 1.1.** Для упрощения изображения графов вместо указания вершины около кружка, соответствующего ей, будем иногда указывать ее номер в центре этого кружка (см., например, рис. 1.8). Кроме того, будем вместо изображений вида



часто использовать изображение



Если  $x = \{v, w\}$  – ребро неориентированного графа, то говорят, что (а) вершины  $v, w$  – смежные; (б) вершины  $v, w$  – концы ребра  $x$ ; (в) ребро  $x$  соединяет вершины  $v, w$ ; (г) ребро  $x$  инцидентно вершинам  $v, w$ ; (д) вершины  $v, w$  инцидентны ребру  $x$ .

Если  $x = (v, w)$  – дуга орграфа, то говорят, что (а) вершина  $v$  – начало дуги  $x$ ,  $w$  – конец дуги  $x$ ; (б) дуга  $x$  исходит из вершины  $v$  и заходит в вершину  $w$ ; (в) дуга  $x$  инцидентна вершинам  $v, w$ ; (г) вершины  $v, w$  инцидентны дуге  $x$ .

**Степень вершины.** Степенью вершины  $v$  графа  $G$  называется число  $\delta(v)$  ребер графа  $G$ , инцидентных вершине  $v$ . Вершина графа, имеющая степень 0, называется *изолированной*, а имеющая степень 1 – *висячей*. В случае псевдографа вклад петли  $\{v, v\}$  в  $\delta(v)$  равен 2.

*Полустепенью исхода (захода)* вершины  $v$  орграфа  $D$  называется число  $\delta^+(v)$  ( $\delta^-(v)$ ) дуг орграфа  $D$ , исходящих из вершины  $v$  (заходящих в вершину  $v$ ). В случае ориентированного псевдографа вклад петли  $(v, v)$  в  $\delta^+(v)$  и в  $\delta^-(v)$  равен 1.

**Пример 1.1.**(а) Для графа, изображенного на рис. 1.1,  $\delta(v_1) = 5$ ,  $\delta(v_4) = 2$ ,  $\delta(v_5) = 1$ ,  $\delta(v_6) = 0$ ; (б) для орграфа, изображенного на рис. 1.2,  $\delta^+(v_2) = 2$ ,  $\delta^-(v_2) = 5$ .

Будем количества вершин и ребер в графе  $G$  обозначать через  $n(G), m(G)$  соответственно, а количества вершин и дуг в орграфе  $D$  – через  $n(D), m(D)$  соответственно.

**Утверждение 1.1.** Для любого псевдографа  $G = (V, X)$  выполняется равенство

$$\sum_{v \in V} \delta(v) = 2m(G). \quad (1.1)$$

**Доказательство.** Равенство (1.1) является очевидным следствием того, что каждое ребро дает вклад, равный двум, в сумму из левой части равенства (1.1).

Приведем также соответствующее утверждение для орграфов.

**Утверждение 1.2.** Для любого ориентированного псевдографа  $D = (V, X)$  выполняется

$$\sum_{v \in V} \delta^+(v) = \sum_{v \in V} \delta^-(v) = m(D). \quad (1.2)$$

**Маршруты, пути. Последовательность**

$$v_1 x_1 v_2 x_2 \dots v_k x_k v_{k+1}, \quad (1.3)$$

где  $v_i \in V$ ,  $x_i = \{v_i, v_{i+1}\} \in X$ , называется *маршрутом*, соединяющим вершины  $v_1, v_{k+1}$  в графе  $G = (V, X)$ . Аналогично определяется путь в орграфе  $D = (V, X)$ . Последовательность (1.3), где  $v_i \in V$ ,  $x_i = (v_i, v_{i+1}) \in X$ , называется *путем* из  $v_1$  в  $v_{k+1}$  в орграфе  $D = (V, X)$ . Вершина  $v_1$  называется *начальной*, а  $v_{k+1}$  – *конечной* вершиной маршрута (пути), а остальные вершины – *внутренними*. *Длиной* маршрута (пути) называется количество ребер (дуг) в нем. Маршрут (путь) называется *замкнутым*, если его начальная вершина совпадает с конечной. Незамкнутый маршрут (путь), в котором ребра (дуги) попарно различны, называется *цепью*. Цепь, в которой все вершины попарно различны, называется *простой*. Замкнутый маршрут (путь), в котором все ребра (дуги) попарно различны, называется *циклом (контуром)*. Цикл (контур), в котором все вершины попарно различны, называется *простым*. Если ребро (дуга)  $x$  входит в некоторый маршрут (путь)  $\eta$ , то будем кратко писать  $x \in \eta$ .

**Замечание 1.2.** Последовательность (1.3) можно однозначно восстановить по последовательности  $x_1 x_2 \dots x_k$ , а следовательно, ее можно использовать как сокращенную форму записи маршрута или пути. Отметим далее, что в случае, когда в последовательности (1.3)  $x_1, \dots, x_k$  имеют кратности, равные 1, ее можно однозначно восстановить по последовательности вершин  $v_1 v_2 \dots v_{k+1}$ , а следовательно, вместо (1.3) можно использовать и эту сокращенную форму записи маршрута или пути.

Говорят, что вершина  $w$  орграфа  $D$  (графа  $G$ ) *достижима* из вершины  $v$ , если либо  $v = w$ , либо существует путь из  $v$  в  $w$  (маршрут, соединяющий  $v, w$ ).

*Подграфом* графа  $G$  называется граф, все вершины и ребра которого содержатся среди вершин и ребер графа  $G$ . Подграф называется *собственным*, если он отличен от самого графа. Подграфом графа  $G = (V, X)$ , *порожденным* множеством вершин  $V_1 \subseteq V$ , называется граф  $G_1 = (V_1, X_1)$ , где  $X_1 = X \cap V_1^2$  (т.е. содержащий множество вершин  $V_1$  и множество всех ребер графа  $G$ , соединяющих вершины из  $V_1$ ). Приведенные определения распространяются и на орграфы. Граф называется *связным*, если для любых двух его различных вершин существует маршрут, соединяющий их. Орграф называется *сильно связным*, если для любых двух его различных вершин  $v, w$  существует путь из  $v$  в  $w$ . *Компонентной связности* графа  $G$  называется его связный подграф, не являющийся собственным подграфом никакого другого связного подграфа графа  $G$ . *Компонентной сильной связности* орграфа  $D$  называется его сильно связный подграф, не являющийся собственным подграфом никакого другого сильно связного подграфа орграфа  $D$ . У графа, изображенного на рис. 1.3, три компоненты связности. У орграфа, изображенного на рис. 1.4, три компоненты сильной связности:  $D_1, D_2, D_3$ , изображенные на рис. 1.5 и выделенные пунктирными линиями на рис. 1.4.

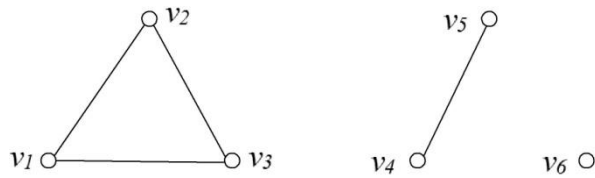


Рис. 1.3

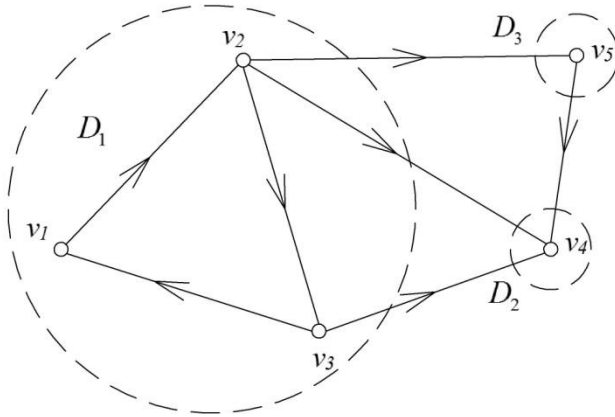


Рис. 1.4

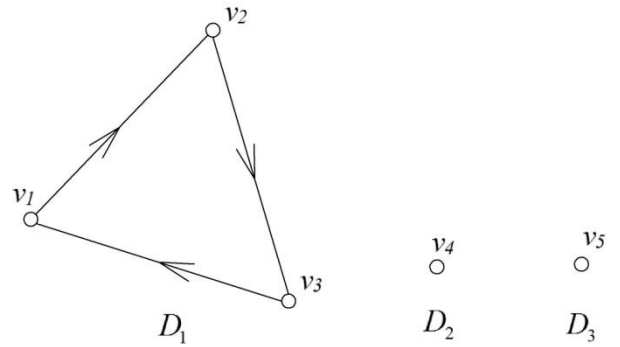


Рис. 1.5

**Орграф конденсации.** Орграфом конденсации для ориентированного графа  $D = (V, X)$  называется ориентированный граф  $D_0 = (V_0, X_0)$ , вершинами которого являются компоненты сильной связности орграфа  $D$ , а множество его дуг  $X_0$  определяется условием:  $x_0 = (v_0, w_0) \in X_0 \Leftrightarrow$  в компонентах сильной связности  $v_0, w_0$  существуют вершины  $v \in v_0, w \in w_0$ , для которых  $(v, w) \in X$ .

**Пример 1.2.** Орграфом конденсации орграфа, изображенного на рис. 1.4, является орграф, изображенный на рис. 1.6.

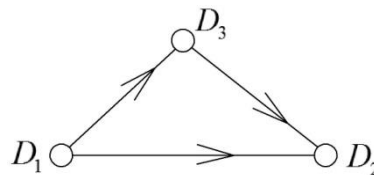


Рис. 1.6

**Образ, прообраз вершины, множества вершин.** Пусть  $D = (V, X)$  – орграф,  $v \in V, V_1 \subseteq V$ . Обозначим  $D(v) = \{w \in V \mid (v, w) \in X\}$  – образ вершины  $v$ ,  $D^{-1}(v) = \{w \in V \mid (w, v) \in X\}$  – прообраз вершины  $v$  (см. рис. 1.7),  $D(V_1) = \bigcup_{v \in V_1} D(v)$  – образ множества вершин  $V_1$ ,  $D^{-1}(V_1) = \bigcup_{v \in V_1} D^{-1}(v)$  – прообраз множества вершин  $V_1$ .

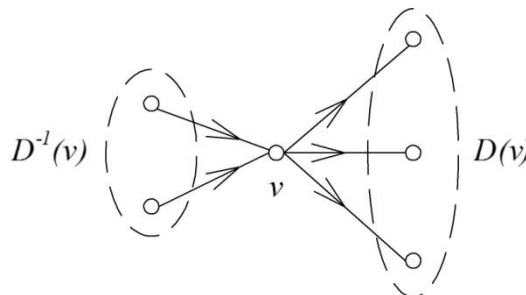


Рис. 1.7

**Задача об оптимальном оповещении членов организации.** Пусть в орграфе  $D = (V, X)$ ,  $V$  – множество членов организации,  $X$  – множество дуг таких, что  $x = (v, w) \in X$  тогда и только тогда, когда  $v$  может передать информацию  $w$ . Рассмотрим следующую задачу. Требуется выделить подмножество  $U$  множества  $V$  с минимальным количеством элементов такое, что через оповещение некоторой информацией членов из  $U$  можно добиться оповещения этой информацией всех членов из  $V$ . Для решения этой задачи достаточно перейти от орграфа  $D$  к орграфу конденсации  $D_0 = (V_0, X_0)$  и выделить множество  $W_0 = \{v_0 \in V_0 \mid D_0^{-1}(v_0) = \emptyset\}$ . Тогда искомым множеством  $U \subseteq V$  является множество вершин таких, что каждая вершина  $u \in U$  является вершиной («представителем») одной и только одной компоненты сильной связности орграфа  $D$ , принадлежащей множеству  $W_0$ .

**Пример 1.3.** Решением указанной задачи для орграфа  $D$ , изображенного на рис. 1.4, является множество  $U = \{v_1\}$  (или  $U = \{v_2\}$  или  $U = \{v_3\}$ ). Действительно,  $v_1$  передает информацию  $v_2$  (кратко,  $v_1 \mapsto v_2$ ), а затем  $v_2 \mapsto v_3$ ,  $v_2 \mapsto v_4$ ,  $v_2 \mapsto v_5$ .

**Разбор типового варианта.** Пусть схема взаимного оповещения членов организации задана орграфом  $D$ , изображенным на рис. 1.8 (см. замечание 1.1). Выделить подмножество  $U$  множества  $V$  с минимальным количеством элементов такое, что через оповещение некоторой информацией членов из  $U$  можно добиться оповещения этой информацией всех членов из  $V$ . Указать общую схему такого оповещения.

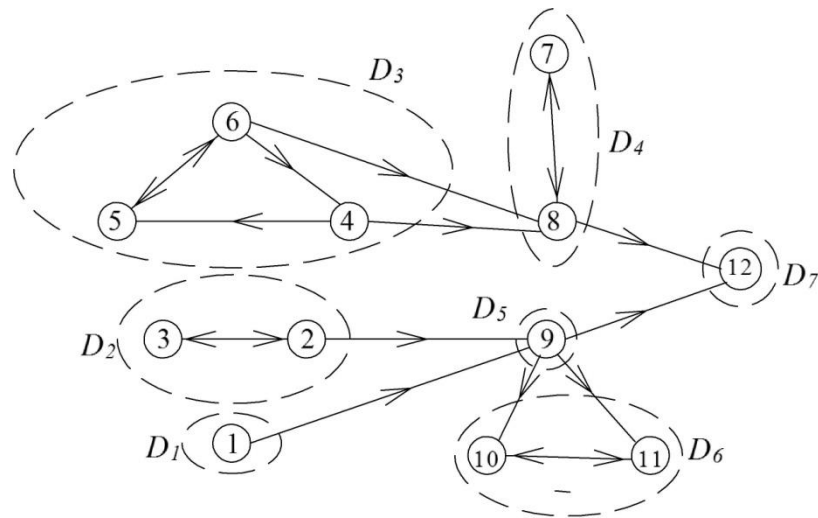


Рис. 1.8

**Решение.** Выделим компоненты сильной связности орграфа  $D$ :  $D_1, \dots, D_7$ , (на рис. 1.8 они обведены замкнутыми пунктирными линиями). Построим по орграфу  $D$  его оргграф конденсации  $D_0$  (см. изображение  $D_0$  на рис. 1.9). Условие  $D_0^{-1}(v_0) = \emptyset$  выполняется при  $v_0 = D_1, D_2, D_3$ . Возможными представителями этих оргграфов являются вершины  $v_1, v_2, v_4$ . Тогда можно положить  $U = \{v_1, v_2, v_4\}$  и согласно рис. 1.8, одной из возможных схем оповещения является: первоначально оповещаем  $v_1, v_2, v_4$ ; далее:

$v_1 \mapsto v_9 \mapsto v_{10} \mapsto v_{11}$ ;  $v_9 \mapsto v_{12}$ ;  $v_2 \mapsto v_3$ ;  $v_4 \mapsto v_5 \mapsto v_6 \mapsto v_8 \mapsto v_7$ .



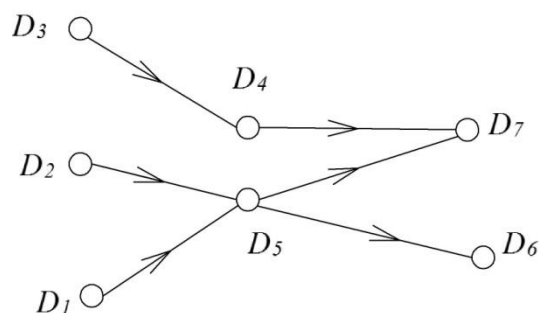


Рис. 1.9

Описанный алгоритм использует визуальное изображение орграфа. В следующей теме описывается алгоритм для случая его матричного задания.

## Тема 2. Матрицы достижимости, связности. Определение наличия контуров в орграфах

В этом разделе рассматривается матричное задание графов (орграфов). С помощью этих матриц удобно задавать графы (орграфы) для обработки на ЭВМ. В рассмотренной в теме 1 задаче (см. разбор типового варианта) компоненты сильной связности орграфа  $D = (V, X)$  легко определяются «визуально», т.е. исходя из изображения этого орграфа. Однако при большом количестве дуг такой подход затруднителен. В этом случае даже построение изображения орграфа является весьма трудоемким, а выделение компонент сильной связности становится практически невозможным. Поэтому представляют интерес алгоритмы выделения компонент сильной связности орграфа, основанные на использовании не изображения орграфа, а некоторых других способов задания орграфа, в частности, матричного. Такие матрицы должны легко строиться, исходя из множеств  $V, X$ , а сам алгоритм должен быть легко программируемым и практически реализуемым даже при больших  $n = n(D)$ ,  $m = m(D)$ . Именно такой подход и рассматривается в настоящем разделе. В дальнейшем, если об этом не оговорено особо, предполагается, что в рассматриваемых графах (орграфах) отсутствуют петли и кратные ребра (дуги).

**Матрицы смежности.** Пусть  $D = (V, X)$  – орграф, где  $V = \{v_1, \dots, v_n\}$ . *Матрицей смежности* орграфа  $D$  называется квадратная матрица  $A(D) = [a_{ij}]$  порядка  $n$ , у которой  $a_{ij} = 1$ , если  $(v_i, v_j) \in X$ , и  $a_{ij} = 0$  – в противном случае. Введем также матрицу смежности для неориентированного графа. Пусть  $G = (V, X)$  – граф, где  $V = \{v_1, \dots, v_n\}$ . *Матрицей смежности* графа  $G$  называется квадратная матрица  $A(G) = [a_{ij}]$  порядка  $n$ , у которой  $a_{ij} = 1$ , если  $\{v_i, v_j\} \in X$ , и  $a_{ij} = 0$  – в противном случае.

Нам понадобится следующее свойство матрицы смежности. Обозначим через  $A^k = [a_{ij}^{(k)}]$   $k$ -ю степень матрицы смежности  $A = A(D)$  орграфа  $D$  (аналогичное обозначение будем использовать и для графа  $G$ ), где  $k \in \mathbb{N} = \{1, 2, \dots\}$ .

**Утверждение 2.1.** Элемент  $a_{ij}^{(k)}$  матрицы  $A^k$  орграфа  $D = (V, X)$  (графа  $G = (V, X)$ ), где  $V = \{v_1, \dots, v_n\}$ ,  $k \in \mathbb{N}$ , равен числу всех путей (маршрутов) длины  $k$  из  $v_i$  в  $v_j$  (соединяющих  $v_i, v_j$ ).

**Булевы матрицы.** Будем прямоугольную  $(m \times n)$ – матрицу  $C = [c_{ij}]$ , у которой  $c_{ij} \in \{0, 1\}$  называть *булевой*. Заметим, что матрица смежности  $A(D)$  ( $A(G)$ ) для произвольного орграфа  $D$  (графа  $G$ ) является булевой. Над булевыми матрицами одинаковой размерности можно производить любые двухместные операции, определенные в математической логике и теории булевых функций:  $\&$ ,  $\vee$ ,  $\supset$ ,  $\sim$ ,  $+$  и т.д. Например, если  $C = [c_{ij}]$ ,  $D = [d_{ij}]$  – булевы  $(m \times n)$ – матрицы, то  $F = [f_{ij}] = C \vee D$  есть булева  $(m \times n)$ – матрица с элементами  $f_{ij} = c_{ij} \vee d_{ij}$ ,  $i = 1, 2, \dots, m$ ,  $j = 1, 2, \dots, n$ . Кроме того, будем использовать логическое умножение матриц, отличающееся от алгебраического умножения матриц только тем, что арифметическое сложение заменяется на  $\vee$ . Пусть  $C = [c_{ij}]$  – булева  $(m \times k)$ – матрица,  $D = [d_{ij}]$  – булева  $(k \times n)$ – матрица. Тогда  $F = [f_{ij}] = CD$  есть булева  $(m \times n)$ – матрица с элементами  $f_{ij} = \bigvee_{r=1}^k c_{ir} d_{rj}$ ,  $i = 1, 2, \dots, m$ ,  $j = 1, 2, \dots, n$ . В дальнейшем из контекста будет ясно, где используется алгебраическое умножение матриц, а где – логическое (всюду далее в этом разделе используется только логическое умножение матриц). Приведем утверждение, являющееся следствием утверждения 2.1, для случая, когда матрица  $A^k = [a_{ij}^{(k)}]$  является  $k$ -й степенью матрицы смежности  $A = A(D)$  орграфа  $D$  в случае логического умножения (аналогичное обозначение будем использовать и для графа  $G$ ), где  $k \in \mathbb{N} = \{1, 2, \dots\}$ .

**Утверждение 2.2.** Элемент  $a_{ij}^{(k)}$  матрицы  $A^k$  орграфа  $D = (V, X)$  (графа  $G = (V, X)$ ), где  $V = \{v_1, \dots, v_n\}$ ,  $k \in \mathbb{N}$ , равен 1, если существует путь (маршрут) длины  $k$  из  $v_i$  в  $v_j$  (соединяющий  $v_i, v_j$ ); в противном случае, он равен нулю.

**Матрицы связности. Определение наличия контуров.** Говорят, что вершина  $w$  орграфа  $D$  (графа  $G$ ) *достижима* из вершины  $v$ , если либо  $v = w$ , либо существует путь из  $v$  в  $w$  (маршрут, соединяющий  $v, w$ ). Пусть  $D = (V, X)$  – оргграф, где  $V = \{v_1, \dots, v_n\}$ . *Матрицей достижимости* орграфа  $D$  называется квадратная матрица  $T(D) = [t_{ij}]$  порядка  $n$ , у которой  $t_{ij} = 1$ , если вершина  $v_j$  достижима из вершины  $v_i$ , и  $t_{ij} = 0$  – в противном случае. *Матрицей сильной связности* орграфа  $D$  называется квадратная матрица  $S(D) = [s_{ij}]$  порядка  $n$ , у которой  $s_{ij} = 1$  тогда и только тогда, когда вершины  $v_i, v_j$  взаимно достижимы (т.е. принадлежат одной компоненте сильной связности).

Пусть  $G = (V, X)$  – граф, где  $V = \{v_1, \dots, v_n\}$ . *Матрицей связности* графа  $G$  называется квадратная матрица  $S(G) = [s_{ij}]$  порядка  $n$ , у которой  $s_{ij} = 1$  тогда и только тогда, когда вершины  $v_i, v_j$  взаимно достижимы (т.е. принадлежат одной компоненте связности). Справедливы следующие утверждения, являющиеся следствиями утверждения 2.2.

**Утверждение 2.3.** Пусть  $G = (V, X)$ , где  $V = \{v_1, \dots, v_n\}$ , – граф с матрицей смежности  $A = A(G)$ . Тогда  $S(G) = E \vee A \vee A^2 \vee \dots \vee A^{n-1}$ .

**Утверждение 2.4.** Пусть  $D = (V, X)$ , где  $V = \{v_1, \dots, v_n\}$ , – оргграф с матрицей смежности  $A = A(D)$ . Тогда (1)  $T(D) = E \vee A \vee A^2 \vee \dots \vee A^{n-1}$ ; (2)  $S(D) = T(D) \& [T(D)]^T$ , где  $T$  – операция транспонирования матрицы.

Утверждения 2.3, 2.4 дают простые, легко реализуемые на ЭВМ методы вычисления матриц  $S(G), T(D), S(D)$ . Существуют и более экономичные методы вычисления этих матриц. Опишем, например, метод Уоршелла, основанный на следующем утверждении.

**Утверждение 2.5.** Пусть  $A$  – матрица смежности графа  $G = (V, X)$  (орграфа  $D = (V, X)$ ), где  $V = \{v_1, \dots, v_n\}$ . Рассмотрим последовательность булевых квадратных матриц  $B^{(l)} = [b_{ij}^{(l)}]$  порядка  $n$ , где  $l = 0, 1, \dots, n$ ,  $B^{(0)} = A \vee E$ , элементы которых вычисляются по следующей итерационной формуле  $b_{ij}^{(l)} = b_{ij}^{(l-1)} \vee (b_{il}^{(l-1)} \& b_{lj}^{(l-1)})$ , где  $l = 1, 2, \dots, n$ . Тогда  $S(G) = B^{(n)}$  (и соответственно  $T(D) = B^{(n)}$ ,  $S(D) = T(D) \& [T(D)]^T$ ).

Пусть орграф  $D$  задан матрицей смежности  $A(D)$  и уже найдена матрица сильной связности  $S(D)$ . Приведем алгоритм определения числа компонент сильной связности орграфа  $D$ , а также матриц смежности этих компонент (предполагая сохранение в компонентах того же порядка следования вершин, что и в исходном орграфе  $D$ ).

### Алгоритм 2.1

*Шаг 1.* Полагаем  $p = 1$ ,  $S_1 = S(D)$ .

*Шаг 2.* Включаем в множество вершин  $V_p$  очередной компоненты сильной связности  $D_p$  орграфа  $D$  вершины, соответствующие единицам первой строки матрицы  $S_p$ . В качестве  $A(D_p)$  берем подматрицу матрицы  $A(D)$ , находящуюся на пересечении строк и столбцов, соответствующих вершинам из  $V_p$ .

*Шаг 3.* Вычеркиваем из  $S_p$  строки и столбцы, соответствующие вершинам из  $V_p$ . Если в результате такого вычеркивания не остается ни одной строки (и соответственно ни одного столбца), то  $p$  – количество компонент сильной связности орграфа  $D$  и  $A(D_1), \dots, A(D_p)$  – матрицы смежности компонент сильной связности  $D_1, \dots, D_p$  орграфа  $D$ . В противном случае, обозначаем оставшуюся после вычеркивания из  $S_p$  соответствующих строк и столбцов матрицу через  $S_{p+1}$ , увеличиваем  $p$  на 1 и переходим к шагу 2.

При решении ряда задач нередко необходимо выяснить, есть ли контуры в заданном орграфе. Заметим, что если в орграфе  $D$  присутствует некоторый контур, то все вершины, входящие в этот контур, взаимно достижимы и поэтому принадлежат одной компоненте сильной связности орграфа  $D$ , а следовательно, эта компонента будет содержать более одной вершины. Заметим также, что если некоторая компонента сильной связности орграфа  $D$  содержит более одной вершины, то в этой компоненте, а следовательно, и в самом орграфе  $D$  обязательно присутствует контур. Таким образом, справедливо

**Утверждение 2.6.** Для того чтобы орграф  $D$  имел хотя бы один контур, необходимо и достаточно, чтобы он имел хотя бы одну компоненту сильной связности, содержащую более одной вершины или (что то же самое), чтобы матрица  $S(D)$  была отлична от единичной матрицы  $E$ .

Иногда вопрос стоит так. В случае, когда орграф  $D$  имеет контуры, определить, какую минимальную длину имеют эти контуры. Для решения этой задачи снова воспользуемся утверждением 2.2, следствием которого является

**Утверждение 2.7.** Для того, чтобы оргграф  $D$  с матрицей смежности  $A = A(D)$  имел контур минимальной длины  $k \in \{2, \dots, n(D)\}$ , необходимо и достаточно, чтобы матрицы  $A^2, \dots, A^{k-1}$  имели только нулевые диагональные элементы, а матрица  $A^k$  имела ненулевые диагональные элементы.

Пусть  $D = (V, X)$  – оргграф. Обозначим  $\forall U \subseteq V \quad F(U) = D(U) \setminus U$ . Пусть  $D_1 = (V_1, X_1), \dots, D_p = (V_p, X_p)$  – компоненты сильной связности оргграфа  $D$ ,  $D_0 = (V_0, X_0)$  – оргграф конденсации оргграфа  $D$ . Приведем алгоритм нахождения матрицы смежности  $A_0 = A(D_0) = [a_{ij}^{(0)}]$ ,  $i, j \in \{1, 2, \dots, p\}$ .

### Алгоритм 2.2

Для нахождения элементов строки матрицы  $A_0$  с номером  $i \in \{1, 2, \dots, p\}$  действуем следующим образом. Находим  $F(V_i) = D(V_i) \setminus V_i$ . Тогда  $a_{ij}^{(0)} = 1 \Leftrightarrow F(V_i) \cap V_j \neq \emptyset$ ,  $j = 1, 2, \dots, p$ . Множества  $F(V_i)$  легко определяются, исходя из матрицы  $A(D)$ .

Пусть  $D = (V, X)$  – оргграф. Приведем также алгоритм решения задачи об оптимальном оповещении членов организации (см. тему 1) для случая, когда  $V$  – множество членов организации и  $x = (v, w) \in X$  тогда и только тогда, когда  $v$  может передать информацию  $w$ . Этот алгоритм, в отличие от метода, приведенного в теме 1 и использующего изображение оргграфа  $D$ , основан на использовании матрицы смежности  $A(D)$ . В соответствии с постановкой задачи, приведенной в теме 1, требуется выделить подмножество  $U$  множества  $V$  с минимальным количеством элементов такое, что через оповещение некоторой информацией членов из  $U$  можно добиться оповещения этой информацией всех членов из  $V$ . Кроме того, следует указать схему такого оповещения.

### Алгоритм 2.3

*Шаг 1.* Следуя методу, приведенному в теме 1, определяем оргграф конденсации

$D_0 = (V_0, X_0)$  и выделяем множество  $W_0 = \{v_0 \in V_0 \mid D_0^{-1}(v_0) = \emptyset\}$ . Тогда искомым множеством  $U \subseteq V$  является множество вершин таких, что каждая вершина  $u \in U$  является вершиной («представителем») одной и только одной компоненты сильной связности оргграфа  $D$ , принадлежащей множеству  $W_0$ . Оповещаем (требуемой информацией) всех членов из  $U$ . Полагаем  $U_1 = U$ ,  $i = 1$ .

*Шаг 2.* Если  $F(U_i) = \emptyset$ , то задача решена (т.е. все члены организации оповещены). В противном случае выбираем произвольную вершину  $u_i \in F(U_i)$ . Ее оповещает любая вершина из  $U_i \cap D^{-1}(u_i)$ .

*Шаг 3.* Полагаем  $U_{i+1} = U \cup \{u_i\}$ , увеличиваем  $i$  на 1 и переходим к шагу 2.

**Разбор типового варианта.** Орграф  $D = (V, X)$ , где  $V = \{v_1, \dots, v_n\}$ , задан матрицей

$$\text{смежности } A = A(D) = \begin{bmatrix} 0 & 0 & 0 & 0 & 1 & 0 \\ 0 & 0 & 0 & 1 & 1 & 0 \\ 0 & 0 & 0 & 0 & 0 & 1 \\ 0 & 1 & 0 & 0 & 0 & 0 \\ 0 & 0 & 1 & 0 & 0 & 1 \\ 0 & 0 & 1 & 0 & 0 & 0 \end{bmatrix}. \text{ Определить: (а) матрицы } T(D), S(D); \text{ (б) нали-}$$

чие контуров в  $D$  (имеются или не имеются); (в) в случае наличия контуров в  $D$  определить минимальную длину контуров; (г) количество  $p$  компонент сильной связности орграфа  $D$ , матрицы смежности этих компонент, а также их изображения; (д) матрицу смежности орграфа конденсации  $D_0$  орграфа  $D$ ; (е) изображение орграфа  $D_0$ ; (ж) решить задачу об оптимальном оповещении членов организации (см. тему 1), если  $V$  – множество членов организации и  $x = (v, w) \in X$  тогда и только тогда, когда  $v$  может передать информацию  $w$ .

**Решение.** (а) Будем определять матрицу  $T(D)$  по формуле из утверждения 2.4 (см. также замечание 2.2, в котором  $T(D)$  определяется методом Уоршелла, т.е. по формулам из утверждения 2.5). В соответствии с этим последовательно определяем:

$$\begin{aligned} A^2 &= \begin{bmatrix} 0 & 0 & 0 & 0 & 1 & 0 \\ 0 & 0 & 0 & 1 & 1 & 0 \\ 0 & 0 & 0 & 0 & 0 & 1 \\ 0 & 1 & 0 & 0 & 0 & 0 \\ 0 & 0 & 1 & 0 & 0 & 1 \\ 0 & 0 & 1 & 0 & 0 & 0 \end{bmatrix} \begin{bmatrix} 0 & 0 & 0 & 0 & 1 & 0 \\ 0 & 0 & 0 & 1 & 1 & 0 \\ 0 & 0 & 0 & 0 & 0 & 1 \\ 0 & 1 & 0 & 0 & 0 & 0 \\ 0 & 0 & 1 & 0 & 0 & 1 \\ 0 & 0 & 1 & 0 & 0 & 0 \end{bmatrix} = \begin{bmatrix} 0 & 0 & 1 & 0 & 0 & 1 \\ 0 & 1 & 1 & 0 & 0 & 1 \\ 0 & 0 & 1 & 0 & 0 & 0 \\ 0 & 0 & 0 & 1 & 1 & 0 \\ 0 & 0 & 1 & 0 & 0 & 1 \\ 0 & 0 & 0 & 0 & 0 & 1 \end{bmatrix}, \\ A^3 &= AA^2 = \begin{bmatrix} 0 & 0 & 0 & 0 & 1 & 0 \\ 0 & 0 & 0 & 1 & 1 & 0 \\ 0 & 0 & 0 & 0 & 0 & 1 \\ 0 & 1 & 0 & 0 & 0 & 0 \\ 0 & 0 & 1 & 0 & 0 & 1 \\ 0 & 0 & 1 & 0 & 0 & 0 \end{bmatrix} \begin{bmatrix} 0 & 0 & 1 & 0 & 0 & 1 \\ 0 & 1 & 1 & 0 & 0 & 1 \\ 0 & 0 & 1 & 0 & 0 & 0 \\ 0 & 0 & 0 & 1 & 1 & 0 \\ 0 & 0 & 1 & 0 & 0 & 1 \\ 0 & 0 & 0 & 0 & 0 & 1 \end{bmatrix} = \begin{bmatrix} 0 & 0 & 1 & 0 & 0 & 1 \\ 0 & 0 & 1 & 1 & 1 & 1 \\ 0 & 0 & 0 & 0 & 0 & 1 \\ 0 & 1 & 1 & 0 & 0 & 1 \\ 0 & 0 & 1 & 0 & 0 & 1 \\ 0 & 0 & 1 & 0 & 0 & 0 \end{bmatrix}, \\ A^4 &= AA^3 = \begin{bmatrix} 0 & 0 & 0 & 0 & 1 & 0 \\ 0 & 0 & 0 & 1 & 1 & 0 \\ 0 & 0 & 0 & 0 & 0 & 1 \\ 0 & 1 & 0 & 0 & 0 & 0 \\ 0 & 0 & 1 & 0 & 0 & 1 \\ 0 & 0 & 1 & 0 & 0 & 0 \end{bmatrix} \begin{bmatrix} 0 & 0 & 1 & 0 & 0 & 1 \\ 0 & 0 & 1 & 1 & 1 & 1 \\ 0 & 0 & 0 & 0 & 0 & 1 \\ 0 & 1 & 1 & 0 & 0 & 1 \\ 0 & 0 & 1 & 0 & 0 & 1 \\ 0 & 0 & 1 & 0 & 0 & 0 \end{bmatrix} = \begin{bmatrix} 0 & 0 & 1 & 0 & 0 & 1 \\ 0 & 1 & 1 & 0 & 0 & 1 \\ 0 & 0 & 1 & 0 & 0 & 0 \\ 0 & 0 & 1 & 1 & 1 & 1 \\ 0 & 0 & 1 & 0 & 0 & 1 \\ 0 & 0 & 0 & 0 & 0 & 1 \end{bmatrix}, \\ A^5 &= AA^4 = \begin{bmatrix} 0 & 0 & 0 & 0 & 1 & 0 \\ 0 & 0 & 0 & 1 & 1 & 0 \\ 0 & 0 & 0 & 0 & 0 & 1 \\ 0 & 1 & 0 & 0 & 0 & 0 \\ 0 & 0 & 1 & 0 & 0 & 1 \\ 0 & 0 & 1 & 0 & 0 & 0 \end{bmatrix} \begin{bmatrix} 0 & 0 & 1 & 0 & 0 & 1 \\ 0 & 1 & 1 & 0 & 0 & 1 \\ 0 & 0 & 1 & 0 & 0 & 0 \\ 0 & 0 & 1 & 1 & 1 & 1 \\ 0 & 0 & 1 & 0 & 0 & 1 \\ 0 & 0 & 0 & 0 & 0 & 1 \end{bmatrix} = \begin{bmatrix} 0 & 0 & 1 & 0 & 0 & 1 \\ 0 & 0 & 1 & 1 & 1 & 1 \\ 0 & 0 & 0 & 0 & 0 & 1 \\ 0 & 1 & 1 & 0 & 0 & 1 \\ 0 & 0 & 1 & 0 & 0 & 1 \\ 0 & 0 & 1 & 0 & 0 & 0 \end{bmatrix}. \end{aligned}$$

**Замечание 2.1.** Из определения логического умножения матриц и вида матрицы  $A$  следует, что первая строка матрицы  $A^2$  совпадает с пятой строкой матрицы  $A$  (совершенно аналогично, первая строка матрицы  $A^{k+1}$  совпадает с пятой строкой матрицы  $A^k$ ,  $k=1,2,\dots$ ). Заметим далее, что вторая строка матрицы  $A^{k+1}$  совпадает с дизъюнкцией четвертой и пятой строк матрицы  $A^k$ , а третья строка матрицы  $A^{k+1}$  совпадает с шестой строкой матрицы  $A^k$ ,  $k=1,2,\dots$ , и т.д.

В силу утверждения 2.4,

$$T(D) = E \vee A \vee A^2 \vee \dots \vee A^5 = \begin{bmatrix} 1 & 0 & 1 & 0 & 1 & 1 \\ 0 & 1 & 1 & 1 & 1 & 1 \\ 0 & 0 & 1 & 0 & 0 & 1 \\ 0 & 1 & 1 & 1 & 1 & 1 \\ 0 & 0 & 1 & 0 & 1 & 1 \\ 0 & 0 & 1 & 0 & 0 & 1 \end{bmatrix},$$

$$S(D) = T(D) \& [T(D)]^T = \begin{bmatrix} 1 & 0 & 1 & 0 & 1 & 1 \\ 0 & 1 & 1 & 1 & 1 & 1 \\ 0 & 0 & 1 & 0 & 0 & 1 \\ 0 & 1 & 1 & 1 & 1 & 1 \\ 0 & 0 & 1 & 0 & 1 & 1 \\ 0 & 0 & 1 & 0 & 0 & 1 \end{bmatrix} \begin{bmatrix} 1 & 0 & 0 & 0 & 0 & 0 \\ 0 & 1 & 0 & 1 & 0 & 0 \\ 1 & 1 & 1 & 1 & 1 & 1 \\ 0 & 1 & 0 & 1 & 0 & 0 \\ 1 & 1 & 0 & 1 & 1 & 0 \\ 1 & 1 & 1 & 1 & 1 & 1 \end{bmatrix} =$$

$$= \begin{bmatrix} 1 & 0 & 0 & 0 & 0 & 0 \\ 0 & 1 & 0 & 1 & 0 & 0 \\ 0 & 0 & 1 & 0 & 0 & 1 \\ 0 & 1 & 0 & 1 & 0 & 0 \\ 0 & 0 & 0 & 0 & 1 & 0 \\ 0 & 0 & 1 & 0 & 0 & 1 \end{bmatrix}. \quad (\text{б}) \text{ В орграфе } D \text{ имеются контуры, так как } S(D) \neq E. \quad (\text{в}) \text{ По-}$$

скольку уже в матрице  $A^2$  имеются ненулевые диагональные элементы, то в орграфе  $D$  имеется контур минимальной длины 2. (г) Используя алгоритм 2.1, последовательно определяем матрицы смежности компонент сильной связности орграфа  $D$ . Согласно алгоритму 2.1, в первую компоненту сильной связности  $D_1$  орграфа  $D$  войдет единственная вершина  $v_1$ , т.е.  $D_1 = (V_1, X_1)$ , где  $V_1 = \{v_1\}$ ,  $X_1 = \emptyset$ . Соответствующая этой компоненте сильной связности матрица смежности имеет вид (находится на пересечении первой строки и первого столбца матрицы  $A(D)$ )

$$A(D_1) = \begin{bmatrix} & v_1 \\ v_1 & 0 \end{bmatrix}.$$

Изображение орграфа  $D_1$  приведено на рис. 2.1.



Рис. 2.1

Вычеркнув из матрицы  $S_1 = S(D)$  первую строку и первый столбец, получаем матрицу

$$S_2 = \begin{array}{c|ccccc} & v_2 & v_3 & v_4 & v_5 & v_6 \\ \hline v_2 & 1 & 0 & 1 & 0 & 0 \\ v_3 & 0 & 1 & 0 & 0 & 1 \\ v_4 & 1 & 0 & 1 & 0 & 0 \\ v_5 & 0 & 0 & 0 & 1 & 0 \\ v_6 & 0 & 1 & 0 & 0 & 1 \end{array} .$$

Согласно алгоритму 2.1 во вторую компоненту сильной связности  $D_2$  орграфа  $D$  войдут вершины  $v_2, v_4$ , т.е.  $D_2 = (V_2, X_2)$ , где  $V_2 = \{v_2, v_4\}$ . Соответствующая этой компоненте сильной связности матрица смежности имеет вид (находится на пересечении второй и четвертой строк со вторым и четвертым столбцами матрицы  $A(D)$ )

$$A(D_2) = \begin{array}{c|cc} & v_2 & v_4 \\ \hline v_2 & 0 & 1 \\ v_4 & 1 & 0 \end{array} .$$

Изображение орграфа  $D_2$  приведено на рис. 2.1. Вычеркнув из матрицы  $S_2$  строки и столбцы, соответствующие вершинам  $v_2, v_4$ , получаем матрицу

$$S_3 = \begin{array}{c|ccc} & v_3 & v_5 & v_6 \\ \hline v_3 & 1 & 0 & 1 \\ v_5 & 0 & 1 & 0 \\ v_6 & 1 & 0 & 1 \end{array} .$$

Согласно алгоритму 2.1 в третью компоненту сильной связности  $D_3$  орграфа  $D$  войдут вершины  $v_3, v_6$ , т.е.  $D_3 = (V_3, X_3)$ , где  $V_3 = \{v_3, v_6\}$ . Соответствующая этой компоненте сильной связности матрица смежности имеет вид (находится на пересечении третьей и шестой строк с третьим и шестым столбцами матрицы  $A(D)$ )

$$A(D_3) = \begin{array}{c|cc} & v_3 & v_6 \\ \hline v_3 & 0 & 1 \\ v_6 & 1 & 0 \end{array} .$$

Изображение орграфа  $D_3$  приведено на рис. 2.1. Вычеркнув из матрицы  $S_3$  строки и столбцы, соответствующие вершинам  $v_3, v_6$ , получаем матрицу

$$S_4 = \begin{array}{c|c} & v_5 \\ \hline v_5 & 1 \end{array} .$$

Согласно алгоритму 2.1, в четвертую компоненту сильной связности  $D_4$  орграфа  $D$  войдет единственная вершина  $v_4$ , т.е.  $D_4 = (V_4, X_4)$ , где  $V_4 = \{v_5\}$ ,  $X_4 = \emptyset$ . Соответствующая этой компоненте сильной связности матрица смежности имеет вид (находится на пересечении четвертой строки и четвертого столбца матрицы  $A(D)$ )

$$A(D_4) = \begin{array}{c|c} & v_5 \\ \hline v_5 & 0 \end{array} .$$

Изображение орграфа  $D_4$  приведено на рис. 2.1. Очевидно, что  $p = 4$ , так как после исключения из  $S_4$  строки и столбца, соответствующих вершине  $v_5$ , получаем пустую матрицу. (д) Для нахождения матрицы  $A(D_0)$  воспользуемся алгоритмом 2.2. В нашем примере  $V_1 = \{v_1\}$ ,  $F(V_1) = D(V_1) \setminus V_1 = \{v_5\} \setminus \{v_1\} = \{v_5\}$ ,  $v_5 \in V_4 \Rightarrow a_{14}^{(0)} = 1, a_{1j}^{(0)} = 0, j = 1, 2, 3$ ;  
 $V_2 = \{v_2, v_4\}$ ,  $F(V_2) = D(V_2) \setminus V_2 = \{v_2, v_4, v_5\} \setminus \{v_2, v_4\} = \{v_5\}$ ,  $v_5 \in V_4 \Rightarrow a_{24}^{(0)} = 1, a_{2j}^{(0)} = 0, j = 1, 2, 3$ ;  
 $V_3 = \{v_3, v_6\}$ ,  $F(V_3) = D(V_3) \setminus V_3 = \{v_3, v_6\} \setminus \{v_3, v_6\} = \emptyset \Rightarrow a_{3j}^{(0)} = 0, j = 1, 2, 3, 4$ ;  $V_4 = \{v_5\}$ ,  $F(V_4) = D(V_4) \setminus V_4 = \{v_3, v_6\} \setminus \{v_5\} = \{v_3, v_6\}$ ,  $v_3, v_6 \in V_3 \Rightarrow a_{43}^{(0)} = 1, a_{4j}^{(0)} = 0, j = 1, 2, 4$ . Таким образом,

$$A(D_0) = \begin{array}{c|cccc} & D_1 & D_2 & D_3 & D_4 \\ \hline D_1 & 0 & 0 & 0 & 1 \\ D_2 & 0 & 0 & 0 & 1 \\ D_3 & 0 & 0 & 0 & 0 \\ D_4 & 0 & 0 & 1 & 0 \end{array} .$$

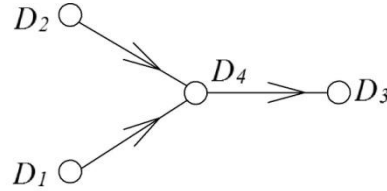


Рис. 2.2

(д) Изображение орграфа  $D_0$  строится по матрице  $A(D_0)$  (приведено на рис. 2.2). (е) В соответствии с алгоритмом 2.3 выделяем подмножество  $U$  множества  $V$  с минимальным количеством элементов такое, что через оповещение некоторой информацией членов из  $U$  можно добиться оповещения этой информацией всех членов из  $V$ . Для решения этой задачи рассматриваем оргграф конденсации  $D_0 = (V_0, X_0)$  и выделяем множество  $W_0 = \{v_0 \in V_0 \mid D_0^{-1}(v_0) = \emptyset\}$  (множество вершин с нулевыми столбцами в  $A(D_0)$ ). Тогда искомым множеством  $U \subseteq V$  является множество вершин таких, что каждая вершина  $u \in U$  является вершиной («представителем») одной и только одной компоненты сильной связности орграфа  $D$ , принадлежащей множеству  $W_0$ . Заметим, что  $W_0 = \{D_1, D_2\}$  (см. рис. 2.2),  $v_1 \in D_1, v_2 \in D_2$  (см. рис. 2.1), поэтому полагаем  $U = \{v_1, v_2\}$ . Следуя алгоритму 2.3, далее полагаем  $U_1 = U = \{v_1, v_2\}$ . Используя матрицу  $A(D)$ , находим множество

$$F(U_1) = D(U_1) \setminus U_1 = D(\{v_1, v_2\}) \setminus \{v_1, v_2\} = \{v_4, v_5\} \setminus \{v_1, v_2\} = \{v_4, v_5\}$$

и выбираем из него произвольную вершину, например,  $v_4$ , т.е. полагаем  $u_1 = v_4$ . Далее находим множество  $U_1 \cap D^{-1}(u_1) = U \cap D^{-1}(v_4) = \{v_1, v_2\} \cap \{v_2\} = \{v_2\}$ . Единственная вершина этого множества  $v_2$  оповещает  $v_4$  (кратко пишем:  $v_2 \mapsto v_4$ ). Далее полагаем  $U_2 = U_1 \cup \{u_1\} = \{v_1, v_2, v_4\}$ , находим множество

$$F(U_2) = D(U_2) \setminus U_2 = D(\{v_1, v_2, v_4\}) \setminus \{v_1, v_2, v_4\} = \{v_2, v_4, v_5\} \setminus \{v_1, v_2, v_4\} = \{v_5\},$$

содержащее единственную вершину  $v_5$  и полагаем  $u_2 = v_5$ . Находим множество

$$U_2 \cap D^{-1}(u_2) = U_2 \cap D^{-1}(v_5) = \{v_1, v_2, v_4\} \cap \{v_1, v_2\} = \{v_1, v_2\}, \text{ выбираем из него произвольную}$$



вершину, например,  $v_1$ . Тогда  $v_1 \mapsto v_5$ . Далее полагаем  $U_3 = U_2 \cup \{u_2\} = \{v_1, v_2, v_4, v_5\}$ , находим множество

$$\begin{aligned} F(U_3) &= D(U_3) \setminus U_3 = D(\{v_1, v_2, v_4, v_5\}) \setminus \{v_1, v_2, v_4, v_5\} = \\ &= \{v_2, v_3, v_4, v_5, v_6\} \setminus \{v_1, v_2, v_4, v_5\} = \{v_3, v_6\}, \end{aligned}$$

и выбираем из него произвольную вершину, например,  $v_3$ , т.е. полагаем  $u_3 = v_3$ . Находим множество  $U_3 \cap D^{-1}(u_3) = U_3 \cap D^{-1}(v_3) = \{v_1, v_2, v_4, v_5\} \cap \{v_5, v_6\} = \{v_5\}$ , содержащее единственную вершину  $v_5$ . Тогда  $v_5 \mapsto v_3$ . Далее полагаем  $U_4 = U_3 \cup \{u_3\} = \{v_1, v_2, v_3, v_4, v_5\}$ , находим множество

$$\begin{aligned} F(U_4) &= D(U_4) \setminus U_4 = D(\{v_1, v_2, v_3, v_4, v_5\}) \setminus \{v_1, v_2, v_3, v_4, v_5\} = \\ &= \{v_2, v_3, v_4, v_5, v_6\} \setminus \{v_1, v_2, v_3, v_4, v_5\} = \{v_6\}, \end{aligned}$$

и полагаем  $u_4 = v_6$ . Находим множество  $U_4 \cap D^{-1}(u_4) = U_4 \cap D^{-1}(v_6) = \{v_1, v_2, v_3, v_4, v_5\} \cap \{v_3, v_5\} = \{v_3, v_5\}$ , выбираем из него произвольную вершину, например,  $v_3$ . Тогда  $v_3 \mapsto v_6$ . Далее полагаем  $U_5 = U_4 \cup \{u_4\} = \{v_1, v_2, v_3, v_4, v_5, v_6\}$ , находим множество  $F(U_5) = D(U_5) \setminus U_5 = \emptyset$ , а это согласно алгоритму 2.3 (см. шаг 2), означает, что схема оповещения построена. А именно, вначале оповещаются  $v_1, v_2$ , а затем  $v_2 \mapsto v_4$ ,  $v_1 \mapsto v_5 \mapsto v_3 \mapsto v_6$ .

**Замечание 2.2.** При решении задачи из типового варианта нахождение  $T(D)$ ,  $S(D)$  производилось по формулам из утверждения 2.4. Найдем также эти матрицы более экономичным методом (см. утверждение 2.5). Введем в рассмотрение вспомогательную квадратную матрицу  $\hat{B}^{(l)} = [\hat{b}_{ij}^{(l)}]$  порядка  $n$  с элементами  $\hat{b}_{ij}^{(l)} = b_{il}^{(l-1)} \& b_{lj}^{(l-1)}$ , где  $l = 1, 2, \dots, n$ . Тогда (см. утверждение 2.5)  $B^{(l)} = B^{(l-1)} \vee \hat{B}^{(l)}$ . Из определения матрицы  $\hat{B}^{(l)}$  следует, что  $l$ -ая строка матрицы  $B^{(l-1)}$  повторяется во всех строках матрицы  $\hat{B}^{(l)}$  с номерами  $i \in \{1, 2, \dots, n\}$ , для которых  $b_{il}^{(l-1)} = 1$ , т.е., если матрицы  $B^{(l-1)}$ ,  $\hat{B}^{(l)}$  стоят рядом, то  $l$ -ая строка матрицы  $B^{(l-1)}$  находится в матрице  $\hat{B}^{(l)}$  напротив всех единиц  $l$ -го столбца матрицы  $B^{(l-1)}$ . Остальные строки матрицы  $\hat{B}^{(l)}$  являются нулевыми. Далее в соответствующих таблицах единицы  $l$ -ой строки,  $l$ -го столбца матрицы  $B^{(l-1)}$ , а также единицы матрицы  $\hat{B}^{(l)}$  будут выделены жирным шрифтом, где  $l = 1, 2, \dots, 6$ . Действуя таким образом, получаем:

$$B^{(0)} = A \vee E = \begin{bmatrix} 1 & 0 & 0 & 0 & 1 & 0 \\ 0 & 1 & 0 & 1 & 1 & 0 \\ 0 & 0 & 1 & 0 & 0 & 1 \\ 0 & 1 & 0 & 1 & 0 & 0 \\ 0 & 0 & 1 & 0 & 1 & 1 \\ 0 & 0 & 1 & 0 & 0 & 1 \end{bmatrix},$$

$$B^{(5)} = B^{(4)} \vee \hat{B}^{(5)} = \begin{bmatrix} 1 & 0 & 0 & 0 & \mathbf{1} & 0 \\ 0 & 1 & 0 & 1 & \mathbf{1} & 0 \\ 0 & 0 & 1 & 0 & 0 & 1 \\ 0 & 1 & 0 & 1 & \mathbf{1} & 0 \\ 0 & 0 & \mathbf{1} & 0 & \mathbf{1} & \mathbf{1} \\ 0 & 0 & 1 & 0 & 0 & 1 \end{bmatrix} \vee \begin{bmatrix} 0 & 0 & \mathbf{1} & 0 & \mathbf{1} & \mathbf{1} \\ 0 & 0 & \mathbf{1} & 0 & \mathbf{1} & \mathbf{1} \\ 0 & 0 & 0 & 0 & 0 & 0 \\ 0 & 0 & \mathbf{1} & 0 & \mathbf{1} & \mathbf{1} \\ 0 & 0 & \mathbf{1} & 0 & \mathbf{1} & \mathbf{1} \\ 0 & 0 & 0 & 0 & 0 & 0 \end{bmatrix} = \begin{bmatrix} 1 & 0 & 1 & 0 & 1 & 1 \\ 0 & 1 & 1 & 1 & 1 & 1 \\ 0 & 0 & 1 & 0 & 0 & 1 \\ 0 & 1 & 1 & 1 & 1 & 1 \\ 0 & 0 & 1 & 0 & 1 & 1 \\ 0 & 0 & 1 & 0 & 0 & 1 \end{bmatrix},$$

### Тема 3. Поиск маршрутов (путей) в графах (орграфах)

**Задача о лабиринте.** Опишем метод поиска маршрута в связном графе  $G = (V, X)$ , соединяющим заданные вершины  $v, w \in V$ ,  $v \neq w$ .

### Алгоритм 3.1 (Тэрри) поиска маршрута в связном графе

Если, исходя из вершины  $v$  и осуществляя последовательный переход от каждой достигнутой вершины к смежной ей вершине, руководствоваться следующими правилами: (1) идя по произвольному ребру, всякий раз отмечать направление, по которому оно пройдено; (2) исходя из некоторой вершины  $v'$ , всегда следовать по тому ребру, которое не было пройдено или было пройдено в противоположном направлении; (3) для всякой вершины  $v'$ , отличной от  $v$ , отмечать ребро, по которому зашли в  $v'$  в первый раз; (4) исходя из некоторой вершины  $v'$ , отличной от  $v$ , по первому заходящему в  $v'$  ребру идти лишь тогда, когда нет других возможностей, то всегда можно найти маршрут в связном графе  $G$ , соединяющий  $v, w$ .

**Замечание 3.1.** Задачу, которую решает алгоритм Тэрри, можно назвать *задачей о лабиринте*. Здесь  $v$  – начальная точка поиска,  $w$  – выход из лабиринта.

**Замечание 3.2.** Алгоритм Тэрри позволяет избежать повторного прохождения ребер в одном направлении. Если конец маршрута не задан, то, проводя поиск согласно алгоритму Тэрри, пока это возможно, мы найдем замкнутый маршрут, проходящий ровно по два раза (по разу в каждом направлении) по каждому ребру связного графа  $G$ .

**Задача о поливочной машине.** Пусть граф  $G$  соответствует схеме дорог некоторого района, которые нужно полить летом водой (соответственно посыпать песком зимой) с двух сторон (дорожки с двухсторонним движением). Вершина  $v_1$  соответствует базе, где машина заправляется водой и бензином и куда она возвращается после полива дорожек. В силу замечания 3.2, алгоритм Тэрри дает оптимальное решение этой задачи (минимальный расход бензина и воды), поскольку каждая дорожка поливается ровно по разу в каждом направлении.

**Разбор типового варианта.** Решить задачу о поливочной машине, если схема дорог описывается графом  $G = (V, X)$ ,  $V = \{v_1, \dots, v_7\}$ , изображенным на рис. 3.1 (см. замечание 1.1), т.е. требуется указать маршрут, обеспечивающий полный обход всех вершин и ребер графа  $G$ , начиная из вершины  $v_1$  и заканчивая в этой же вершине. При этом каждое ребро должно быть пройдено по разу в каждом направлении.

**Решение.** Для решения этой задачи действуем в соответствии с алгоритмом Тэрри (см. замечание 3.2). Для реализации алгоритма помечаем первые заходящие в вершины ребра крестиками, которые наносим на ребрах ближе к той вершине в которую в первый раз заходим, а также указываем направления прохождения ребер и последовательность прохождения ребер. Алгоритм 3.1 дает следующий возможный маршрут (см. рис. 3.1)

$v_1 v_3 v_2 v_1 v_2 v_3 v_4 v_5 v_7 v_4 v_6 v_7 v_6 v_4 v_7 v_5 v_4 v_3 v_1$  (см. замечание 1.2).

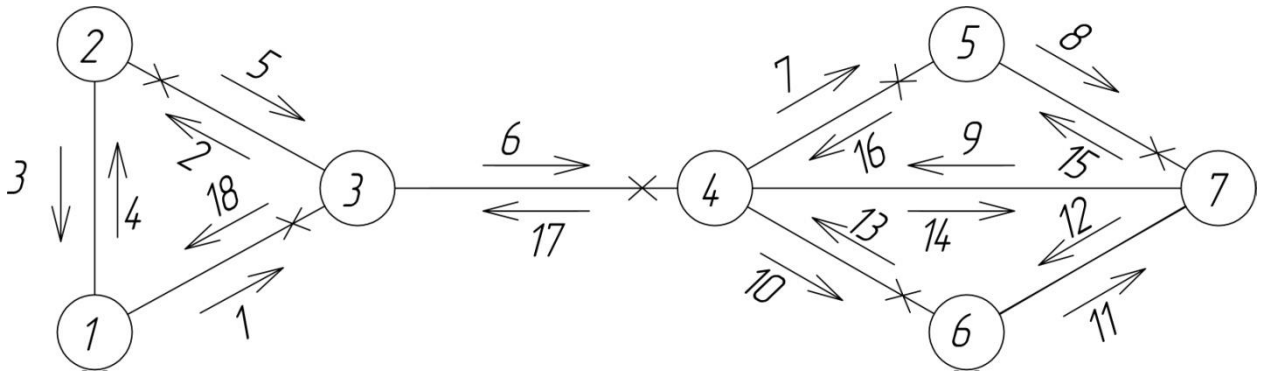


Рис 3.1

**Поиск минимальных путей в орграфах. Алгоритм «фронта волны».** Путь в орграфе  $D$  из вершины  $v$  в вершину  $w$ , где  $w \neq v$ , называется *минимальным*, если он имеет минимальную длину среди всех путей орграфа  $D$  из  $v$  в  $w$ . Аналогично определяется минимальный маршрут в графе  $G$ . Пусть  $D = (V, X)$  – орграф с  $n \geq 2$  вершинами,  $v, w$  – заданные вершины из  $V$ ,  $v \neq w$ . Опишем алгоритм *фронта волны* поиска минимального пути из  $v$  в  $w$  в орграфе  $D$ . Будем использовать обозначения:  $D(v)$ ,  $D^{-1}(v)$  и др. (см. стр. 7).

### Алгоритм 3.2 (фронта волны)

**Шаг 1.** Помечаем вершину  $v$  индексом 0, а все вершины, принадлежащие образу вершины  $v$ , индексом 1. Обозначим через  $FW_0(v)$ ,  $FW_1(v)$  – множества вершин, помеченных индексами 0 и 1, соответственно, т.е.  $FW_0(v) = \{v\}$ ,  $FW_1(v) = D(v)$ . Полагаем  $k = 1$ .

**Шаг 2.** Если  $FW_k(v) = \emptyset$ , то вершина  $w$  не достижима из  $v$  и работа алгоритма на этом заканчивается. В противном случае переходим к шагу 3.

**Шаг 3.** Если  $w \notin FW_k(v)$ , то переходим к шагу 4. В противном случае существует минимальный путь из  $v$  в  $w$ , имеющий длину  $k$ . Последовательность его вершин  $vw_1 \dots w_{k-1}w$ , где

$$w_{k-1} \in FW_{k-1}(v) \cap D^{-1}(w), w_{k-2} \in FW_{k-2}(v) \cap D^{-1}(w_{k-1}), \dots, w_1 \in FW_1(v) \cap D^{-1}(w_2), \quad (3.1)$$

и есть искомым минимальный путь из  $v$  в  $w$  длины  $k$ . На этом работа алгоритма заканчивается.

**Шаг 4.** Помечаем индексом  $k+1$  все непомеченные вершины, принадлежащие образу множества вершин, помеченных индексом  $k$ . Множество вершин, помеченных индексом  $k+1$ , обозначаем  $FW_{k+1}(v)$ , т.е.  $FW_{k+1}(v) = D(FW_k(v)) \setminus \bigcup_{i=0}^k FW_i(v)$ . Увеличиваем  $k$  на 1 и переходим к шагу 2.

**Замечание 3.3.** Множество  $FW_k(v)$  будем называть *фронтом волны*  $k$ -го уровня с центром в вершине  $v$ .

**Замечание 3.4.** Вершины  $w_1, \dots, w_{k-1}$  из (3.1), вообще говоря, могут быть выделены неоднозначно, что говорит о возможности существования нескольких различных минимальных путей из  $v$  в  $w$ .

**Замечание 3.5.** Аналогично описывается алгоритм поиска минимальных маршрутов в неориентированном графе  $G$ .

**Разбор типового варианта.** Орграф  $D = (V, X)$ , где  $V = \{v_1, \dots, v_{10}\}$ , задан матрицей смежности  $A(D)$ , приведенной в табл. 3.1. Найти все минимальные пути из  $v_1$  в  $v_{10}$ .

	$v_1$	$v_2$	$v_3$	$v_4$	$v_5$	$v_6$	$v_7$	$v_8$	$v_9$	$v_{10}$
$v_1$	0	0	0	1	1	0	1	0	0	0
$v_2$	1	0	1	0	1	0	1	1	0	1
$v_3$	0	1	0	1	1	1	0	0	1	1
$v_4$	1	0	0	0	0	1	0	1	0	0
$v_5$	1	0	0	0	0	1	0	1	0	0
$v_6$	0	1	0	1	1	0	0	1	1	0
$v_7$	1	0	0	0	1	0	0	0	1	0
$v_8$	0	1	1	1	0	1	1	0	0	0
$v_9$	1	0	1	0	1	0	1	1	0	0
$v_{10}$	0	1	1	0	0	1	1	0	1	0

Табл.3.1

**Решение.** Действуя согласно алгоритму 3.2, последовательно определяем:

$$FW_0(v_1) = \{v_1\}, \quad FW_1(v_1) = D(v_1) = \{v_4, v_5, v_7\},$$

$$FW_2(v_1) = D(FW_1(v_1)) \setminus (FW_0(v_1) \cup FW_1(v_1)) = D(\{v_4, v_5, v_7\}) \setminus \{v_1, v_4, v_5, v_7\} = \\ = \{v_1, v_5, v_6, v_8, v_9\} \setminus \{v_1, v_4, v_5, v_7\} = \{v_6, v_8, v_9\},$$

$$FW_3(v_1) = D(FW_2(v_1)) \setminus (FW_0(v_1) \cup FW_1(v_1) \cup FW_2(v_1)) = D(\{v_6, v_8, v_9\}) \setminus \\ \setminus \{v_1, v_4, v_5, v_6, v_7, v_8, v_9\} = \{v_1, v_2, v_3, v_4, v_5, v_6, v_7, v_8, v_9\} \setminus \{v_1, v_4, v_5, v_6, v_7, v_8, v_9\} = \{v_2, v_3\},$$

$$FW_4(v_1) = D(FW_3(v_1)) \setminus (FW_0(v_1) \cup FW_1(v_1) \cup FW_2(v_1) \cup FW_3(v_1)) = \\ = D(\{v_2, v_3\}) \setminus \{v_1, v_2, v_3, v_4, v_5, v_6, v_7, v_8, v_9\} = \{v_1, v_2, v_3, v_4, v_5, v_6, v_7, v_8, v_9, v_{10}\} \setminus \\ \setminus \{v_1, v_2, v_3, v_4, v_5, v_6, v_7, v_8, v_9\} = \{v_{10}\}.$$

Таким образом,  $v_{10} \in FW_4(v_1)$ , а следовательно, согласно алгоритму 3.2 существует минимальный путь в орграфе  $D$  из  $v_1$  в  $v_{10}$  длины 4. Найдем все эти пути. На рис. 3.2 изображен подграф  $D'$  орграфа  $D$ , на котором последовательно изображены множества  $FW_k(v_1), k = 0, 1, 2, 3, 4$ , а также дуги вида  $(v, v')$ , где для некоторого  $k \in \{0, 1, 2, 3\}$   $v \in FW_k(v_1)$ ,  $v' \in FW_{k+1}(v_1)$ , т.е. исходящие из вершин некоторого  $k$ -го фронта волны и входящие в вершины следующего  $(k + 1)$ -го фронта волны.

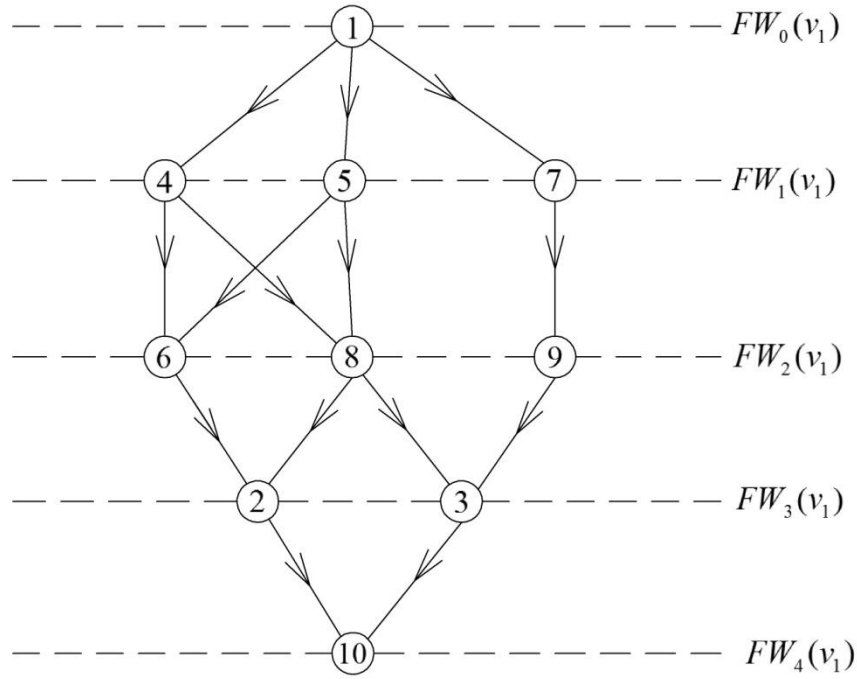


Рис. 3.2

Используя изображение  $D'$ , нетрудно выделить все минимальные пути из  $v_1$  в  $v_{10}$  в орграфе  $D$ . При этом, следуя (3.1), находим эти минимальные пути, используя орграф  $D'$ , но двигаясь в  $D'$  в обратной последовательности (т.е. не из  $v_1$  в  $v_{10}$ , а наоборот, из  $v_{10}$  в  $v_1$ ). Используя рис. 3.2, получаем, что в любом минимальном пути из  $v_1$  в  $v_{10}$  соблюдается следующая последовательность вершин. Вершиной, предшествующей вершине  $v_{10}$ , может быть любая из вершин  $v_2, v_3$ . Вершиной, предшествующей вершине  $v_2$ , может быть любая из вершин  $v_6, v_8$ , а вершиной, предшествующей вершине  $v_3$ , — любая из вершин  $v_8, v_9$  и т.д. Этими условиями однозначно определяется множество минимальных путей из  $v_1$  в  $v_{10}$ , которое компактно изображено на рис. 3.3. На этом рисунке изображены все вершины, входящие в минимальные пути из  $v_1$  в  $v_{10}$ . Для каждой из промежуточных вершин  $v$  показано множество вершин, которые могут ей предшествовать, а также соответствующие дуги (исходящие из вершин, предшествующих  $v$ , и заходящие в  $v$ ). Из рис. 3.3 видно, что всего существует семь минимальных путей из  $v_1$  в  $v_{10}$  одним из которых является  $v_1 v_4 v_6 v_2 v_{10}$ .

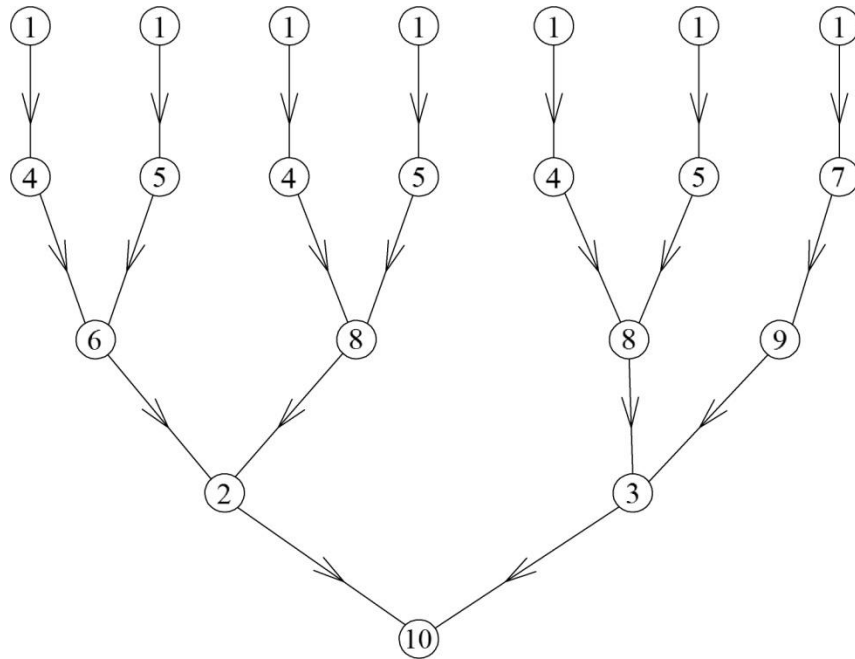


Рис. 3.3

### Поиск минимальных путей (маршрутов) в нагруженных орграфах (графах).

Назовем оргграф  $D = (V, X)$  *нагруженным*, если на множестве дуг  $X$  определена некоторая функция  $l: X \rightarrow \mathbb{R}$ . Тем самым в нагруженном оргграфе  $D$  каждой дуге  $x \in X$  поставлено в соответствие некоторое действительное число  $l(x)$  – *длина дуги*  $x$ . Для любого пути  $\pi$  нагруженного оргграфа  $D$  обозначим через  $l(\pi)$  сумму длин входящих в  $\pi$  дуг; при этом каждая дуга учитывается столько раз, сколько она входит в этот путь. Будем называть  $l(\pi)$  *длиной пути*  $\pi$ . Путь в нагруженном оргграфе  $D$  из вершины  $v$  в вершину  $w$ , где  $v, w \in V$ , называется *минимальным*, если он имеет минимальную длину среди всех путей оргграфа  $D$  из  $v$  в  $w$ .

Пусть  $D = (V, X)$  – нагруженный оргграф,  $V = \{v_1, \dots, v_n\}$ ,  $n \geq 2$ . Опишем метод *Форда – Беллмана* поиска минимальных путей из начальной вершины  $v_1$  в вершины  $v_i$ ,  $i = 2, \dots, n$  (если таковые пути существуют). Если в оргграфе существует хотя бы один контур отрицательной длины, то в нем может не существовать путь минимальной длины из некоторой вершины в некоторую другую вершину.

**Пример 3.1.** Рассмотрим нагруженный оргграф  $D$ , изображенный на рис. 3.4 (около каждой дуги указана ее длина). В этом оргграфе не существует минимального пути из  $v_1$  в  $v_4$ , поскольку в нем существует контур  $\sigma = v_2 v_3 v_2$  длины  $-1$ . Действительно,  $l(v_1 v_2 v_4) = 3$ ,  $l(v_1 \sigma v_4) = 2$ ,  $l(v_1 \sigma \sigma v_4) = 1$ , ...,  $l(v_1 \underbrace{\sigma \sigma \dots \sigma}_k v_4) = 3 - k$ ,  $k = 0, 1, \dots$ .

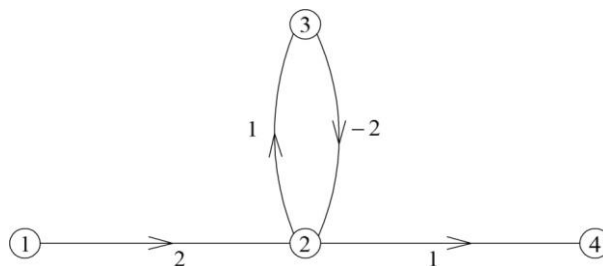


Рис. 3.4

Будем для простоты считать, что все длины дуг в орграфе  $D$  неотрицательны. В этом случае в  $D$  отсутствуют контуры отрицательной длины. Введем величины  $\lambda_i^{(k)}$ , где  $i = 1, 2, \dots, n, k = 1, 2, \dots$ . Для каждого фиксированного  $i$  и  $k$  величина  $\lambda_i^{(k)}$  равна длине минимального пути среди всех путей орграфа  $D$  из  $v_1$  в  $v_i$ , содержащих не более  $k$  дуг; если же таких путей нет, то  $\lambda_i^{(k)} = \infty$  (здесь и далее под  $\infty$  понимается  $+\infty$ ). Кроме того, если произвольную вершину  $v \in V$  считать путем из  $v$  в  $v$  нулевой длины, то величины  $\lambda_i^{(k)}$  можно ввести также и для  $k = 0$ , и при этом

$$\lambda_1^{(0)} = 0, \lambda_i^{(0)} = \infty, i = 2, \dots, n. \quad (3.2)$$

Поскольку по предположению в  $D$  отсутствуют контуры отрицательной длины, то

$$\lambda_i^{(k)} = 0, k = 0, 1, \dots \quad (3.3)$$

Введем также в рассмотрение квадратную матрицу  $C(D) = [c_{ij}]$  порядка  $n$  с элементами  $c_{ij} = l(v_i, v_j)$ , если  $(v_i, v_j) \in X$ , и  $c_{ij} = \infty$  – в противном случае, которую будем называть *матрицей длин дуг* нагруженного орграфа  $D$ .

Справедливы следующие утверждения.

**Утверждение 3.1.** При  $j = 2, \dots, n, k = 0, 1, \dots$  выполняется равенство

$$\lambda_j^{(k+1)} = \min_{1 \leq i \leq n} \{ \lambda_i^{(k)} + c_{ij} \}. \quad (3.4)$$

**Утверждение 3.2.** Если  $i \in \{2, \dots, n\}, \lambda_i^{(n-1)} = \infty$ , то вершина  $v_i$  не достижима из  $v_1$ . В противном случае  $v_i$  достижима из  $v_1$  и  $\lambda_i^{(n-1)}$  – длина минимального пути из  $v_1$  в  $v_i$ .

Таким образом, по величинам  $\lambda_2^{(n-1)}, \dots, \lambda_n^{(n-1)}$  можно судить о достижимости вершин  $v_2, \dots, v_n$  из  $v_1$ , а также определять длины минимальных путей из  $v_1$  во все достижимые вершины. Кроме того, по таблице  $\lambda_i^{(j)}, i = 1, 2, \dots, n, j = 0, 1, \dots, n-1$ , можно определять минимальные пути из  $v_1$  во все достижимые вершины. При этом, как и в алгоритме «фронта волны», двигаемся в обратной последовательности, т.е. из некоторой заданной вершины  $v_i$  с  $\lambda_i^{(n-1)} < \infty$ , где  $i \in \{2, \dots, n\}$ , в исходную вершину  $v_1$ , после чего восстанавливаем истинную последовательность вершин. Сначала определяем минимальный номер  $k_0$ , при котором  $\lambda_i^{(k_0)} = \lambda_i^{(n-1)}$ . Величина  $k_0$  соответствует числу дуг в минимальном пути из  $v_1$  в  $v_i$ . Предшествующей вершиной для  $v_i$  (в минимальном пути из  $v_1$  в  $v_i$ ) является вершина  $v_{i_1}$ , для которой выполняется равенство  $\lambda_i^{(k_0)} = \min_{1 \leq i' \leq n} \{ \lambda_{i'}^{(k_0-1)} + c_{i'i} \} = \lambda_{i_1}^{(k_0-1)} + c_{i_1 i}$ . Вершиной, предшествующей вершине  $v_{i_1}$  (в минимальном пути из  $v_1$  в  $v_i$ ), является вершина  $v_{i_2}$ , для которой выполняется равенство  $\lambda_{i_1}^{(k_0-1)} = \min_{1 \leq i' \leq n} \{ \lambda_{i'}^{(k_0-2)} + c_{i' i_1} \} = \lambda_{i_2}^{(k_0-2)} + c_{i_2 i_1}$  и т.д. (это рассуждение основано на равенстве (3.4)).

**Разбор типового варианта.** Нагруженный орграф  $D$  задан матрицей длин дуг  $C(D)$  (см. табл. 3.2). Найти минимальные пути из  $v_1$  во все достижимые вершины.

**Решение.** Сначала определим таблицу величин  $\lambda_i^{(j)}, i = 1, 2, \dots, n, j = 0, 1, \dots, n-1$  (см. табл. 3.3), где  $n = 7$ . Обозначим  $\lambda^{(k)} = (\lambda_1^{(k)}, \dots, \lambda_7^{(k)})^T$ , где  $k = 0, 1, \dots, 6$ . Это столбцы в табл.



3.3. Элементы  $\lambda_i^{(0)}$ , где  $i=1,2,\dots,7$ , столбца  $\lambda^{(0)}$  определяются согласно (3.2). Из (3.3) следует, что первая строка таблицы 3.3 состоит из нулевых элементов.

	$v_1$	$v_2$	$v_3$	$v_4$	$v_5$	$v_6$	$v_7$		$\lambda^{(0)}$	$\lambda^{(1)}$	$\lambda^{(2)}$	$\lambda^{(3)}$	$\lambda^{(4)}$	$\lambda^{(5)}$	$\lambda^{(6)}$
$v_1$	$\infty$	$\infty$	9	$\infty$	$\infty$	2	12		<b>0</b>	0	0	0	0	0	0
$v_2$	1	$\infty$	$\infty$	$\infty$	1	2	4		$\infty$	$\infty$	10	5	5	5	5
$v_3$	2	1	$\infty$	$\infty$	1	$\infty$	2		$\infty$	9	9	9	<b>6</b>	6	6
$v_4$	$\infty$	1	1	$\infty$	$\infty$	1	$\infty$		$\infty$	$\infty$	$\infty$	<b>5</b>	5	5	5
$v_5$	1	2	$\infty$	2	$\infty$	$\infty$	$\infty$		$\infty$	$\infty$	<b>3</b>	3	3	3	3
$v_6$	$\infty$	$\infty$	$\infty$	$\infty$	1	$\infty$	8		$\infty$	<b>2</b>	2	2	2	2	2
$v_7$	$\infty$	2	1	$\infty$	1	2	$\infty$		$\infty$	12	10	10	9	<b>8</b>	8

Табл. 3.2

Табл. 3.3

Далее, используя утверждение 3.1, последовательно определяем (согласно формуле (3.4)) элементы столбца  $\lambda^{(1)}$ , используя элементы столбца  $\lambda^{(0)}$  (а также элементы матрицы  $C(D)$ ), затем находим элементы столбца  $\lambda^{(2)}$ , используя элементы столбца  $\lambda^{(1)}$  и т.д.

Например,  $\lambda_2^{(3)} = \min_{1 \leq i \leq 7} \{\lambda_i^{(2)} + c_{i2}\} = 5$ , поскольку при сложении соответствующих столбцов имеем (см. табл. 3.4):

$v_2$		$\lambda^{(2)}$		
$\infty$	+	0	=	$\infty$
$\infty$	+	10	=	$\infty$
1	+	9	=	10
1	+	$\infty$	=	$\infty$
2	+	3	=	<b>5</b>
$\infty$	+	2	=	$\infty$
2	+	10	=	12

Табл. 3.4

и число 5 является минимальным элементом в последнем столбце этой таблицы (выделено жирным шрифтом).

Длина минимального пути из  $v_1$  в  $v_7$  равна 8 (см. утверждение 3.2). В таблице 3.3 жирным шрифтом указаны величины, по которым последовательно находятся вершины в минимальном пути из  $v_1$  в  $v_7$ . Минимальное число  $k_0$ , при котором  $\lambda_7^{(k_0)} = 8$ , равно 5, поэтому выделена величина  $\lambda_7^{(5)} = 8$ . Вершиной, предшествующей  $v_7$  (в минимальном пути из  $v_1$  в  $v_7$ ) является вершина  $v_3$ , поскольку  $\lambda_7^{(5)} = 8 = \min_{1 \leq i \leq 7} \{\lambda_i^{(4)} + c_{i7}\} = \lambda_3^{(4)} + c_{37} = 6 + 2$  (вершина  $v_3$  находится в первом столбце табл. 3.2, в котором перечисляются вершины орграфа  $D$ , напротив выделенного числа  $6 = \lambda_3^{(4)}$ ). Вершиной, предшествующей  $v_3$ , является  $v_4$  (вершина  $v_4$  находится в первом столбце табл. 3.2 напротив выделенного числа  $5 = \lambda_3^{(3)}$ ) и т.д. Таким образом, минимальным путем из  $v_1$  в  $v_7$  является  $v_1 v_6 v_5 v_4 v_3 v_7$  (см. последовательность выделенных элементов в табл. 3.3). Соответственно  $v_1 v_6 v_5 v_4 v_3$ ,

$v_1v_6v_5v_4$ ,  $v_1v_6v_5$ ,  $v_1v_6$  – минимальные пути из  $v_1$  в соответствующие вершины. Минимальный путь из  $v_1$  в  $v_2$  находится аналогично. Его длина равна 5. Минимальное число  $k_0$ , при котором  $\lambda_2^{(k_0)} = 5$ , равно 3. Вершиной, предшествующей  $v_2$ , является вершина  $v_5$ , поскольку  $\lambda_2^{(3)} = 5 \min_{1 \leq i \leq 7} \{\lambda_i^{(2)} + c_{i2}\} = \lambda_5^{(2)} + c_{52} = 2 + 3$ . Далее, как было показано ранее, вершиной, предшествующей  $v_5$ , является вершина  $v_6$ , а вершиной, предшествующей вершине  $v_6$ , является вершина  $v_1$ . Таким образом, минимальным путем из  $v_1$  в  $v_2$  является  $v_1v_6v_5v_2$ .

#### Тема 4. Деревья и циклы

Граф  $G$  называется *деревом*, если он связан и не имеет циклов.

**Пример 4.1.** Граф  $G$ , изображенный на рис. 4.1, является деревом.

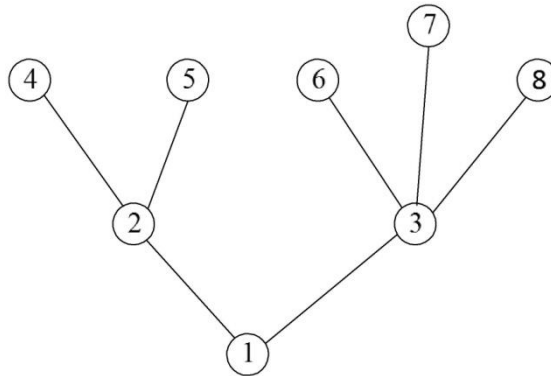


Рис. 4.1

**Свойства деревьев.** Следующие утверждения эквивалентны:

- (1) Граф  $G$  есть дерево.
- (2) Граф  $G$  является связным и не имеет простых циклов.
- (3) Граф  $G$  является связным и число его ребер ровно на 1 меньше числа вершин.
- (4) Любые две различные вершины графа  $G$  можно соединить единственной (и притом простой) цепью.
- (5) Граф  $G$  не содержит циклов, но, добавляя к нему любое новое ребро, получим ровно один (с точностью до направления обхода и выбора начальной вершины обхода) и притом простой цикл (проходящий через добавляемое ребро).

**Остовное дерево связного графа.** Остовным деревом связного графа  $G$  называется любой его подграф, содержащий все вершины графа  $G$  и являющийся деревом.

Пусть  $G$  – связный граф. Тогда, в силу свойства (3), остовное дерево графа  $G$  (если оно существует) должно содержать  $n(G) - 1$  ребер. Таким образом, любое остовное дерево связного графа  $G$  есть результат удаления из  $G$  ровно  $m(G) - (n(G) - 1) = m(G) - n(G) + 1$  ребер. Это число называется *цикломатическим числом* связного графа  $G$  и обозначается через  $\nu(G)$ . Покажем существование остовного дерева для произвольного связного графа  $G$ , описав алгоритм его выделения.

#### Алгоритм 4.1

**Шаг 1.** Выбираем в  $G$  произвольную вершину  $u_1$ , которая образует подграф  $G_1$  графа  $G$ , являющийся деревом. Полагаем  $i = 1$ .

**Шаг 2.** Если  $i = n = n(G)$ , то задача решена и  $G_i$  – искомое остовное дерево графа  $G$ . В противном случае переходим к шагу 3.

*Шаг 3.* Пусть уже построено дерево  $G_i$ , являющееся подграфом графа  $G$  и содержащее вершины  $u_1, \dots, u_i$ , где  $1 \leq i \leq n-1$ . Строим граф  $G_{i+1}$ , добавляя к графу  $G_i$  новую вершину  $u_{i+1} \in V$ , смежную в  $G$  с некоторой вершиной  $u_j$  графа  $G_i$  и новое ребро  $\{u_j, u_{i+1}\}$  (в силу связности  $G$  и того, что  $i < n$ , указанная вершина  $u_{i+1}$  обязательно найдется). Увеличиваем  $i$  на 1 и переходим к шагу 2.

**Минимальное остовное дерево нагруженного графа.** Пусть теперь каждому ребру  $x \in X$  связного графа  $G = (V, X)$  с непустым множеством ребер  $X$  поставлено в соответствие действительное число  $l(x)$  – длина ребра  $x$ , т.е. граф  $G$  является нагруженным. Приведем алгоритм, позволяющий найти остовное дерево графа  $G$  с минимальной суммой длин содержащихся в нем ребер (по сравнению со всеми другими остовными деревьями графа  $G$ ), которое будем называть *минимальным остовным деревом* (МОД) графа  $G$ .

#### Алгоритм 4.2 (выделения МОД нагруженного связного графа $G$ )

*Шаг 1.* Выбираем в  $G$  ребро минимальной длины (если их несколько, то любое). Вместе с инцидентными ему вершинами оно образует подграф  $G_2$  графа  $G$ , являющийся деревом. Полагаем  $i = 2$ .

*Шаг 2.* Если  $i = n = n(G)$ , то задача решена и  $G_i$  – искомое МОД графа  $G$ . В противном случае переходим к шагу 3.

*Шаг 3.* Строим граф  $G_{i+1}$ , добавляя к графу  $G_i$  новое ребро минимальной длины, выбираемое среди всех ребер графа  $G$ , каждое из которых инцидентно какой-нибудь вершине графа  $G_i$  и одновременно инцидентно какой-нибудь вершине графа  $G$ , не принадлежащей  $G_i$ . Вместе с этим ребром включаем в  $G_{i+1}$  и инцидентную ему вершину, не принадлежащую  $G_i$ . Увеличиваем  $i$  на 1 и переходим к шагу 2.

**Замечание 4.1.** Пусть граф  $G$  (см. рис. 4.2)

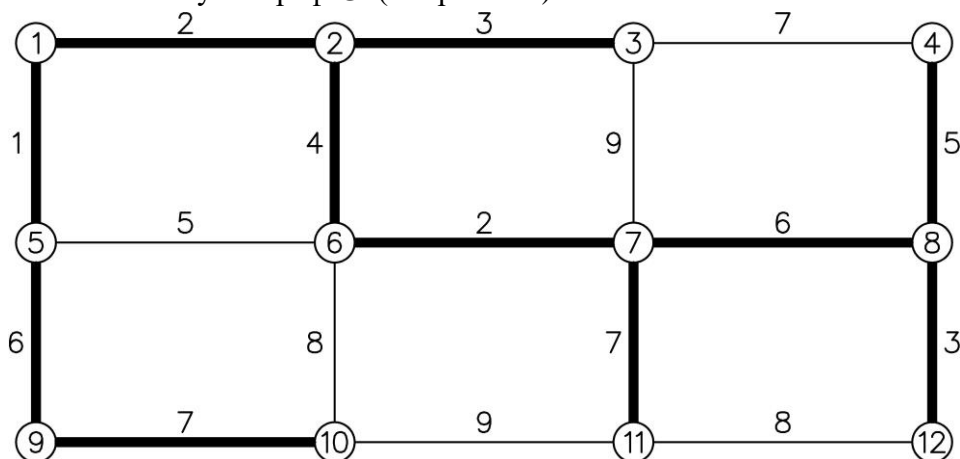


Рис. 4.2

соответствует множеству важных пунктов некоторого города (вокзалы, торговые центры, деловые центры, большие предприятия и т.д.). Нужно соединить эти пункты сетью дорог (например, сетью метрополитена) такой, чтобы было возможно сообщение между любыми двумя пунктами, т.е. выделить связный подграф графа  $G$ , содержащий все его вер-

шины. Пусть, далее величины, указанные на ребрах, соответствуют стоимостям строительных работ (т.е. граф  $G$  является нагруженным). Тогда, если выделить МОД графа  $G$ , то мы получим проект с минимальной общей стоимостью строительных работ.

**Разбор типового варианта.** Выделить МОД графа  $G$ , изображенного на рис. 4.2.

**Решение.** Согласно алгоритму 4.2 выбираем ребро  $\{v_1, v_5\}$  минимальной длины 1. Выделяем его жирной линией (см. рис. 4.2). Далее выбираем ребро минимальной длины, соединяющее либо  $v_1$ , либо  $v_5$  с какой-нибудь новой (т.е. отличной от  $v_1, v_5$ ) вершиной графа  $G$  (т.е. выбираем среди ребер  $\{v_1, v_2\}$ ,  $\{v_5, v_6\}$ ,  $\{v_5, v_9\}$ ). Минимальную длину имеет ребро  $\{v_1, v_2\}$ . Выделяем его жирной линией (см. рис. 4.2). Далее выбираем ребро минимальной длины, соединяющее либо  $v_1$ , либо  $v_2$ , либо  $v_5$  с какой-нибудь новой вершиной графа  $G$  (т.е. выбираем среди ребер  $\{v_2, v_3\}$ ,  $\{v_2, v_6\}$ ,  $\{v_5, v_6\}$ ,  $\{v_5, v_9\}$ ). Минимальную длину имеет ребро  $\{v_2, v_3\}$ . Выделяем его жирной линией (см. рис. 4.2). Следующим ребром минимальной длины среди всех возможных является  $\{v_2, v_6\}$ , затем  $\{v_6, v_7\}$  и т.д. Действуя таким образом, выделяем МОД графа  $G$  (см. на рис. 4.2 подграф графа  $G$ , ребра которого выделены жирными линиями).

## Тема 5. Внутренняя и внешняя устойчивость в графах. Ядра графа

**Внутренняя устойчивость в орграфах.** Пусть задан орграф  $D = (V, X)$ . Множество вершин  $U \subseteq V$  называется *внутренне устойчивым*, если  $\forall v \in U \quad U \cap D(v) = \emptyset$ , т.е. в орграфе  $D$  не существует дуги, инцидентной каким-либо двум различным вершинам из  $U$ . Внутренне устойчивое множество вершин  $U \subseteq V$  называется *максимальным*, если, добавляя к  $U$  любую вершину  $v \in V \setminus U$ , получаем множество, не являющееся внутренне устойчивым. Часто при решении практических задач требуется найти внутренне устойчивые множества с максимальным числом вершин. Их следует искать среди максимальных внутренне устойчивых множеств вершин.

Обозначим через  $\sigma(D)$  совокупность всех максимальных внутренне устойчивых множеств вершин орграфа  $D$ . Тогда число  $\alpha(D) = \max_{U \in \sigma(D)} |U|$  называется *числом внутренней устойчивости орграфа  $D$* .

**Пример 5.1.** Для орграфа  $D$ , изображенного на рис. 5.1,

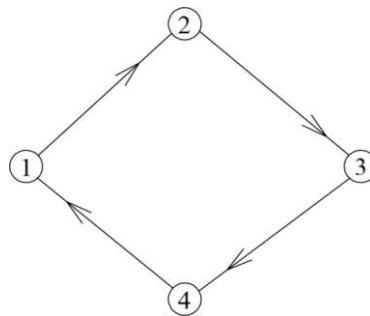


Рис. 5.1

максимальными внутренне устойчивыми множествами вершин являются:  $\{v_1, v_3\}$ ,  $\{v_2, v_4\}$ ; множество  $\{v_1, v_2\}$  не является внутренне устойчивым; множество  $\{v_1\}$  является внутренне устойчивым, но не максимальным.

**Метод Магу отыскания семейства максимальных внутренне устойчивых множеств вершин орграфа  $D$ .** Пусть  $D = (V, X)$  – орграф, где  $X \neq \emptyset$ ,  $V = \{v_1, \dots, v_n\}$ ,

$A = A(D) = [a_{ij}]_{n \times n}$  – матрица смежности орграфа  $D$ . Составим формулу логики высказываний  $F(Y_1, \dots, Y_n) = \bigwedge_{a_{ij}=1} (\bar{Y}_i \vee \bar{Y}_j)$ , где  $Y_1, \dots, Y_n$  – высказывательные переменные и под записью " $a_{ij} = 1$ " понимается множество всех пар  $\langle i, j \rangle$  таких, что  $i, j \in \{1, 2, \dots, n\}$ ,  $a_{ij} = 1$ .

Применяя дистрибутивность  $\bigwedge$  относительно  $\vee$ , приводим  $F$  к дизъюнктивной нормальной форме (кратко, ДНФ; см. [1, стр. 37]), а затем сокращаем ее до тех пор, пока это возможно, используя равносильности:

$$A \equiv A \vee (A \& B), \quad A \equiv A \vee A, \quad A \equiv A \& A, \quad (5.1)$$

где  $A, B$  – произвольные формулы логики высказываний. В результате получим формулу  $F_1$  (равносильную  $F$ ), находящуюся в ДНФ, каждому дизъюнктивному члену  $\bar{Y}_{i_1} \& \dots \& \bar{Y}_{i_k}$  которой соответствует максимальное внутренне устойчивое множество вершин  $V \setminus \{v_{i_1}, \dots, v_{i_k}\}$ .

**Замечание 5.1.** Перед приведением формулы  $F$  к ДНФ часто оказывается целесообразным упростить формулу  $F$ , воспользовавшись равносильностями:

$$A \equiv A \& A, \quad (A \vee B) \& (A \vee C) \& \dots \& (A \vee D) \equiv A \vee (B \& C \& \dots \& D), \quad (5.2)$$

где  $A, B, C, D$  – произвольные формулы логики высказываний.

**Внутренняя устойчивость в неориентированных графах.** Внутренне устойчивые множества вершин аналогично можно определить и для неориентированного графа  $G = (V, X)$ , а именно: множество вершин  $U \subseteq V$  называется *внутренне устойчивым*, если  $\forall v \in U \quad U \cap G(v) = \emptyset$ , где  $G(v) = \{w \in V \mid \{v, w\} \in X\}$ , т.е. никакие две вершины из  $U$  не являются смежными. Нетрудно видеть, что если графу  $G = (V, X)$  поставить в соответствие орграф  $D$  с множеством вершин  $V$ , заменяя каждое ребро  $\{v, w\}$  графа  $G$  на любую дугу из  $(v, w), (w, v)$  (или на обе эти дуги), то в получаемом таким образом орграфе совокупность внутренне устойчивых множеств вершин совпадает с совокупностью внутренне устойчивых множеств вершин графа  $G$ . Но тогда и совокупность максимальных внутренне устойчивых множеств вершин графа  $G$  совпадает с совокупностью максимальных внутренне устойчивых множеств вершин орграфа  $D$ , а следовательно, для их отыскания можно воспользоваться методом Магу, применяя его к орграфу  $D$ .

**Разбор типового варианта.** Используя метод Магу, определить: (а) совокупность максимальных внутренне устойчивых множеств вершин орграфа  $D$ , изображенного на рис. 5.2, а также число  $\alpha(D)$ .

**Решение.** Составим матрицу смежности  $A = A(D) = [a_{ij}]_{5 \times 5}$  (см. табл. 5.1).

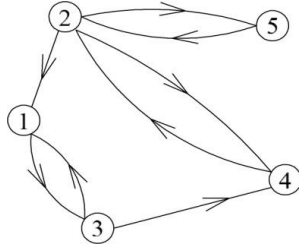


Рис. 5.2

$$A(D) = \begin{bmatrix} 0 & 0 & 1 & 0 & 0 \\ 1 & 0 & 0 & 1 & 1 \\ 1 & 0 & 0 & 1 & 0 \\ 0 & 1 & 0 & 0 & 0 \\ 0 & 1 & 0 & 0 & 0 \end{bmatrix}$$

Табл. 5.1

Согласно методу Магу имеем:

$$\bigwedge_{a_{ij}=1} (\bar{Y}_i \vee \bar{Y}_j) = (\bar{Y}_1 \vee \bar{Y}_3) \& (\bar{Y}_2 \vee \bar{Y}_1) \& (\bar{Y}_2 \vee \bar{Y}_4) \& (\bar{Y}_2 \vee \bar{Y}_5) \& (\bar{Y}_3 \vee \bar{Y}_1) \& (\bar{Y}_3 \vee \bar{Y}_4) \& (\bar{Y}_4 \vee \bar{Y}_2) \& (\bar{Y}_5 \vee \bar{Y}_2) \equiv$$

(упрощаем полученную формулу, используя (5.2), и опускаем символ  $\&$ )

$$\equiv (\bar{Y}_1 \vee \bar{Y}_3)(\bar{Y}_1 \vee \bar{Y}_2)(\bar{Y}_2 \vee \bar{Y}_4)(\bar{Y}_2 \vee \bar{Y}_5)(\bar{Y}_3 \vee \bar{Y}_4) \equiv (\bar{Y}_1 \vee \bar{Y}_2 \bar{Y}_3)(\bar{Y}_2 \vee \bar{Y}_4 \bar{Y}_5)(\bar{Y}_3 \vee \bar{Y}_4) \equiv$$

(приводим полученную формулу к ДНФ, используя дистрибутивность  $\&$  относительно  $\vee$ , и упрощаем ее, используя равносильности (5.1))

$$\equiv (\bar{Y}_1 \bar{Y}_2 \vee \bar{Y}_2 \bar{Y}_3 \vee \bar{Y}_1 \bar{Y}_4 \bar{Y}_5 \vee \bar{Y}_2 \bar{Y}_3 \bar{Y}_4 \bar{Y}_5)(\bar{Y}_3 \vee \bar{Y}_4) \equiv \bar{Y}_1 \bar{Y}_2 \bar{Y}_3 \vee \bar{Y}_1 \bar{Y}_2 \bar{Y}_4 \vee \bar{Y}_2 \bar{Y}_3 \vee \bar{Y}_2 \bar{Y}_3 \bar{Y}_4 \vee \bar{Y}_1 \bar{Y}_3 \bar{Y}_4 \bar{Y}_5 \vee \bar{Y}_1 \bar{Y}_4 \bar{Y}_5 \vee \bar{Y}_2 \bar{Y}_3 \bar{Y}_4 \bar{Y}_5 \equiv \bar{Y}_1 \bar{Y}_2 \bar{Y}_4 \vee \bar{Y}_2 \bar{Y}_3 \vee \bar{Y}_1 \bar{Y}_4 \bar{Y}_5.$$

Таким образом, мы получили формулу, находящуюся в ДНФ. Дальнейшее ее сокращение с использованием равносильностей (5.1) невозможно, а следовательно, искомыми максимальными внутренне устойчивыми множествами вершин орграфа  $D$  являются:  $\{v_3, v_5\}$ ,  $\{v_1, v_4, v_5\}$ ,  $\{v_2, v_3\}$ , и при этом  $\alpha(D) = 3$ .

**Внешняя устойчивость в орграфах.** Пусть задан орграф  $D = (V, X)$ . Множество вершин  $U \subseteq V$  называется *внешне устойчивым*, если  $\forall v \in V \setminus U \quad U \cap D(v) \neq \emptyset$ , т.е. для любой вершины  $v \in V$ , не принадлежащей  $U$ , найдется дуга в орграфе  $D$ , исходящая из  $v$  и заходящая в одну из вершин множества  $U$ . Внешне устойчивое множество вершин  $U \subseteq V$  называется *минимальным*, если после удаления из  $U$  произвольной вершины получаем множество, не являющееся внешне устойчивым. Часто при решении практических задач требуется найти внешне устойчивые множества с минимальным числом вершин. Их следует искать среди минимальных внешне устойчивых множеств вершин.

**Пример 5.2.** Для орграфа  $D$  из примера 5.1 множества вершин  $\{v_1, v_3\}$ ,  $\{v_2, v_4\}$  являются внешне устойчивыми, а множество  $\{v_1, v_2\}$  таковым не является, поскольку  $v_3 \notin \{v_1, v_2\}$ , но при этом  $(v_3, v_1) \notin X$ ,  $(v_3, v_2) \notin X$ . Докажите, что  $\{v_1, v_3\}$ ,  $\{v_2, v_4\}$  – минимальные внешне устойчивые множества вершин.

Обозначим через  $\theta(D)$  совокупность всех минимальных внешне устойчивых множеств вершин орграфа  $D$ . Тогда число  $\beta(D) = \min_{U \in \theta(D)} |U|$  называется *числом внешней устойчивости орграфа  $D$* .

**Метод Магу отыскания семейства минимальных внешне устойчивых множеств вершин орграфа  $D$ .** Пусть  $D = (V, X)$  – орграф, где  $V = \{v_1, \dots, v_n\}$ . Составим формулу логики высказываний  $F(Y_1, \dots, Y_n) = \bigwedge_{i=1}^n (Y_i \vee \bigvee_{a_{ij}=1} Y_j)$  (здесь при каждом фиксированном  $i$  под записью " $a_{ij} = 1$ " понимается множество всех  $j \in \{1, 2, \dots, n\}$  таких, что  $a_{ij} = 1$ ). Применяя дистрибутивность  $\&$  относительно  $\vee$ , приводим  $F$  к ДНФ, а затем сокращаем ее

до тех пор, пока это возможно, используя равносильности (5.1). В результате получаем формулу  $F_1$ , равносильную  $F$ , находящуюся в ДНФ, каждому дизъюнктивному члену  $Y_{i_1} \& Y_{i_2} \& \dots \& Y_{i_k}$  которой соответствует минимальное внешне устойчивое множество вершин  $\{v_{i_1}, v_{i_2}, \dots, v_{i_k}\}$ .

**Замечание 5.2.** Перед приведением формулы  $F$  к ДНФ часто оказывается целесообразным упростить формулу  $F$ , применяя равносильности (5.2), а также

$$A \& (A \vee B) \equiv A. \quad (5.3)$$

**Внешняя устойчивость в неориентированных графах.** Внешне устойчивые множества вершин можно аналогичным образом определить и для неориентированного графа  $G = (V, X)$ , а именно: множество  $U \subseteq V$  называется внешне устойчивым, если  $\forall v \in V \setminus U \quad U \cap G(v) \neq \emptyset$ , т.е. любая вершина  $v \in V$ , не принадлежащая  $U$ , является смежной с какой-нибудь вершиной из  $U$ . Нетрудно видеть, что если графу  $G = (V, X)$  поставить в соответствие орграф с множеством вершин  $V$ , заменяя каждое ребро  $\{v, w\}$  графа  $G$  на две дуги  $(v, w), (w, v)$ , то в получаемом таким образом орграфе  $D$  совокупность внешне устойчивых множеств вершин совпадает с совокупностью внешне устойчивых множеств вершин графа  $G$  (поскольку в этом случае  $\forall v \in V \quad G(v) = D(v)$ ). Но тогда и совокупность минимальных внешне устойчивых множеств вершин графа  $G$  совпадает с совокупностью минимальных внешне устойчивых множеств вершин орграфа  $D$ , а следовательно, для их отыскания можно воспользоваться методом Магу (применяя его к орграфу  $D$ ). При этом, очевидно, используемая в алгоритме матрица  $A(D)$  полностью совпадает с  $A(G)$ . Таким образом, метод Магу без изменений переносится и на неориентированные графы.

**Разбор типового варианта (продолжение).** (б) Используя метод Магу, определить совокупность минимальных внешне устойчивых множеств вершин орграфа  $D$ , изображенного на рис. 5.2, а также число  $\beta(D)$ .

**Решение.** Согласно методу Магу имеем:

$$\bigwedge_{i=1}^5 (Y_i \vee \bigvee_{a_{ij}=1} Y_j) = (Y_1 \vee Y_3) \& (Y_2 \vee Y_1 \vee Y_4 \vee Y_5) \& (Y_3 \vee Y_1 \vee Y_4) \& (Y_4 \vee Y_2) \& (Y_5 \vee Y_2) \equiv$$

(опускаем символ  $\&$  и упрощаем полученную формулу, используя равносильности (5.2), (5.3))

$$\equiv (Y_1 \vee Y_3)(Y_4 \vee Y_2)(Y_5 \vee Y_2) \equiv (Y_1 \vee Y_3)(Y_2 \vee Y_4 Y_5) \equiv$$

(приводим полученную формулу к ДНФ, используя дистрибутивность  $\&$  относительно  $\vee$ , и упрощаем ее, используя равносильности (5.1))

$$\equiv Y_1 Y_2 \vee Y_1 Y_4 Y_5 \vee Y_2 Y_3 \vee Y_3 Y_4 Y_5.$$

Таким образом, мы получили формулу, находящуюся в ДНФ. Дальнейшее ее сокращение с использованием равносильностей (5.1) невозможно, а следовательно, искомыми минимальными внешне устойчивыми множествами вершин орграфа  $D$  являются:  $\{v_1, v_2\}$ ,  $\{v_1, v_4, v_5\}$ ,  $\{v_2, v_3\}$ ,  $\{v_3, v_4, v_5\}$ , и при этом  $\beta(D) = 2$ .

**Ядра орграфа.** Пусть задан орграф  $D = (V, X)$ . Множество вершин  $N \subseteq V$  называется ядром орграфа  $D$ , если  $N$  – одновременно внутренне и внешне устойчивое множество, т.е., если выполняются условия:

$$(N1) \quad \forall v \in N \quad N \cap D(v) = \emptyset;$$

$$(N2) \quad \forall v \in V \setminus N \quad N \cap D(v) \neq \emptyset.$$

**Замечание 5.3.** Аналогично определяется ядро и для неориентированного графа  $G = (V, X)$ , при этом в условиях (N1), (N2)  $D(v)$  заменяется на  $G(v)$ .

Орграф может не иметь ядра, иметь одно или несколько ядер. Заметим, что если орграф  $D$  имеет ядро  $N$ , то  $\beta(D) \leq |N| \leq \alpha(D)$ .

**Пример 5.3.** Рассмотрим орграф, изображенный на рис. 5.3. Он не имеет ядер, поскольку любое множество с одной вершиной не является внешне устойчивым, а любое множество с двумя или тремя вершинами не является внутренне устойчивым.

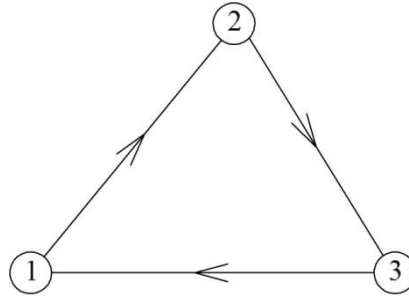


Рис. 5.3

**Пример 5.4.** В продолжение примеров 5.1–2 имеем:  $\{v_1, v_3\}, \{v_2, v_4\}$  – ядра орграфа  $D$ , изображенного на рис. 5.1.

**Теорема 5.1.** Для того чтобы множество вершин  $N \subseteq V$  являлось ядром орграфа  $D = (V, X)$  (графа  $G = (V, X)$ ), необходимо и достаточно, чтобы оно было одновременно максимальным внутренне устойчивым и минимальным внешне устойчивым.

Из теоремы 5.1 следует, что для выделения ядер орграфа  $D$  достаточно, например, найти все минимальные внешне устойчивые множества вершин орграфа  $D$ , а затем выбрать из них внутренне устойчивые множества.

**Разбор типового варианта (продолжение).** (в) Определить ядра орграфа  $D$ , изображенного на рис. 5.2.

**Решение.** Выберем из минимальных внешне устойчивых множеств вершин орграфа  $D$  множества, являющиеся внутренне устойчивыми. Такими множествами являются:  $\{v_1, v_4, v_5\}, \{v_2, v_3\}$ . В силу теоремы 5.1 – это ядра орграфа  $D$ , и других ядер в  $D$  нет.

## Тема 6. Функции на вершинах орграфа. Порядковая функция. Функция Гранди

Рассмотрим орграф  $D = (V, X)$ , не содержащий контуров, и определим множества  $V_0, V_1, \dots, V_r$ :

$$V_0 = \{v \in V \mid D(v) = \emptyset\},$$

$$V_1 = \{v \in V \setminus V_0 \mid D(v) \subseteq V_0\},$$

$$V_2 = \{v \in V \setminus (V_0 \cup V_1) \mid D(v) \subseteq V_0 \cup V_1\},$$

.....

$$V_r = \{v \in V \setminus \bigcup_{k=0}^{r-1} V_k \mid D(v) \subseteq \bigcup_{k=0}^{r-1} V_k\},$$

(6.1)



где  $r$  – наименьшее число такое, что  $V \setminus \bigcup_{k=0}^r V_k = \emptyset$ . Множества  $V_0, V_1, \dots, V_r$  называются *уровнями орграфа  $D$* . Справедлива

**Теорема 6.1.** Уровни орграфа  $D = (V, X)$  без контуров являются непустыми множествами, образующими разбиение множества его вершин  $V$  (т.е.  $V = \bigcup_{k=0}^r V_k$  и  $V_i \cap V_j = \emptyset$  при  $i \neq j$ ).

Справедливо также утверждение, обратное теореме 6.1.

**Утверждение 6.1.** Пусть  $D = (V, X)$  – орграф,  $r \geq 0, V_0, V_1, \dots, V_r$  – непустые множества, удовлетворяющие (6.1), такие, что  $V = \bigcup_{k=0}^r V_k$ . Тогда  $D$  – орграф без контуров.

Функция  $O(v)$ , определенная на множестве вершин  $V$  орграфа без контуров  $D = (V, X)$  и ставящая в соответствие каждой вершине  $v \in V$  номер уровня, которому она принадлежит, называется *порядковой функцией орграфа  $D$* .

**Пример 6.1.** Разобьем орграф  $D$ , изображенный на рис. 6.1, на уровни и определим порядковую функцию  $O(v)$ . Согласно (6.1) имеем

$$V_0 = \{v \in V \mid D(v) = \emptyset\} = \{v_4, v_6\},$$

$$V_1 = \{v \in V \setminus V_0 \mid D(v) \subseteq V_0\} = \{v_1, v_5\},$$

$$V_2 = \{v \in V \setminus (V_0 \cup V_1) \mid D(v) \subseteq V_0 \cup V_1\} = \{v_3\},$$

$$V_3 = \{v \in V \setminus (V_0 \cup V_1 \cup V_2) \mid D(v) \subseteq V_0 \cup V_1 \cup V_2\} = \{v_2\},$$

$$V \setminus (V_0 \cup V_1 \cup V_2 \cup V_3) = \emptyset.$$

Определив множества  $V_0, V_1, V_2, V_3$ , найдем значения порядковой функции  $O(v)$ ,  $v \in V$ . На рис. 6.1 они указаны при вершинах.

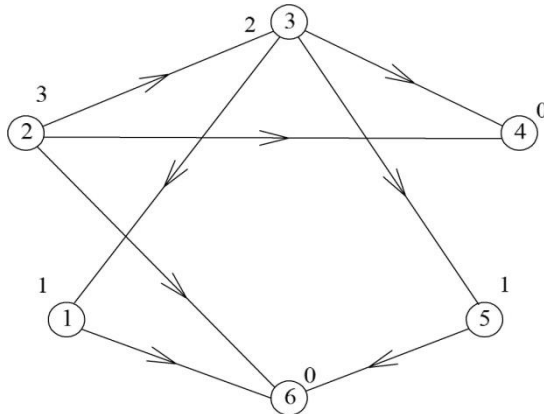


Рис. 6.1

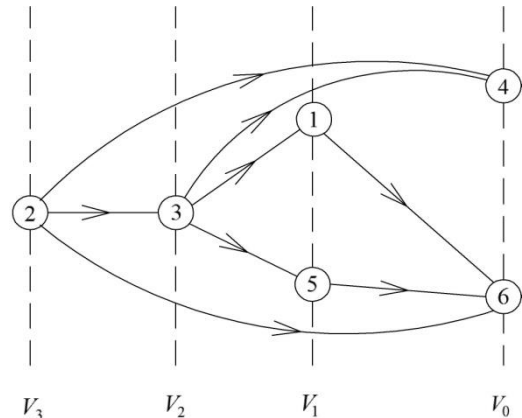


Рис. 6.2

**Замечание 6.1.** Для наглядности после разбиения некоторого орграфа  $D$  на уровни имеет смысл перерисовать его, последовательно расположив вершины орграфа  $D$  на вертикальных прямых; при этом вершины одного уровня располагаются на одной вертикальной прямой (см. на рис. 6.2 новое изображение орграфа  $D$ , изображенного на рис. 6.1).

Приведем простой алгоритм выделения уровней орграфа без контуров, использующий задание орграфа матрицей смежности.

**Алгоритм 6.1** (нахождения уровней орграфа  $D = (V, X)$  без контуров)

*Шаг 1.* Выпишем матрицу смежности  $A(D)$ . Образует под матрицей  $A(D)$  строку  $\Lambda_0$ , в  $i$ -ом месте которой укажем число единиц в  $i$ -й строке матрицы  $A(D)$ . Уровень  $V_0$  образуют вершины, которым в строке  $\Lambda_0$  соответствует число 0. Если  $V = V_0$ , то задача решена и  $V_0$  – единственный уровень орграфа  $D$ . В противном случае переходим к шагу 2.

*Шаг 2.* Образует под строкой  $\Lambda_0$  строку  $\Lambda_1$ , ставя под каждым нулем строки  $\Lambda_0$  символ  $\times$ , а на любом другом  $i$ -м месте – число единиц в  $i$ -й строке матрицы  $A(D)$ , не учитывая единицы в столбцах, находящихся над символами  $\times$  в строке  $\Lambda_1$ . Уровень  $V_1$  образуют вершины, которым в строке  $\Lambda_1$  соответствует число 0. Полагаем  $j = 1$ .

*Шаг 3.* Пусть при некотором  $j \geq 1$  уже построены строки  $\Lambda_0, \dots, \Lambda_j$ , по которым получены множества  $V_0, \dots, V_j$ . Если строка  $\Lambda_j$  состоит из нулей и символов  $\times$ , то задача решена и при  $r = j$   $V_0, \dots, V_j$  – уровни орграфа  $D$ . В противном случае переходим к шагу 4.

*Шаг 4.* Образует под строкой  $\Lambda_j$  строку  $\Lambda_{j+1}$ , ставя под каждым нулем и символом  $\times$  строки  $\Lambda_j$  символ  $\times$ , а на любом другом  $i$ -м месте – число единиц в  $i$ -й строке матрицы  $A(D)$ , не учитывая единицы в столбцах, находящихся над символами  $\times$  в строке  $\Lambda_{j+1}$ . Уровень  $V_{j+1}$  образуют вершины, которым в строке  $\Lambda_{j+1}$  соответствует число 0. Увеличиваем  $j$  на 1 и переходим к шагу 3.

Следующее утверждение говорит о том, что наряду с нахождением уровней орграфа без контуров алгоритм 6.1 позволяет проверить наличие хотя бы одного контура у произвольного орграфа.

**Утверждение 6.2.** Для того, чтобы в орграфе  $D = (V, X)$  имелся хотя бы один контур, необходимо и достаточно, чтобы в результате применения к  $D$  алгоритма 6.1 при некотором  $j \geq 0$  появилась строка  $\Lambda_j$  без нулей.

**Разбор типового варианта.** (а) Используя алгоритм 6.1, разбить орграф, изображенный на рис. 6.1 на уровни. Привести новое изображение орграфа в соответствии с замечанием 6.1.

**Решение.** Составим матрицу смежности  $A(D)$  орграфа  $D$ , а затем укажем под ней строки  $\Lambda_0, \Lambda_1, \Lambda_2, \Lambda_3$ , являющиеся результатом работы алгоритма 6.1 (см. табл. 6.1). Из табл. 6.1 следует, что уровнями орграфа  $D$  являются  $V_0 = \{v_4, v_6\}$ ,  $V_1 = \{v_1, v_5\}$ ,  $V_2 = \{v_3\}$ ,  $V_3 = \{v_2\}$ . Изображение орграфа  $D$ , построенное с учетом замечания 6.1, приведено на рис. 6.2.

	$v_1$	$v_2$	$v_3$	$v_4$	$v_5$	$v_6$
$v_1$	0	0	0	0	0	1
$v_2$	0	0	1	1	0	1
$v_3$	1	0	0	1	1	0
$v_4$	0	0	0	0	0	0
$v_5$	0	0	0	0	0	1
$v_6$	0	0	0	0	0	0
$\Lambda_0$	1	3	3	0	1	0

$\Lambda_1$	0	1	2	$\times$	0	$\times$
$\Lambda_2$	$\times$	1	0	$\times$	$\times$	$\times$
$\Lambda_3$	$\times$	0	$\times$	$\times$	$\times$	$\times$

Табл. 6.1

**Функция Гранди.** Рассмотрим оргграф  $D = (V, X)$ . Функция  $g(v)$ , ставящая в соответствие каждой вершине  $v \in V$  целое число  $g(v) \geq 0$ , называется *функцией Гранди* для оргграфа  $D$ , если в каждой вершине  $v \in V$  число  $g(v)$  является минимальным из всех целых неотрицательных чисел, не принадлежащих множеству  $\{g(w) \mid w \in D(v)\}$ , и  $g(v) = 0$  при  $D(v) = \emptyset$ .

Если для оргграфа  $D$  существует функция Гранди, то говорят, что оргграф  $D$  *допускает* (в противном случае – *не допускает*) функцию Гранди. Не всякий оргграф  $D$  допускает функцию Гранди (см. пример 6.3), а если и допускает, то она не обязательно единственная (см. пример 6.4). Из определения функции Гранди следует, что справедливо

**Утверждение 6.3.** Если оргграф  $D = (V, X)$  допускает функцию Гранди, то найдется вершина  $v \in V$  такая, что  $g(v) = 0$ .

**Пример 6.2.** На рис. 6.3 приведено изображение оргграфа  $D$ , допускающего функцию Гранди, около каждой вершины которого указано значение этой функции. Если провести замену:  $0 \rightarrow 1, 1 \rightarrow 0$ , то получим еще одну функцию Гранди для  $D$ .

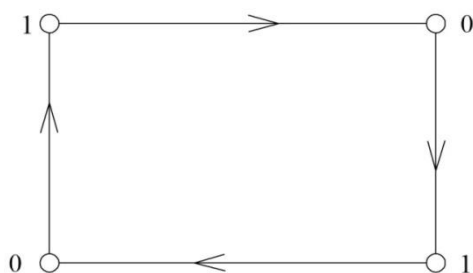


Рис. 6.3

**Пример 6.3.** Покажем, что оргграф  $D$ , изображенный на рис. 6.4, не допускает функцию Гранди. Предположим обратное, т.е. оргграф  $D$  допускает функцию Гранди. Используя утверждение 6.3, получаем, что на некоторой вершине значение функции Гранди равно нулю. Пусть для определенности  $g(v_1) = 0$  (другие случаи рассматриваются аналогично). Тогда в силу того, что  $D(v_3) = \{v_1\}$ ,  $D(v_2) = \{v_3\}$ ,  $D(v_1) = \{v_2\}$ , последовательно получаем:  $g(v_3) = 1$ ,  $g(v_2) = 0$ ,  $g(v_1) = 1$ , а это противоречит равенству  $g(v_1) = 0$ .

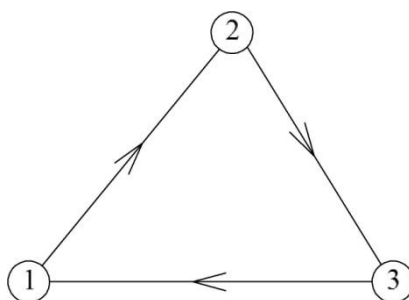


Рис. 6.4

Приведем достаточное условие существования функции Гранди, а также алгоритм ее определения.

**Теорема 6.2.** Пусть  $D = (V, X)$  – орграф без контуров. Тогда  $D$  допускает и притом единственную функцию Гранди.

Эту теорему обосновывает

**Алгоритм 6.2** (определения функции Гранди на множестве вершин  $V$  орграфа  $D = (V, X)$  без контуров)

Согласно теореме 6.1 множество вершин  $V$  орграфа  $D$  можно разбить на уровни  $V_0, V_1, \dots, V_r$ . По определению функции Гранди

$$\forall v \in V_0 \quad g(v) = 0; \quad \forall v \in V_1 \quad g(v) = 1. \quad (6.2)$$

Заметим, что значения функции Гранди на каждом уровне  $V_i$ , где  $i \geq 2$ , однозначно находятся по ее значениям на предыдущих уровнях  $V_0, V_1, \dots, V_{i-1}$  (поскольку  $\forall v \in V_i$

$D(v) \subseteq \bigcup_{k=0}^{i-1} V_k$ ), а следовательно, исходя из (6.2), ее можно однозначно определить на всех последующих уровнях.

Следующая теорема показывает, что по функции Гранди орграфа можно легко определить его ядро.

**Теорема 6.3.** Если орграф  $D = (V, X)$  допускает функцию Гранди  $g(v)$ , то множество вершин  $N = \{v \in V \mid g(v) = 0\}$  является ядром этого орграфа. В случае, когда орграф  $D$  является бесконтурным, это ядро является единственным.

**Разбор типового варианта** (продолжение). (б) Используя алгоритм 6.2, найти значения функции Гранди для орграфа  $D$ , изображенного на рис. 6.1, а также его единственное ядро (см. теорему 6.3).

**Решение.** Используя разбиение орграфа  $D$  на уровни (см. рис. 6.2), с учетом (6.2) получаем:  $g(v_4) = g(v_6) = 0$ ,  $g(v_1) = g(v_5) = 1$ . Далее по определению функции Гранди находим значение этой функции для вершины  $v_3 \in V_2$ , а именно,  $g(v_3) = 2$ , а затем для вершины  $v_2 \in V_3$ , а именно,  $g(v_2) = 1$  (см. на рис. 6.5 изображение орграфа  $D$ , разбитого на уровни в соответствии с рис. 6.2, около каждой вершины которого указано значение функции Гранди на этой вершине). Единственным ядром этого орграфа является множество  $N = \{v \in V \mid g(v) = 0\} = \{v_4, v_6\}$ .

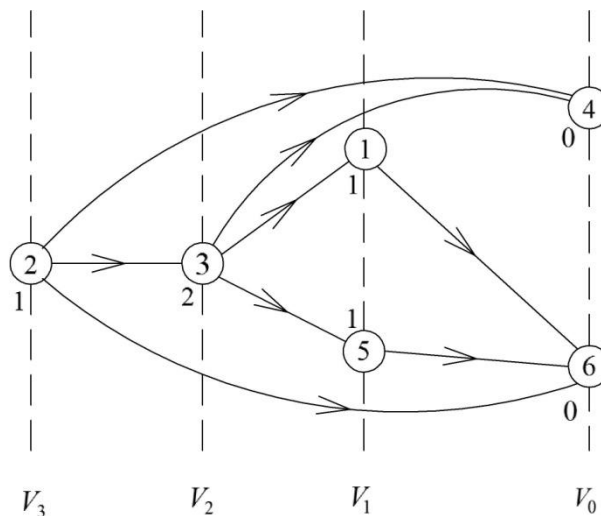


Рис. 6.5

## Тема 7. Хроматическое число графа. Задача об оптимальном раскрашивании вершин графа. Задача о минимальном числе помещений для хранения продуктов

Пусть  $G = (V, X)$  – неориентированный граф, где  $V = \{v_1, \dots, v_n\}$ . Рассмотрим следующую задачу: (а) определить минимальное количество цветов  $p = p(G)$ , необходимое для раскрашивания вершин графа  $G$  так, чтобы никакие две смежные вершины не были окрашены одним цветом; (б) разбить множество вершин  $V$  на подмножества  $V_1, \dots, V_p$  такие, что  $V = V_1 \cup \dots \cup V_p$ ,  $V_i \cap V_j = \emptyset$  при  $i \neq j$ , и чтобы множества  $V_1, \dots, V_p$  являлись внутренне устойчивыми (т.е. чтобы никакие две вершины из любого множества  $V_i$  не были смежными, а следовательно, могли быть окрашенными в один цвет). Такая задача называется задачей об оптимальном раскрашивании вершин неориентированного графа  $G$ , а число  $p = p(G)$  называется его *хроматическим числом*.

Будем предполагать, что граф  $G$  является связным. В противном случае для достижения оптимального раскрашивания отдельно раскрашиваем множества вершин каждой компоненты связности графа  $G$ . Тогда хроматическим числом графа  $G$  является максимальное из хроматических чисел его компонент связности.

Опишем два алгоритма раскрашивания вершин графа  $G$ . Первый является приближенным («эвристическим»), дающим в некоторых случаях оптимальное раскрашивание вершин графа  $G$ . Вторым – гораздо более сложный, дающий во всех случаях оптимальное раскрашивание вершин графа  $G$ .

### Алгоритм 7.1 («эвристический»)

Окрашиваем вершину  $v_1$  цветом 1. Окрашиваем вершину  $v_2$  цветом 1, если она не является смежной с вершиной  $v_1$ , или цветом 2, если она является смежной с вершиной  $v_1$ . Каждую вершину  $v_k$  (где  $1 \leq k \leq n$ ) окрашиваем цветом с минимальным номером среди номеров  $\{1, 2, \dots, k\} \setminus N_k$ , где  $N_k$  – множество номеров цветов вершин  $v_1, \dots, v_{k-1}$ , смежных с вершиной  $v_k$ .

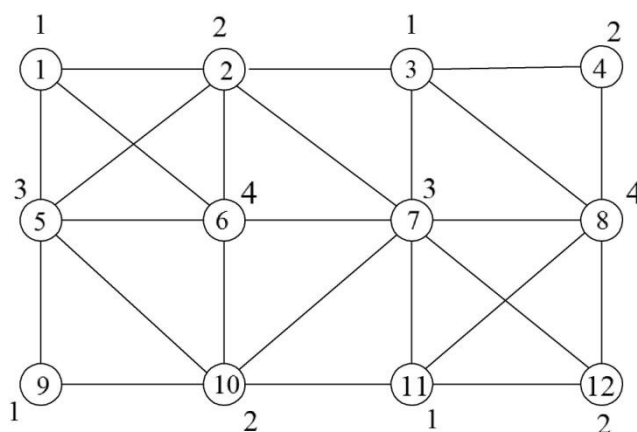


Рис. 7.1

**Пример 7.1.** Применим алгоритм 7.1 к графу  $G$ , изображенному на рис. 7.1. Действуя в соответствии с алгоритмом 7.1, окрашиваем вершину  $v_1$  цветом 1, и, поскольку вершина  $v_2$  является смежной с  $v_1$ , окрашиваем ее цветом 2. Вершина  $v_3$  является смеж-

ной с  $v_2$ , но не с  $v_1$ , поэтому  $N_3 = \{2\}$ ,  $\{1, 2, 3\} \setminus \{2\} = \{1, 3\}$ , минимальным номером в множестве  $\{1, 3\}$  является 1, а следовательно, вершина  $v_3$  окрашивается цветом 1. Далее вершину  $v_4$  окрашиваем цветом с номером  $\min\{\{1, 2, 3, 4\} \setminus N_4\} = \min\{\{1, 2, 3, 4\} \setminus \{1\}\} = 2$ , вершину  $v_5$  – цветом с номером  $\min\{\{1, 2, 3, 4, 5\} \setminus N_5\} = \min\{\{1, 2, 3, 4, 5\} \setminus \{1, 2\}\} = 3$ , вершину  $v_6$  – цветом с номером  $\min\{\{1, 2, 3, 4, 5, 6\} \setminus N_6\} = \min\{\{1, 2, 3, 4, 5, 6\} \setminus \{1, 2, 3\}\} = 4$ , и т.д. Указываем около каждой вершины на рис. 7.1 номер цвета, в который эта вершина окрашивается. По окончании работы алгоритма имеем:  $V = V_1 \cup \dots \cup V_r$ , где  $r = 4$ ,  $V_i$  – множество вершин, окрашенных цветом с номером  $i$ , где  $i \in \{1, 2, 3, 4\}$ ;  $V_1 = \{v_1, v_3, v_9, v_{11}\}$ ,  $V_2 = \{v_2, v_4, v_{10}, v_{12}\}$ ,  $V_3 = \{v_5, v_7\}$ ,  $V_4 = \{v_6, v_8\}$ ;  $V_i \cap V_j = \emptyset$  при  $i \neq j$ ;  $r$  – количество цветов, которое необходимо для такого раскрашивания. При этом никакие две различные вершины из  $V_i$ , где  $i \in \{1, 2, 3, 4\}$ , не являются смежными.

Для того чтобы убедиться в оптимальности полученного раскрашивания вершин связного графа  $G$  (полученного с использованием алгоритма 7.1 или любого другого «эвристического» алгоритма) нередко помогают следующие простые утверждения.

**Утверждение 7.1.** Если связный граф  $G$  с  $n(G) \geq 2$  вершинами не содержит циклов или любой его простой цикл имеет четную длину, то этот граф является *бихроматическим*, т.е.  $p(G) = 2$  (см. на рис. 7.2 пример графа с оптимальным раскрашиванием вершин, у которого отсутствуют простые циклы нечетной длины).

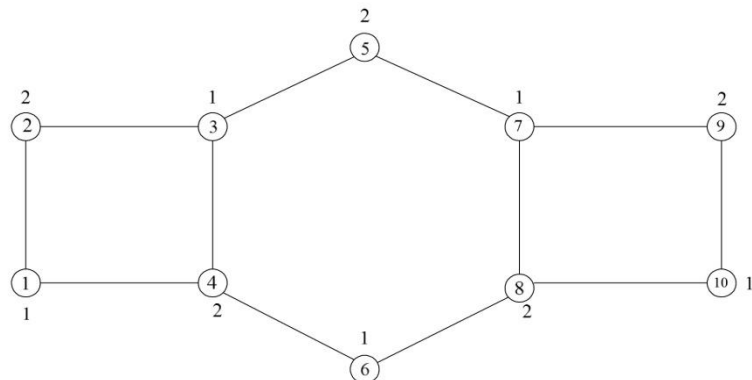


Рис. 7.2

**Утверждение 7.2.** Если связный граф  $G$  с  $n(G) \geq 3$  вершинами имеет хотя бы один цикл нечетной длины, то  $p(G) \geq 3$ .

На рис. 7.3 приведено оптимальное раскрашивание вершин графа, содержащего цикл нечетной длины.

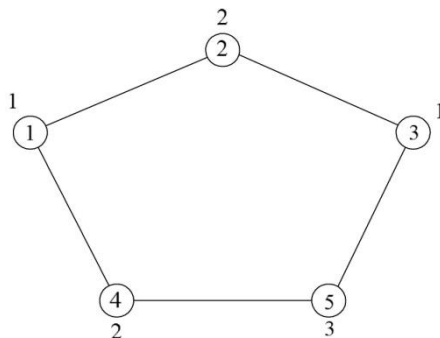


Рис. 7.3

**Замечание 7.1.** Используя утверждение 2.2, нетрудно показать, что для того, чтобы у графа  $G$  с  $n(G) = 2k$  (или  $n(G) = 2k + 1$  вершинами) отсутствовали простые циклы нечетной длины, необходимо и достаточно, чтобы в матрице  $K_o = A^3 \vee \dots \vee A^{2k-1}$  ( $K_o = A^3 \vee \dots \vee A^{2k+1}$ ), где  $A = A(G)$  – матрица смежности графа  $G$ , отсутствовали ненулевые диагональные элементы.

Нам понадобится следующее определение. Граф  $G$  называется *полным*, если вместе с любыми его вершинами  $v, w$ , где  $v \neq w$ , он содержит также ребро  $\{v, w\}$ .

**Утверждение 7.3.** Если у связного графа  $G$  имеется полный подграф с  $k$  вершинами, где  $k \in \mathbb{N}$ , то  $p(G) \geq k$  (см. на рис. 7.4 полные графы для  $k = 2, 3, 4, 5$  и соответствующие оптимальные раскрашивания их вершин).

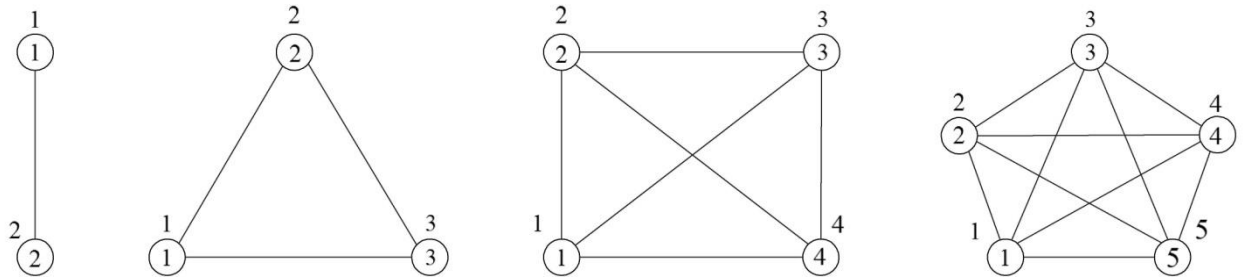


Рис. 7.4

В соответствии с приведенными утверждениями заметим, что граф  $G$  из примера 7.1 содержит полный подграф с 4 вершинами (например, порожденный вершинами  $v_1, v_2, v_5, v_6$ ), а следовательно,  $p(G) \geq 4$  (см. утверждение 7.3). Но тогда раскрашивание вершин, найденное с помощью алгоритма 7.1 и приведенное на рис. 7.1, является оптимальным, т.е.  $p(G) = 4$ .

**Метод «ветвей и границ».** Как будет видно из последующих примеров, алгоритм 7.1 далеко не всегда дает оптимальное раскрашивание вершин графа. Для того, чтобы раскрашивание вершин связного графа  $G = (V, X)$ , где  $V = \{v_1, \dots, v_n\}$ , было гарантированно оптимальным можно применить так называемый *метод «ветвей и границ»*. В этом методе решается задача минимизации некоторой *целевой функции*  $f(x)$  на конечном множестве *допустимых решений*  $P$ . Допустимыми решениями (или *допустимыми последовательностями*) являются последовательности  $(i_1, \dots, i_n)$  (кратко – *раскраски*), где  $i_j \in \{1, 2, \dots, n\}$ , такие, что вершина  $v_j$  окрашивается цветом с номером  $i_j$ ,  $j = 1, 2, \dots, n$ , и при этом никакие две смежные вершины не окрашиваются одним цветом, т.е.  $\{v_{j_1}, v_{j_2}\} \in X \Rightarrow i_{j_1} \neq i_{j_2}$ . Совершенно аналогично будем понимать допустимость любой части этой последовательности  $(i_1, \dots, i_j)$ , и называть ее *раскраской множества вершин*  $\{v_1, \dots, v_j\}$ , где  $j \in \{1, 2, \dots, n-1\}$ .

Ищется последовательность, на которой достигается минимум целевой функции  $f(i_1, \dots, i_n) = \max\{i_1, \dots, i_n\}$  на множестве допустимых решений  $P$ . Эта последовательность, очевидно, и укажет нам оптимальное раскрашивание вершин графа  $G$ .

Будем искать оптимальное раскрашивание вершин графа  $G$  на дереве возможных решений (раскрасок)  $G_T$ . Это дерево состоит из  $n$  уровней: 1-ый уровень соответствует вершине  $v_1$  и каждый  $j$ -й уровень – вершине  $v_j$ , где  $j \in \{1, 2, \dots, n\}$ . Совокупность вершин каждого  $j$ -го уровня соответствует допустимым номерам цветов для окрашивания  $j$ -ой

вершины. При изображении дерева решений эти номера будут указываться внутри вершин каждого  $j$ -го уровня (см. на рис. 7.6 изображение дерева возможных решений  $G_T$  для графа, изображенного на рис. 7.5).

**Замечание 7.2.** Не теряя общности рассуждений, можно считать, что для любой раскраски  $(i_1, \dots, i_n) \in P$  выполняется

$$i_1 = 1, \forall j \in \{2, \dots, n\} \quad i_j \leq \max\{i_1, \dots, i_{j-1}\} + 1, \quad (7.1)$$

так как, если имеется некоторая раскраска, то всегда можно перенумеровать цвета так, чтобы выполнялось это условие. Из (7.1), в частности, следует, что

$$i_j \leq j, \quad j = 1, 2, \dots, n. \quad (7.2)$$

**Пример 7.2.** Если раскраска вершин некоторого графа  $G$  соответствует второй строке табл. 7.1, то после перенумерации цветов она переходит в раскраску, соответствующую третьей строке этой таблицы, а эта раскраска удовлетворяет (7.1).

$v_1$	$v_2$	$v_3$	$v_4$	$v_5$	$v_6$	$v_7$	$v_8$	$v_9$	$v_{10}$
5	3	1	2	4	1	3	4	5	4
1	2	3	4	5	3	2	5	1	5

Табл. 7.1

В соответствии с замечанием 7.2 (см. условие (7.2)) на первом уровне дерева  $G_T$ , соответствующего вершине  $v_1$ , присутствует единственная вершина с номером цвета 1, а на каждом  $j$ -ом уровне (соответствующем вершине  $v_j$ ), где  $j \in \{2, \dots, n\}$ , – вершины с номерами цветов из множества  $\{1, 2, \dots, j\}$ . Для каждого  $j \in \{2, \dots, n\}$  никакие две вершины  $j$ -го уровня не являются смежными (иначе  $G_T$  не будет деревом, поскольку в нем будут присутствовать циклы).

Единственная вершина первого уровня с номером цвета 1 соединяется ребрами с вершинами второго уровня, соответствующими возможным номерам цветов вершины  $v_2$ . При этом, в силу (7.1), если вершины  $v_1, v_2$  являются смежными, то единственной вершиной второго уровня является вершина с номером цвета 2, в противном случае вершинами второго уровня являются вершины с номерами цветов 1, 2, расположенные на его изображении в порядке возрастания этих номеров (см. рис. 7.6).

Вершины второго уровня соединяются ребрами с вершинами третьего уровня, соответствующими возможным номерам цветов вершины  $v_3$ . Если на втором уровне оказалась единственная вершина с номером цвета 2, то в силу (7.1) эта вершина соединяется с вершинами третьего уровня с номерами цветов  $i_3 \in \{1, 2, 3\}$ , для которых последовательность  $(1, 2, i_3)$  является допустимой (расположенными на его изображении в порядке возрастания номеров). В случае, если на втором уровне находятся две вершины с номерами цветов 1, 2, то (в соответствии с условием (7.1)) вершина с номером цвета 1 соединяется с вершинами третьего уровня с номерами цветов  $i_3 \in \{1, 2\}$ , для которых последовательность  $(1, 1, i_3)$  является допустимой (расположенными на его изображении в порядке возрастания номеров), а вершина с номером цвета 2 соединяется с вершинами третьего уровня с номерами цветов  $i'_3 \in \{1, 2, 3\}$ , для которых последовательность  $(1, 2, i'_3)$  является допустимой (расположенными на его изображении в порядке возрастания номеров).



На каждом  $j$ -м уровне, где  $j \in \{3, \dots, n-1\}$ , любая вершина этого уровня соединяется ребрами с некоторыми вершинами  $(j+1)$ -го уровня. При этом в силу того, что  $G_T$  – дерево, для любой вершины  $j$ -го уровня с некоторым цветом  $i_j$  существует единственная цепь (и при этом простая; см. свойство (4) деревьев в теме 4), соединяющая единственную вершину первого уровня с номером цвета  $i_1 = 1$  с этой вершиной  $j$ -го уровня, которой соответствует последовательность  $(i_1, \dots, i_j)$  номеров цветов, соответствующих вершинам этой цепи. В силу (7.1) указанная вершина  $j$ -го уровня с номером цвета  $i_j$  соединяется ребрами с вершинами  $(j+1)$ -го уровня с номерами цветов  $i_{j+1} \in \{1, 2, \dots, \max\{i_1, \dots, i_j\} + 1\}$  (расположенными на его изображении в порядке возрастания номеров), для которых последовательности  $(i_1, \dots, i_{j+1})$  допустимы.

Описанное дерево  $G_T$ , дает нам схему «ветвления» для решения поставленной задачи. Цепи, соединяющие единственную вершину первого уровня с вершинами  $n$ -го уровня дадут нам все возможные раскраски (последовательности цветов, соответствующих последовательностям вершин этих цепей), среди которых будет находиться и оптимальная. См. на рис. 7.6 дерево  $G_T$ , для графа  $G$ , изображенного на рис. 7.5. Это дерево построено с учетом выполнения условия (7.1).

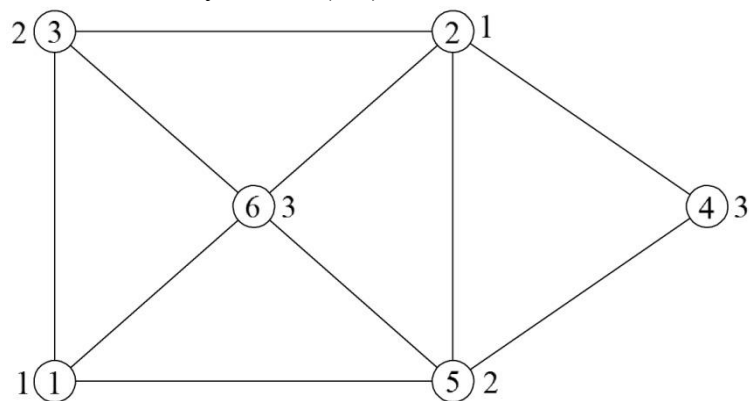


Рис. 7.5

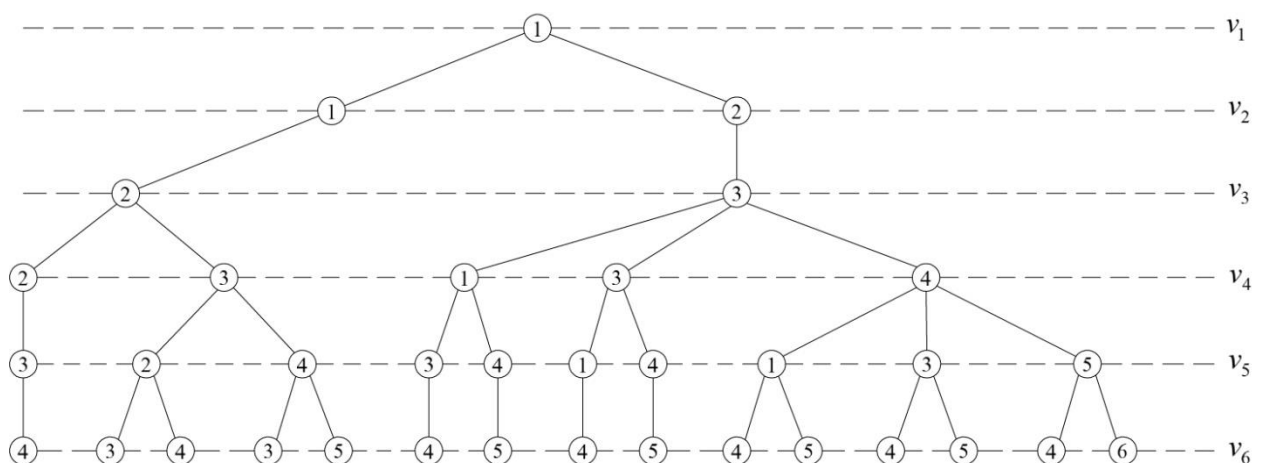


Рис. 7.6

Понятно, что при достаточно большом количестве вершин  $n$  количество вершин в  $G_T$  может оказаться очень большим, что создаст затруднения при выборе оптимальной раскраски. Для того, чтобы по возможности избежать эти затруднения можно воспользоваться следующими правилами:

(а) Во-первых, воспользуемся тем, что ищутся не все оптимальные раскраски, а лишь любая из них. Учитывая это, на последнем этапе ветвления, т.е. после получения цепи длины  $n-1$  с последовательностью номеров цветов ее вершин  $(i_1, \dots, i_{n-1})$  последняя вершина этой цепи с номером цвета  $i_{n-1}$  соединяется с единственной вершиной  $n$ -го уровня с номером минимально возможного цвета  $i_n \in \{1, 2, \dots, \max\{i_1, \dots, i_{n-1}\} + 1\}$ , для которого последовательность  $(i_1, \dots, i_n)$  допустима, т.е. является раскраской. Понятно, что пользуясь этим правилом, мы не отсечем все оптимальные раскраски.

(б) Во вторых, воспользуемся так называемыми «правилами отсечения». Каждой вершине  $n$ -го уровня дерева  $G_T$ , с некоторым номером цвета  $i_n$  соответствует единственная цепь, соединяющая единственную вершину первого уровня с этой вершиной. Этой цепи соответствует раскраска, т.е. последовательность номеров цветов ее вершин  $(i_1, \dots, i_n)$ . Поставим этой вершине в соответствие значение функции  $f(i_1, \dots, i_n) = \max\{i_1, \dots, i_n\}$ , которое будем указывать над каждой вершиной  $n$ -го уровня на изображении дерева  $G_T$  (см. рис. 7.7). Совершенно аналогично каждой вершине  $j$ -го уровня дерева  $G_T$ , где  $j \in \{2, \dots, n-1\}$ , соответствует единственная цепь, соединяющая единственную вершину первого уровня с этой вершиной. Этой цепи соответствует последовательность номеров цветов  $(i_1, \dots, i_j)$  ее вершин. Поставим этой вершине в соответствие значение функции  $\max\{i_1, \dots, i_j\}$ , которое будем указывать на дереве  $G_T$  над этой вершиной и называть *оценкой* для этой вершины. Заметим, что для любой раскраски  $(i_1, \dots, i_j, \dots, i_n) \in P$  (продолжающей раскраску  $(i_1, \dots, i_j)$  множества вершин  $\{i_1, \dots, i_j\}$ ) выполняется

$$f(i_1, \dots, i_j, \dots, i_n) = \max\{i_1, \dots, i_n\} \geq \max\{i_1, \dots, i_j\}, \quad (7.3)$$

т.е. величина  $\max\{i_1, \dots, i_j\}$  является нижней оценкой для всех раскрасок, продолжающих раскраску множества вершин  $\{i_1, \dots, i_j\}$ , где  $j \in \{1, 2, \dots, n-1\}$ .

Заметим, что (по построению) самой левой цепью дерева  $G_T$ , соединяющей единственную вершину первого уровня с самой левой вершиной  $n$ -го уровня является раскраска, получаемая в соответствии с реализацией алгоритма 7.1. Организуем поэтапное построение дерева  $G_T$  таким образом, чтобы эта цепь была построена первой. Значение целевой функции на раскраске, соответствующей этой цепи обозначим через  $\tilde{p}$ . Эту величину, которая будет уточняться при дальнейшем построении дерева  $G_T$ , будем называть *достигнутым рекордом*, т.е. минимальным достигнутым числом цветов, для всех уже построенных раскрасок дерева  $G_T$ . В силу неравенства (7.3), если для некоторой очередной вершины дерева  $G_T$  (которую мы проходим в процессе поэтапного построения дерева  $G_T$ ) оценка этой вершины больше или равна достигнутому рекорду  $\tilde{p}$ , то все продолжающие ее раскраски не улучшат достигнутый рекорд  $\tilde{p}$ , и поэтому в дереве  $G_T$  не осуществляется дальнейшего продолжения цепей после этой вершины и на изображении  $G_T$  такие вершины выделяются жирными кружками (см. на рис. 7.7 вершины с №10, №12).

Остается описать порядок прохождения вершин в дереве  $G_T$  (*порядок продолжения ветвления*). В [3, стр. 47, 48] описаны три возможных способа (продолжения ветвле-

ния). Применим к решению нашей задачи способ 2. В этом способе для очередного ветвления (т.е. для построения, продолжающих эту вершину цепей дерева  $G_T$ ) берется вершина текущего дерева решений максимального уровня  $j \in \{1, 2, \dots, n-1\}$  и являющаяся самой левой среди вершин этого уровня, для которых еще не были построены продолжающие их цепи. По построению дерева  $G_T$  эта вершина будет иметь минимальную оценку среди всех таких вершин. При таком выборе способа продолжения ветвления раскраска, соответствующая самой левой цепи дерева  $G_T$ , соединяющая единственную вершину первого уровня с самой левой вершиной  $n$ -го уровня, является самой первой из построенных раскрасок. Очевидно, что эта раскраска получается в соответствии с реализацией алгоритма 7.1. На рис. 7.7 приведен результат обхода множества вершин дерева  $G_T$ , изображенного на рис. 7.6 и соответствующего множеству раскрасок графа  $G$ , изображенного на рис. 7.5. Этот обход произведен в соответствии с правилами (а) и (б), а также с выбранным способом продолжения ветвления. На этом рисунке под каждой вершиной дерева  $G_T$  указан номер этой вершины в порядке обхода вершин этого дерева. На рис. 7.7 все пройденные (и пронумерованные при этом обходе) вершины выделены жирными (№10, №12) или полужирными (№№1–9, №11) кружками, а все ребра, входящие в цепи, соединяющие единственную вершину первого уровня со всеми выделенными вершинами, изображены в виде отрезков полужирных прямых.

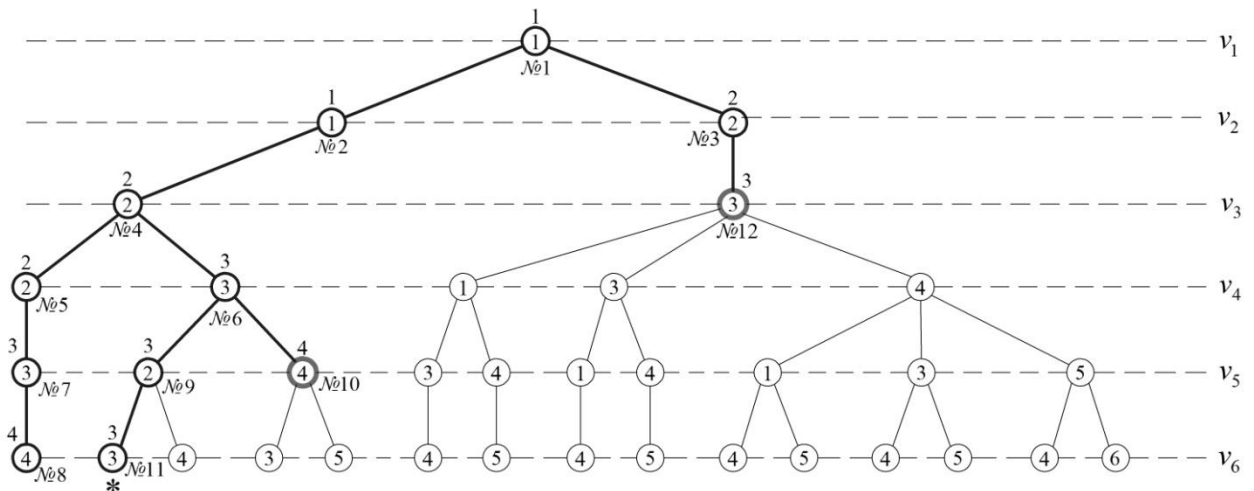


Рис. 7.7

Заметим, что при достижении вершины с №8 получаем первое значение достигнутого рекорда  $\tilde{p} = 4$ . В соответствии с правилом (б) при достижении вершины с №10 (изображена жирным кружком) отсекаем все продолжающиеся из нее цепи. Далее при достижении вершины с №11 уменьшаем достигнутый рекорд до  $\tilde{p} = 3$  и в соответствии с правилом (б) при достижении вершины с №12 (изображена жирным кружком) отсекаем все продолжающиеся из нее цепи. Оптимальная раскраска соответствует цепи, соединяющей единственную вершину первого уровня дерева  $G_T$  с вершиной  $n$ -го уровня, помеченной символом \*. Соответствующие этой раскраске номера цветов указаны около вершин графа  $G$  на рис. 7.5. Таким образом, хроматическим числом графа  $G$ , изображенного на рис. 7.5, является  $p(G) = 3$ .

**Замечание 7.3.** В соответствии с утверждением 7.3 перед началом реализации метода ветвей и границ полезно (для уменьшения числа вершин в дереве  $G_T$ ) выделить в



чтобы вершина  $v_5$  в новой нумерации стала вершиной  $v_3$ . При этом граф  $G$  переходит, например, в граф  $G'$ , изображенный на рис. 7.10.

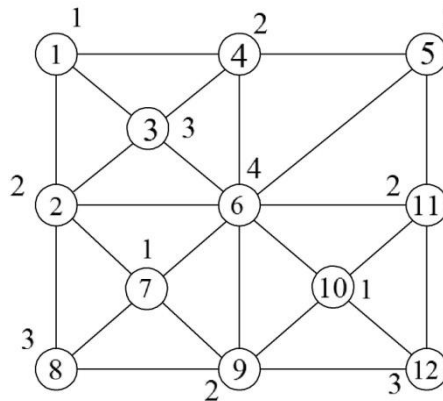


Рис. 7.10

Применяя к графу  $G'$  алгоритм 7.1, получаем раскрашивание вершин, указанное на рис. 7.10, с максимальным номером цвета  $r = 4$ . Для уменьшения  $r$  применяем к графу  $G'$  метод ветвей и границ. Пусть  $G'_T$  – дерево возможных решений (раскрасок) для графа  $G'$  (аналогичное дереву  $G_T$ , изображенному на рис. 7.6, являющемуся деревом возможных решений для графа  $G$ , изображенного на рис. 7.5). На рис. 7.11 приведен результат обхода части множества вершин дерева  $G'_T$ , т.е. на этом рисунке приведено дерево  $G'_{T_1}$ , являющееся подграфом дерева  $G'_T$  (ранее на рис. 7.7 аналогичным образом был выделен полужирными и жирными линиями подграф дерева возможных решений  $G_T$ , соответствующего множеству раскрасок графа  $G$ , изображенного на рис. 7.5). Этот обход произведен в соответствии с правилами (а) и (б), а также с выбранным способом продолжения ветвления. На этом рисунке над каждой вершиной последнего 12-го уровня указано значение целевой функции для соответствующей этой вершине раскраски. Соответственно, над каждой вершиной меньшего уровня указана соответствующая этой вершине оценка. Кроме того, на этом рисунке под каждой вершиной дерева  $G'_{T_1}$  указан номер этой вершины в порядке обхода вершин этого дерева. В соответствии с правилом (б) не осуществляем дальнейшее продолжение цепей после вершин с оценками, большими или равными достигнутого текущего рекорда  $\tilde{p}$  (уточняемого в процессе обхода вершин дерева  $G'_{T_1}$ ). Такие вершины выделены полужирными кружками. Оптимальная раскраска графа  $G'$ , изображенного на рис. 7.10, соответствует цепи, соединяющей единственную вершину первого уровня дерева  $G'_{T_1}$  с любой вершиной  $n$ -го уровня, с минимальным значением целевой функции для соответствующей этой цепи раскраски. Она оказалась единственной, помеченной символом \* (№38). Таким образом, хроматическим числом графа  $G'$  является  $p(G') = 3$ . Оптимальное раскрашивание вершин графа  $G'$  приведено на рис. 7.12, а соответствующее ему оптимальное раскрашивание вершин графа  $G$  приведено на рис. 7.13 (получается из рис. 7.12 после возвращения к исходной нумерации вершин графа  $G$ ).

Таким образом, минимальное количество помещений, необходимое для хранения продуктов  $1, 2, \dots, 12$  со схемой взаимодействия, соответствующей орграфу  $D$ , изображенному на рис. 7.8, равно 3.

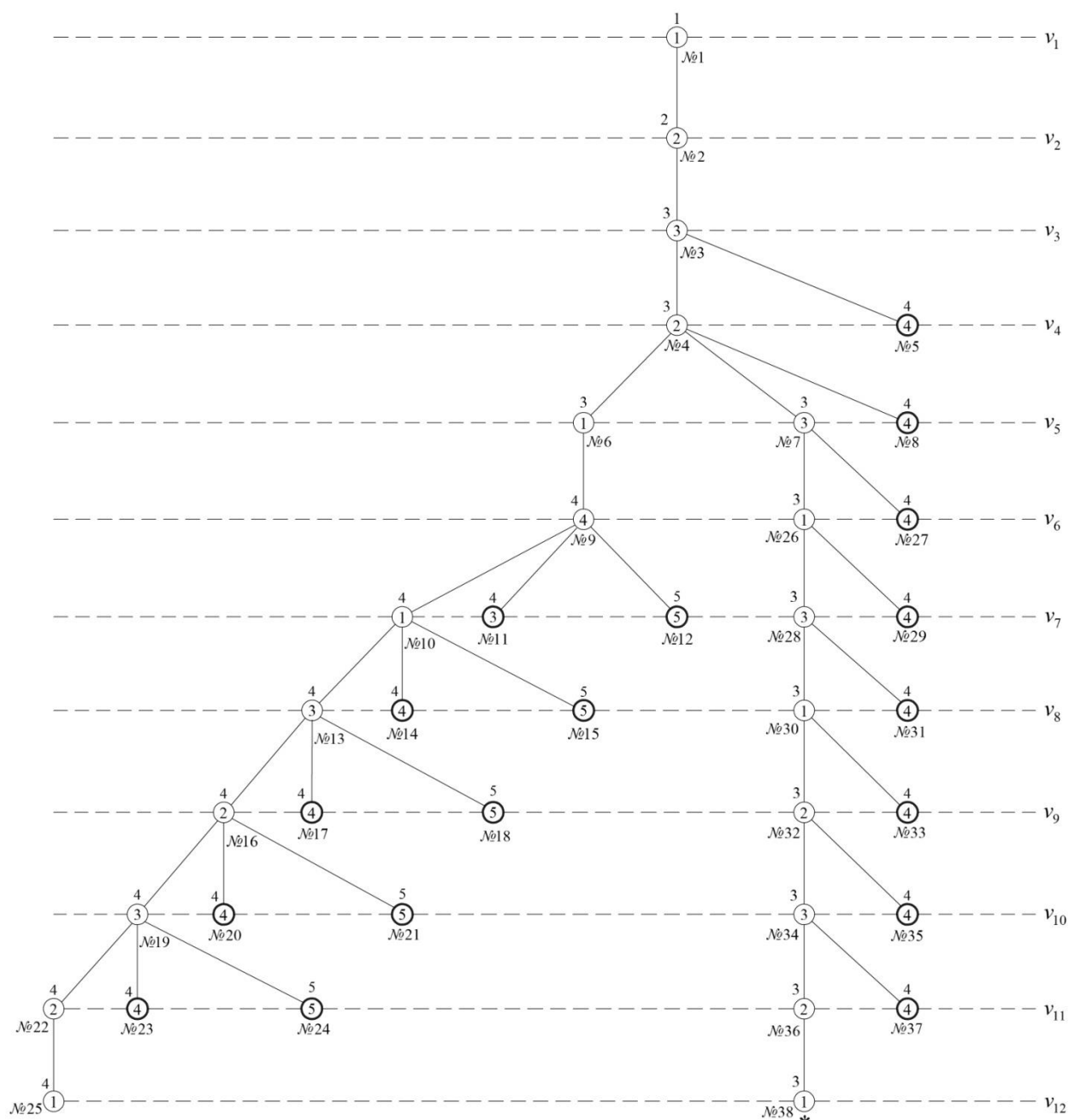


Рис. 7.11

Одно из оптимальных распределений продуктов по помещениям соответствует оптимальному раскрашиванию вершин, приведенному на рис. 7.13. В первом помещении хранятся продукты 1, 6, 8, 12; во втором – 2, 3, 9, 11; в третьем – 4, 5, 7, 10.

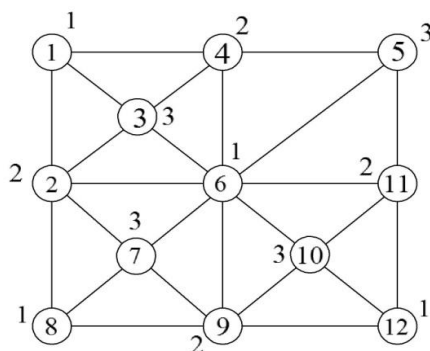


Рис 7.12

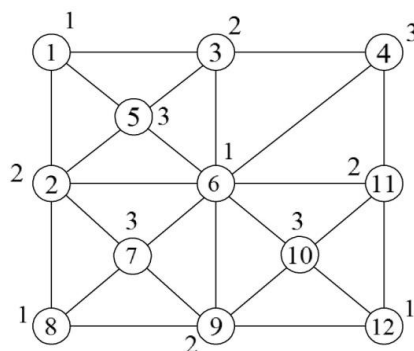


Рис. 7.13

## Тема 8. Цикломатическая матрица. Электрические цепи. Уравнения Кирхгофа

Пусть  $G = (V, X)$  – связный граф (в общем случае мультиграф), где  $V = \{v_1, \dots, v_n\}$ ,  $X = \{x_1, \dots, x_m\}$ , например, изображенный на рис. 8.1.

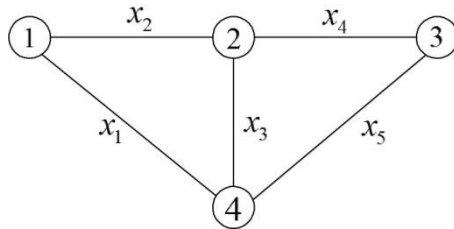


Рис. 8.1

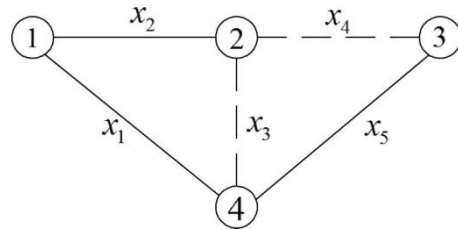


Рис. 8.2

Выделим произвольным образом остовное дерево графа  $G$  (например, используя алгоритм 4.1). Для графа  $G$ , изображенного на рис. 8.1, одним из возможных остовных деревьев является дерево, изображенное на рис. 8.2 (пунктирными линиями изображены удаленные из  $G$  ребра).

Тогда, добавляя любое из ребер, не вошедших в остовное дерево графа  $G$  (изображенных на рис. 8.2 пунктирными линиями), мы получим граф с некоторым единственным простым циклом (см. тему 4, свойство (5) деревьев), проходящим через добавляемое ребро. Всего в остовное дерево не вошли  $\nu(G) = m - n + 1$  ребер (для графа, изображенного на рис. 8.1,  $\nu(G) = m - n + 1 = 2$ ), а поэтому можем получить таким образом  $\nu(G)$  простых циклов. Эти циклы различны в том смысле что каждый из них проходит через ребро (то самое, которое мы добавляли для выделения данного цикла), через которое не проходит ни один другой цикл. Они образуют *цикловой базис графа  $G$*  (см. [1, стр. 215]). Для графа, изображенного на рис. 8.1, в цикловой базис войдут циклы:  $\mu_1 = \mu_1(x_3) = x_1 x_2 x_3$ ,  $\mu_2 = \mu_2(x_4) = x_1 x_2 x_4 x_5$ . См. изображение этих циклов на рис. 8.3 (при этом внутри циклов указывается выбранное направление обхода ребер в этих циклах; в обоих случаях это направление выбрано по часовой стрелке; возможен выбор и противоположного направления для любого из этих циклов).

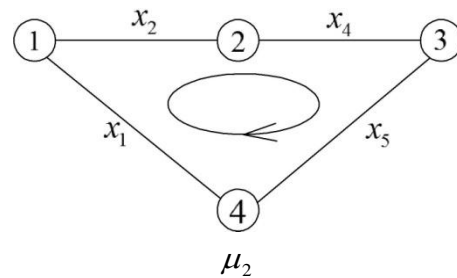
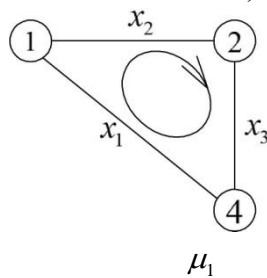


Рис. 8.3

Введем произвольным образом ориентацию на ребрах графа  $G$  (т.е. каждое ребро  $\{v, w\} \in X$  превращаем либо в дугу  $(v, w)$ , либо в дугу  $(w, v)$ ). В результате каждое ребро  $x_j$  превратится в дугу  $\tilde{x}_j$  и соответственно множество ребер  $X$  – в множество дуг  $\tilde{X}$ , а сам граф  $G = (V, X)$  – в орграф  $D = (V, \tilde{X})$ . Для графа  $G$ , изображенного на рис. 8.1, в результате введения ориентации на его ребрах получим, например, орграф  $D = (V, \tilde{X})$ , изображенный на рис. 8.4.

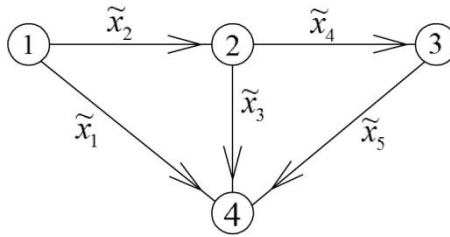


Рис. 8.4

Цикломатической матрицей графа  $G$  с цикловым базисом  $\{\mu_1, \dots, \mu_{v(G)}\}$  называется матрица  $C(G) = [c_{ij}]_{v(G) \times m}$  (т.е. с  $v(G)$  строками и  $m$  столбцами) с элементами:  $c_{ij} = 1$ , если ребро  $x_j$  входит в цикл  $\mu_i$  и проходится в этом цикле в направлении  $\tilde{x}_j$ ;  $c_{ij} = -1$ , если ребро  $x_j$  входит в цикл  $\mu_i$  и проходится в этом цикле в направлении, противоположном  $\tilde{x}_j$ ;  $c_{ij} = 0$ , если ребро  $x_j$  не входит в цикл  $\mu_i$ .

Для графа  $G$ , изображенного на рис. 8.1, для выделенного ранее циклового базиса этого графа  $\{\mu_1, \mu_2\}$  (см. рис. 8.3) и выбранной ориентацией ребер, соответствующей орграфу  $D$ , изображенному на рис. 8.4, цикломатическая матрица имеет вид

$$C(G) = \begin{array}{c|ccccc} & & & * & * & \\ \hline & x_1 & x_2 & x_3 & x_4 & x_5 \\ \hline \mu_1 & -1 & 1 & 1 & 0 & 0 \\ \mu_2 & -1 & 1 & 0 & 1 & 1 \end{array} .$$

При построении циклового базиса графа  $G$  мы поочередно добавляли к остовному дереву графа  $G$  ребра  $x_3, x_4$ . Выделим соответствующие этим ребрам столбцы в матрице  $C(G)$  (они помечены символом  $*$ ). Из выделенных столбцов составим матрицу. Ее определитель равен 1, а следовательно, ранг матрицы  $C(G)$  равен числу строк, т.е.  $v(G)$ . Этот факт не случаен. Выделяя столбцы матрицы  $C(G)$ , соответствующие добавляемым ребрам, мы всегда получим матрицу, определитель которой равен 1 по абсолютной величине, а следовательно, ранг матрицы  $C(G)$  всегда равен  $v(G)$ , т.е. числу строк.

Пусть теперь граф  $G$ , изображенный на рис. 8.1, соответствует электрической цепи, изображенной на рис. 8.5, где кружками изображены узлы этой цепи (см. замечание 8.1).

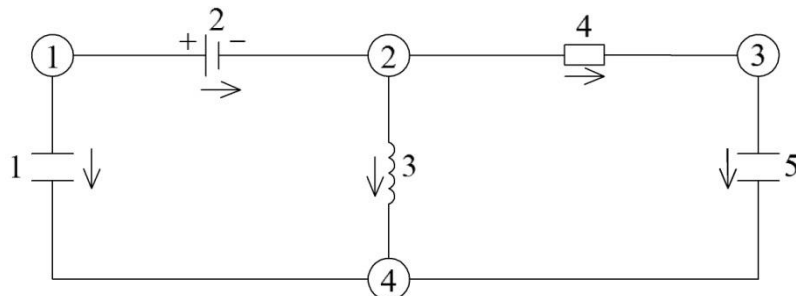


Рис. 8.5

**Замечание 8.1.** Будем говорить, что граф  $G$ , изображенный на рис. 8.1, является графом, ассоциированным с электрической цепью, изображенной на рис. 8.5. Аналогичным образом произвольной электрической цепи, состоящей из двухполюсных элементов



(сопротивлений, емкостей, индуктивностей, источников тока, напряжений и т.д.) и соединенных проводниками, можно поставить в соответствие граф (в общем случае – мультиграф), в котором каждому элементу цепи будет соответствовать ребро графа. Вершины этого графа соответствуют узлам электрической цепи (условным точкам соединения проводниками некоторых концов элементов цепи).

Выберем произвольным образом направления токов в элементах цепи (условные направления; после решения соответствующей системы уравнений знаки при величинах токов покажут истинные направления токов). Пусть эти направления соответствуют выбранной ранее ориентации ребер графа  $G$  (см. рис. 8.4). Пусть  $\mu$  – некоторый цикл в графе  $G$ . Сформулируем уравнение Кирхгофа для напряжений относительно этого цикла: *алгебраическая сумма разницы напряжений для элементов электрической цепи, входящих в цикл  $\mu$ , равна нулю*. Выпишем систему уравнений Кирхгофа для напряжений относительно выделенных ранее циклов  $\mu_1, \mu_2$ :

$$\mu_1: -u_1 + u_2 + u_3 + 0 + 0 = 0,$$

$$\mu_2: -u_1 + u_2 + 0 + u_4 + u_5 = 0,$$

или, что то же самое,

$$C(G)U = 0, \text{ где } U = [u_1, \dots, u_5]^T. \quad (8.1)$$

Таким образом, получили систему из  $\nu(G)$  линейно независимых уравнений Кирхгофа для напряжений. Можно показать (см., например [1]), что любое уравнение Кирхгофа для напряжений, соответствующее некоторому произвольному циклу графа  $G$ , является линейной комбинацией уравнений системы (8.1). Поэтому имеет смысл ограничиться рассмотрением системы (8.1).

**Матрица инцидентности.** Пусть  $D = (V, X)$  – оргграф (в общем случае ориентированный мультиграф), где  $V = \{v_1, \dots, v_n\}$ ,  $X = \{x_1, \dots, x_m\}$ . Матрицей инцидентности оргграфа  $D$  называется матрица  $B(D) = [b_{ij}]_{n \times m}$  (т.е. с  $n$  строками и  $m$  столбцами) с элементами:  $b_{ij} = 1$ , если вершина  $v_i$  является концом дуги  $x_j$ ;  $b_{ij} = -1$ , если вершина  $v_i$  является началом дуги  $x_j$ ;  $b_{ij} = 0$ , если вершина  $v_i$  не инцидентна дуге  $x_j$ .

**Пример 8.1.** Для оргграфа  $D$ , изображенного на рис. 8.6,

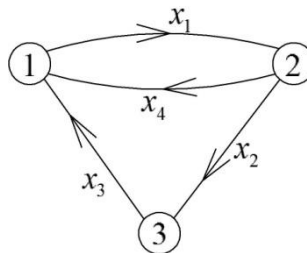


Рис. 8.6

матрица  $B(D)$  имеет вид:

$$B(D) = \begin{array}{c|cccc} & x_1 & x_2 & x_3 & x_4 \\ \hline v_1 & -1 & 0 & 1 & 1 \\ v_2 & 1 & -1 & 0 & -1 \\ v_3 & 0 & 1 & -1 & 0 \end{array} .$$

**Уравнения Кирхгофа для токов.** Уравнение Кирхгофа для токов формулируется относительно каждого узла электрической цепи: *алгебраическая сумма величин токов, текущих в данный узел электрической цепи, равна нулю.*

Для электрической цепи, изображенной на рис. 8.5, совокупность уравнений Кирхгофа для токов имеет вид:

$$\text{узел 1: } -i_1 - i_2 + 0 + 0 + 0 = 0,$$

$$\text{узел 2: } 0 + i_2 - i_3 - i_4 + 0 = 0,$$

$$\text{узел 3: } 0 + 0 + 0 + i_4 - i_5 = 0,$$

$$\text{узел 4: } i_1 + 0 + i_3 + 0 + i_5 = 0,$$

или, что то же самое

$$B(D)I = 0, \text{ где } I = [i_1, \dots, i_5]^T, \quad (8.2)$$

$$B(D) = \begin{array}{c|ccccc} & x_1 & x_2 & x_3 & x_4 & x_5 \\ \hline v_1 & -1 & -1 & 0 & 0 & 0 \\ v_2 & 0 & 1 & -1 & -1 & 0 \\ v_3 & 0 & 0 & 0 & 1 & -1 \\ v_4 & 1 & 0 & 1 & 0 & 1 \end{array},$$

$B(D)$  – матрица инцидентности орграфа  $D = (V, \tilde{X})$  (см. рис. 8.4), полученного ранее в результате введения ориентации на ребрах графа  $G$  (см. рис. 8.1). При этом условные направления токов в элементах электрической цепи, изображенной на рис. 8.5, соответствуют направлениям дуг в орграфе  $D$ .

Рассмотрим вопрос о числе линейно независимых уравнений Кирхгофа для токов и как их выделить. Очевидно, что если сложить строки матрицы  $B(D)$ , то получим нулевую строку, а следовательно, любое уравнение Кирхгофа для токов является суммой остальных уравнений, взятой со знаком «минус». Таким образом, мы можем удалить произвольное уравнение из системы (8.2) и такой переход будет равносильным. Остается выяснить, будет ли оставшаяся система линейно независимой. Об этом утвердительно говорит

**Теорема 8.1.** Пусть  $G = (V, X)$  – связный граф и  $D = (V, \tilde{X})$  – орграф, полученный из  $G$  введением ориентации на ребрах (т.е. каждое ребро  $\{v, w\} \in X$  превращаем либо в дугу  $(v, w)$ , либо в дугу  $(w, v)$ ). Тогда ранг матрицы  $B(D)$  равен  $n(G) - 1$ .

**Замечание 8.2.** Утверждение теоремы 8.1 остается справедливым и в случае, когда  $G$  – связный мультиграф.

Из этой теоремы следует, что после вычеркивания любой строки из  $B(D)$  получаем матрицу, ранг которой совпадает с числом строк. Но тогда после удаления из системы (8.2) любого уравнения оставшаяся система уравнений оказывается линейно независимой.

Подсчитаем общее число линейно независимых уравнений Кирхгофа для токов и напряжений для некоторой электрической цепи с  $m$  элементами (двухполюсными) и содержащей  $n$  узлов. Этой цепи соответствует некоторый граф  $G$ , ассоциированный с ней, содержащий  $n$  вершин и  $m$  ребер. Будем считать, что электрическая цепь является неделимой, т.е. граф  $G$  является связным. Тогда этой цепи можно поставить в соответствие  $\nu(G) = m - n + 1$  линейно независимых уравнений Кирхгофа для напряжений и  $n - 1$  линейно независимых уравнений Кирхгофа для токов, т.е. систему из  $\nu(G) + n - 1 =$

$= m - n + 1 + n - 1 = m$  линейно независимых уравнений относительно  $2m$  неизвестных (для каждого из  $m$  элементов неизвестны величина тока по этому элементу и напряжение между концами этого элемента). Недостающими  $m$  уравнениями являются уравнения связи между величиной тока и напряжением для каждого элемента цепи. Простейшим из уравнений связи является закон Ома:  $u = ir$  для случая, когда элементом цепи является сопротивление величины  $r$ .

**Разбор типового варианта.** Пусть каждому ребру неориентированного графа  $G$ , изображенного на рис. 8.7, соответствует некоторый элемент электрической цепи. Составить линейно независимые системы уравнений Кирхгофа для токов и напряжений. Пусть первому и пятому ребру соответствуют источники тока с ЭДС  $E_1$  и  $E_2$  (полярность выбирается произвольно), а остальные элементы являются сопротивлениями. Используя закон Ома и предполагая внутренние сопротивления источников тока равными нулю, получить общую систему уравнений для токов.

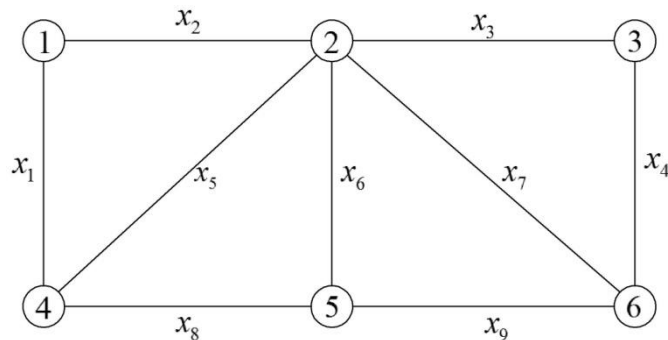


Рис. 8.7

**Решение.** Выделим произвольным образом остовное дерево графа  $G$  (например, используя алгоритм 4.1). Для графа  $G$ , изображенного на рис. 8.7, одним из возможных остовных деревьев является дерево, изображенное на рис. 8.8 (пунктирными линиями изображены удаленные из  $G$  ребра).

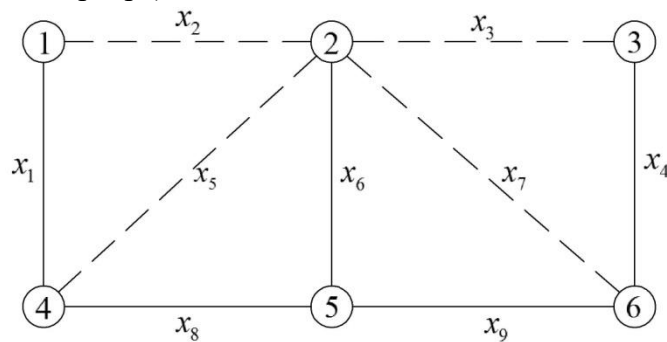


Рис. 8.8

Добавляя любое из ребер, не вошедших в остовное дерево графа  $G$  (изображенных на рис. 8.2 пунктирными линиями), мы получим граф с некоторым простым циклом (см. тему 4, свойство (5) деревьев). Всего в остовное дерево не вошли  $\nu(G) = m(G) - n(G) + 1$  ребер (для графа, изображенного на рис. 8.7,  $\nu(G) = 9 - 6 + 1 = 4$ ), а поэтому можем получить таким образом  $\nu(G) = 4$  простых циклов. Эти циклы различны в том смысле что каждый из них проходит через ребро (то самое, которое мы добавляли для выделения данного цикла), через которое не проходит ни один другой цикл. Они образуют *цикловой базис графа  $G$* .

Для графа  $G$ , изображенного на рис. 8.7, в цикловой базис войдут циклы:

$$\mu_1 = \mu_1(x_2) = x_1 x_2 x_6 x_8, \mu_2 = \mu_2(x_3) = x_3 x_4 x_9 x_6, \mu_3 = \mu_3(x_5) = x_5 x_6 x_8, \mu_4 = \mu_4(x_7) = x_6 x_7 x_9.$$

Введем произвольным образом ориентацию на ребрах графа  $G$  (т.е. каждое ребро  $\{v, w\}$  превращаем либо в дугу  $(v, w)$ , либо в  $(w, v)$ ). В результате каждое ребро  $x_j$  превратится в дугу  $\tilde{x}_j$  и соответственно множество ребер  $X$  в множество дуг  $\tilde{X}$ , а сам граф  $G = (V, X)$  в орграф  $D = (V, \tilde{X})$ . Для графа  $G$ , изображенного на рис. 8.7, в результате введения ориентации на его ребрах получаем, например, орграф  $D = (V, \tilde{X})$ , изображенный на рис. 8.9.

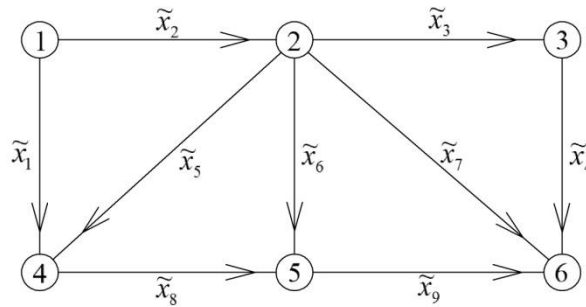


Рис. 8.9

Для графа  $G$ , изображенного на рис. 8.7, с выделенным ранее цикловым базисом  $\{\mu_1, \mu_2, \mu_3, \mu_4\}$  и выбранной ориентацией ребер, соответствующей орграфу  $D$ , изображенному на рис. 8.9, цикломатическая матрица имеет вид

$$C(G) = \begin{array}{c|cccccccccc} & & * & * & & * & & * & & \\ & x_1 & x_2 & x_3 & x_4 & x_5 & x_6 & x_7 & x_8 & x_9 \\ \hline \mu_1 & -1 & 1 & 0 & 0 & 0 & 1 & 0 & -1 & 0 \\ \mu_2 & 0 & 0 & 1 & 1 & 0 & -1 & 0 & 0 & -1 \\ \mu_3 & 0 & 0 & 0 & 0 & -1 & 1 & 0 & -1 & 0 \\ \mu_4 & 0 & 0 & 0 & 0 & 0 & -1 & 1 & 0 & -1 \end{array}.$$

При построении циклового базиса графа  $G$  мы поочередно добавляли к остовному дереву графа  $G$  ребра  $x_2, x_3, x_5, x_7$ . Выделим соответствующие этим ребрам столбцы в матрице  $C(G)$  (они помечены символом  $*$ ). Из выделенных столбцов составим матрицу. Ее определитель равен  $-1 \neq 0$ , а следовательно, ранг матрицы  $C(G)$  равен числу строк, т.е.  $\nu(G)$ .

Пусть теперь граф  $G$ , изображенный на рис. 8.7, соответствует электрической цепи, изображенной на рис. 8.10 (см. замечание 8.1).

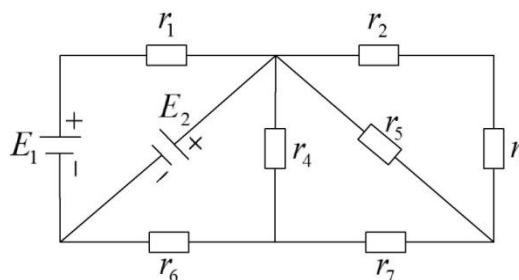


Рис. 8.10

Выберем произвольным образом направления токов в элементах цепи (условные направления; после решения соответствующей системы уравнений знаки при величинах токов покажут истинные направления токов). Пусть эти направления соответствуют выбранной ранее ориентации ребер графа  $G$  (см. рис. 8.9). Выпишем систему уравнений Кирхгофа для напряжений в соответствии с (8.1):

$$\mu_1: -u_1 + u_2 + u_6 - u_8 = 0,$$

$$\mu_2: u_3 + u_4 - u_6 - u_9 = 0,$$

$$\mu_3: -u_5 + u_6 - u_8 = 0,$$

$$\mu_4: -u_6 + u_7 - u_9 = 0,$$

или, с учетом закона Ома, а также того, что  $u_1 = E_1$ ,  $u_5 = E_2$ , имеем:

$$\begin{cases} E_1 + i_2 r_1 + i_6 r_4 - i_8 r_6 = 0, \\ i_3 r_2 + i_4 r_3 - i_6 r_4 - i_9 r_7 = 0, \\ E_2 + i_6 r_4 - i_8 r_6 = 0, \\ -i_6 r_4 + i_7 r_5 - i_9 r_7 = 0. \end{cases} \quad (8.3)$$

Система уравнений Кирхгофа для токов имеет вид (8.2), где

$$B(D) = \begin{array}{c|ccccccccc} & \tilde{x}_1 & \tilde{x}_2 & \tilde{x}_3 & \tilde{x}_4 & \tilde{x}_5 & \tilde{x}_6 & \tilde{x}_7 & \tilde{x}_8 & \tilde{x}_9 \\ \hline v_1 & -1 & -1 & 0 & 0 & 0 & 0 & 0 & 0 & 0 \\ v_2 & 0 & 1 & -1 & 0 & -1 & -1 & -1 & 0 & 0 \\ v_3 & 0 & 0 & 1 & -1 & 0 & 0 & 0 & 0 & 0 \\ v_4 & 1 & 0 & 0 & 0 & 1 & 0 & 0 & -1 & 0 \\ v_5 & 0 & 0 & 0 & 0 & 0 & 1 & 0 & 1 & -1 \\ v_6 & 0 & 0 & 0 & 1 & 0 & 0 & 1 & 0 & 1 \end{array} .$$

При этом для достижения линейной независимости системы уравнений Кирхгофа для токов необходимо исключить из системы (8.2) любое уравнение, например, второе. В результате система линейно независимых уравнений Кирхгофа для токов имеет вид:

$$\begin{cases} -i_1 - i_2 = 0, \\ i_3 - i_4 = 0, \\ i_1 + i_5 - i_8 = 0, \\ i_6 + i_8 - i_9 = 0, \\ i_4 + i_7 + i_9 = 0. \end{cases} \quad (8.4)$$

Таким образом, общей системой уравнений для токов является объединение систем (8.3), (8.4). Заметим, что полученная объединенная система уравнений состоит из девяти уравнений относительно девяти неизвестных:  $i_1, i_2, \dots, i_9$ , после нахождения которых не трудно определить  $u_1, u_2, \dots, u_9$ .

## Тема 9. Транспортные сети. Поток в транспортной сети. Максимальный поток

Под транспортной сетью будем понимать оргграф  $D = (V, X)$ , где  $V = \{v_1, \dots, v_n\}$ , с выделенными вершинами  $v_1, v_n$ , для которого выполняются условия:

(T1) существует одна и только одна вершина  $v_1$ , называемая *источником*, такая, что  $D^{-1}(v_1) = \emptyset$  (т.е. ни одна дуга не заходит в вершину  $v_1$ );

(T2) существует одна и только одна вершина  $v_n$ , называемая *стоком*, такая, что  $D(v_n) = \emptyset$  (т.е. ни одна дуга не исходит из вершины  $v_n$ );

(T3) каждой дуге  $x \in X$  поставлено в соответствие целое число  $c(x) \geq 0$ , называемое *пропускной способностью* этой дуги.

Вершины в транспортной сети, отличные от источника и стока, называются *промежуточными*.

Функция  $\varphi(x)$ , определенная на множестве  $X$  дуг транспортной сети  $D$  и принимающая неотрицательные целочисленные значения называется *поток* в транспортной сети  $D$ , если:

(П1) для любой дуги  $x \in X$  величина  $\varphi(x)$ , называемая *поток по дуге  $x$* , удовлетворяет условию  $0 \leq \varphi(x) \leq c(x)$ ;

(П2) для любой промежуточной вершины  $v$  сумма потоков по дугам, заходящим в  $v$ , равна сумме потоков по дугам, исходящим из  $v$ .

Величиной *потока  $\varphi$*  в транспортной сети  $D$  будем называть число  $\bar{\varphi}$ , равное сумме потоков по дугам, исходящим из источника  $v_1$  (или, что то же самое, равное сумме потоков по дугам, заходящим в сток  $v_n$ ).

**Пример 9.1.** На рис. 9.1 приведен пример транспортной сети  $D = (V, X)$  (см. (а)), а также пример потока  $\varphi$  в этой сети (см. (б)); в этом примере  $\bar{\varphi} = 8 + 10 = 10 + 3 + 5 = 18$ . На рис. 9.1 (а) пропускные способности дуг взяты в скобки. На рис. 9.1 (б) около каждой дуги  $x \in X$  указан поток по этой дуге  $\varphi(x)$ . Проверьте выполнение условия (П2) для потока  $\varphi$  в транспортной сети  $D$ .

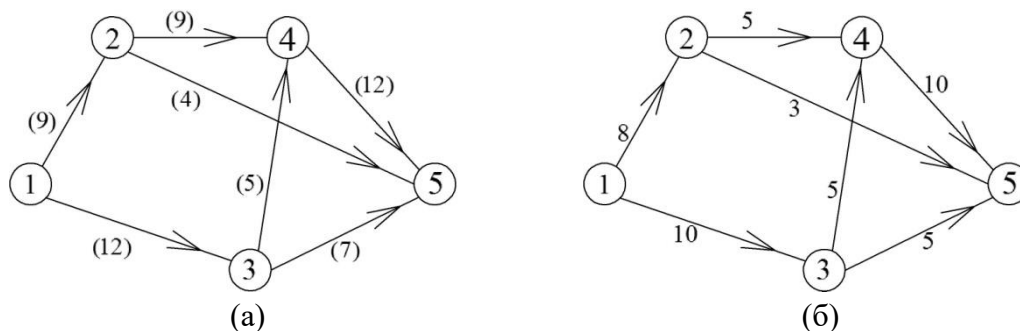


Рис. 9.1

Пусть  $\varphi$  – поток в транспортной сети  $D = (V, X)$ . Дуга  $x \in X$  называется *насыщенной*, если поток по ней равен ее пропускной способности, т.е., если  $\varphi(x) = c(x)$ . Поток  $\varphi$  называется *полным*, если любой путь из источника в сток содержит по крайней мере одну насыщенную дугу. Поток  $\varphi$  с максимальной величиной  $\bar{\varphi}$  называется *максимальным*.

Очевидно, что максимальный поток обязательно является полным. Обратное, вообще говоря, не верно (не всякий полный поток является максимальным). Тем не менее полный поток можно рассматривать как некоторое приближение к максимальному. В связи с этим опишем алгоритм построения полного потока в транспортной сети  $D$ .

**Алгоритм 9.1 (построения полного потока в транспортной сети  $D$ )**

*Шаг 1.* Полагаем  $\forall x \in X \ \varphi(x) = 0$  (т.е. начинаем с нулевого потока). Полагаем  $D' = D$  ( $D'$  – вспомогательный орграф).

*Шаг 2.* Удаляем из  $D'$  дуги, являющиеся насыщенными при потоке  $\varphi$  в транспортной сети  $D$ .

*Шаг 3.* Ищем в  $D'$  простую цепь  $\eta$  из  $v_1$  в  $v_n$ . Если такой цепи нет, то  $\varphi$  – искомый полный поток. В противном случае переходим к шагу 4.

*Шаг 4.* Увеличиваем поток  $\varphi(x)$  по каждой дуге  $x$  из  $\eta$  на одинаковую величину  $a > 0$  такую, что по крайней мере одна дуга из  $\eta$  оказывается насыщенной, а потоки по остальным дугам из  $\eta$  не превосходят их пропускных способностей. Переходим к шагу 2.

**Разбор типового варианта.** (а) Используя алгоритм 9.1, построить полный поток в транспортной сети из примера 9.1.

**Решение.** Начинаем с нулевого потока  $\varphi_0$ . Каждой новой цепи из  $v_1$  в  $v_n = v_5$  будем ставить в соответствие ее очередной номер, т.е. будем обозначать эти цепи через  $\eta_1, \eta_2$  и т.д. Соответственно после нахождения цепи  $\eta_1$  поток  $\varphi_0$  изменится на поток  $\varphi_1$  (см. шаг 4 алгоритма 9.1). После нахождения цепи  $\eta_2$  поток  $\varphi_1$  изменится на  $\varphi_2$  и т.д. Числа, на которые увеличиваем потоки по дугам из  $\eta_i$ , обозначаем через  $a_i$ . Насыщенные дуги при изображении транспортной сети  $D$  с очередным потоком  $\varphi_i$  помечаем символом  $\times$ . На рис. 9.2 приведены изображения орграфа  $D$  с потоком  $\varphi_0$ , а также вспомогательного орграфа  $D'$ , который на этом этапе совпадает с  $D$ .

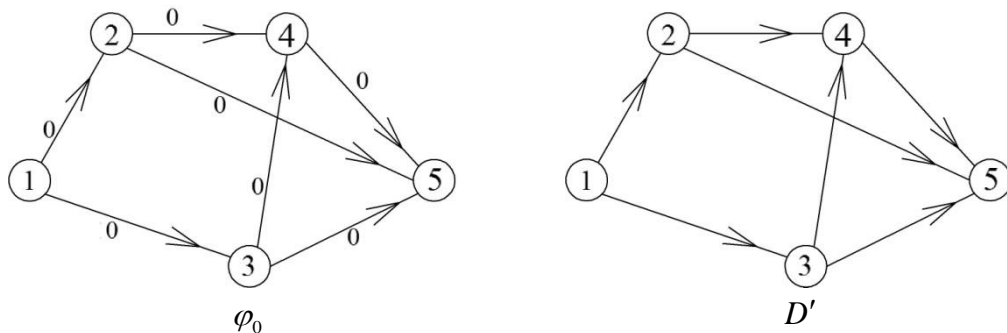


Рис. 9.2

Выделяем в  $D'$  простую цепь  $\eta_1 = v_1 v_2 v_4 v_5$  из  $v_1$  в  $v_5$ . Увеличиваем поток  $\varphi(x)$  по каждой дуге  $x$  из  $\eta_1$  на одинаковую величину  $a_1 = 9$  до насыщения дуг  $(v_1, v_2)$ ,  $(v_2, v_4)$ , при этом поток по дуге  $(v_4, v_5)$  не превышает ее пропускной способности. В результате поток  $\varphi_0$  меняется на поток  $\varphi_1$ , а из орграфа  $D'$  удаляются дуги  $(v_1, v_2)$ ,  $(v_2, v_4)$ . На рис. 9.3 приведены изображения орграфа  $D$  с потоком  $\varphi_1$ , а также соответствующего этому потоку вспомогательного орграфа  $D'$ .

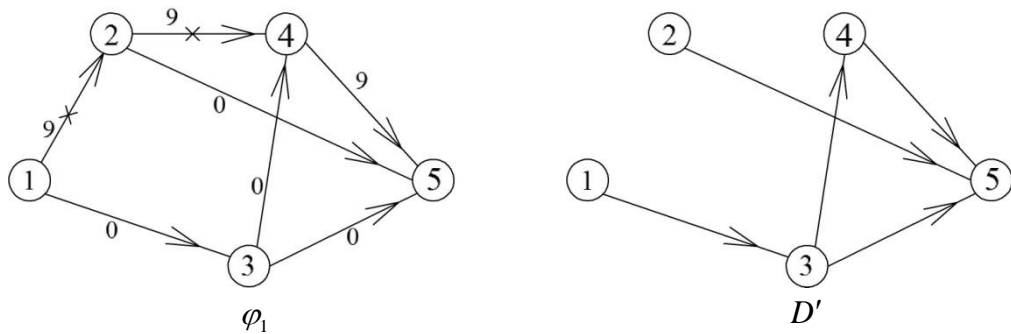


Рис. 9.3

Выделяем в  $D'$  простую цепь  $\eta_2 = v_1 v_3 v_5$  из  $v_1$  в  $v_5$ . Увеличиваем поток  $\varphi(x)$  по каждой дуге  $x$  из  $\eta_2$  на одинаковую величину  $a_2 = 7$  до насыщения дуги  $(v_3, v_5)$ , при этом поток по дуге  $(v_1, v_3)$  не превышает ее пропускной способности. В результате поток  $\varphi_1$  меняется на поток  $\varphi_2$ , а из орграфа  $D'$  удаляется дуга  $(v_3, v_5)$ . На рис. 9.4 приведены изображения орграфа  $D$  с потоком  $\varphi_2$ , а также соответствующего этому потоку вспомогательного орграфа  $D'$ .

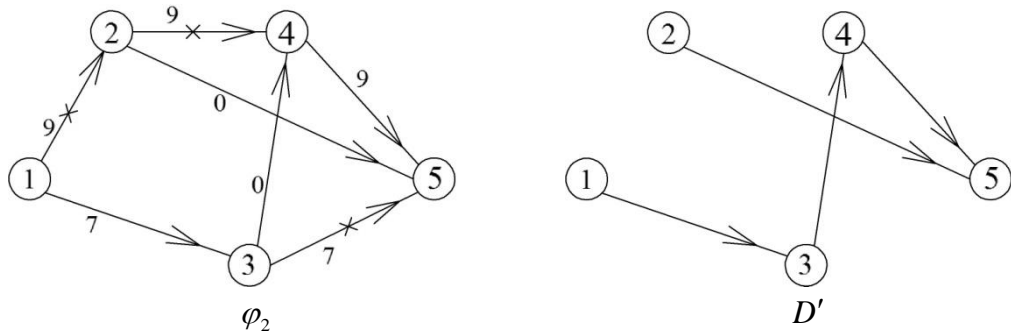


Рис. 9.4

Выделяем в  $D'$  простую цепь  $\eta_3 = v_1 v_3 v_4 v_5$  из  $v_1$  в  $v_5$ . Увеличиваем поток  $\varphi(x)$  по каждой дуге  $x$  из  $\eta_3$  на одинаковую величину  $a_3 = 3$  до насыщения дуги  $(v_4, v_5)$ , при этом потоки по дугам  $(v_1, v_3), (v_3, v_4)$  не превышают их пропускных способностей. В результате поток  $\varphi_2$  меняется на поток  $\varphi_3$ , а из орграфа  $D'$  удаляется дуга  $(v_4, v_5)$ . На рис. 9.5 приведены изображения орграфа  $D$  с потоком  $\varphi_3$ , а также соответствующего этому потоку вспомогательного орграфа  $D'$ .

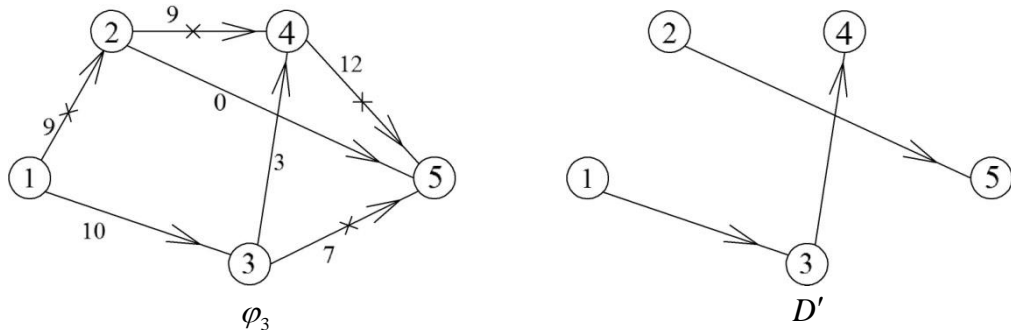


Рис. 9.5

Мы видим, что для орграфа  $D'$ , соответствующего потоку  $\varphi_3$ , не существует пути из источника в сток, а следовательно,  $\varphi_3$  – полный поток.



Как мы увидим далее, полученный полный поток  $\varphi_3$  не является максимальным. Для того чтобы иметь возможность увеличивать полный поток до максимального нам понадобится новое понятие.

**Орграф приращений.** Введем для транспортной сети  $D = (V, X)$  и потока  $\varphi$  в этой сети *орграф приращений*  $I(D, \varphi) = (V, \tilde{X})$ . Для любой дуги  $x = (v, w) \in X$  обозначим  $x' = (w, v)$ . Для каждой дуги  $x \in X$  выполняется: (а)  $x \in \tilde{X} \Leftrightarrow \varphi(x) < c(x)$ ; (б)  $x' \in \tilde{X} \Leftrightarrow \varphi(x) > 0$ .

**Замечание 9.1.** В дальнейшем мы будем искать в орграфе приращений простые цепи из  $v_1$  в  $v_n$ . Поэтому в нем можно не учитывать дуги, заходящие в  $v_1$ , а также исходящие из  $v_n$ . Будем орграф приращений без указанных дуг называть *модифицированным*.

**Разбор типового варианта (продолжение).** (б) Построить орграф приращений  $I(D, \varphi_3)$ .

**Решение.** На рис. 9.6 приведено изображение орграфа  $I(D, \varphi_3)$ , а на рис. 9.7 – изображение модифицированного орграфа  $I(D, \varphi_3)$ .

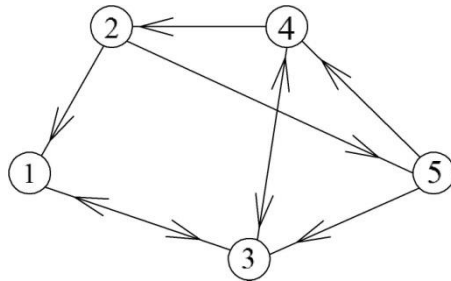


Рис. 9.6

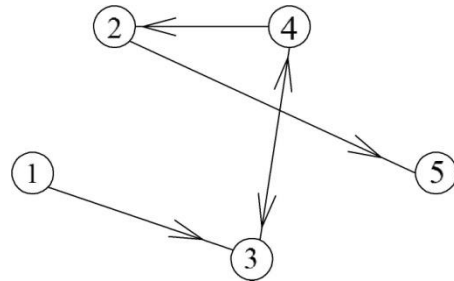


Рис. 9.7

Для дальнейшего понадобится

**Теорема 9.1 (Форда – Фалкерсона).** Поток  $\varphi$  в транспортной сети  $D$  является максимальным тогда и только тогда, когда в орграфе приращений  $I(D, \varphi)$  вершина  $v_n$  (сток транспортной сети  $D$ ) не достижима из  $v_1$  (источника транспортной сети  $D$ ).

Используя теорему Форда – Фалкерсона, нетрудно описать алгоритм построения максимального потока в транспортной сети  $D$ .

#### Алгоритм 9.2 (Форда – Фалкерсона)

**Шаг 1.** Пусть  $\varphi$  – любой поток в транспортной сети  $D$  (например, нулевой или полный).

**Шаг 2.** Строим орграф приращений  $I(D, \varphi)$ .

**Шаг 3.** Если в  $I(D, \varphi)$  вершина  $v_n$  не достижима из вершины  $v_1$ , то  $\varphi$  – искомый максимальный поток. В противном случае ищем в  $I(D, \varphi)$  простую цепь  $\eta$  из  $v_1$  в  $v_n$ . Увеличиваем потоки по дугам цепи  $\eta$  на максимально допустимую величину (см. замечание 9.2)  $a > 0$  и переходим к шагу 2.

**Замечание 9.2.** Если дуга  $x$  в цепи  $\eta$  имеет то же направление, что и в  $D$ , то можно увеличить поток по ней, не превышая ее пропускной способности, т.е. на величину, не превышающую  $c(x) - \varphi(x)$ . При этом по определению  $I(D, \varphi)$  в этом случае  $c(x) - \varphi(x) > 0$ . Если же дуга  $x'$  в  $\eta$  направлена противоположно соответствующей дуге  $x$  из  $D$  (см. определение  $I(D, \varphi)$ ), то можно увеличить поток по ней (и, соответственно,

уменьшить поток по дуге  $x$ ) до обнуления потока по дуге  $x$ , т.е. на величину, не превышающую  $\varphi(x)$ . При этом по определению  $I(D, \varphi)$  в этом случае  $\varphi(x) > 0$ . Таким образом, величина  $a > 0$ , используемая на шаге 3 алгоритма 9.2, является минимальной на множестве натуральных чисел  $\{c(x) - \varphi(x) \mid x \in X, x \in \eta\} \cup \{\varphi(x) \mid x \in X, x' \in \eta\}$ .

**Разбор типового варианта** (продолжение). (в) Используя алгоритм Форда – Фалкерсона, построить максимальный поток для сети  $D$  из примера 9.1.

**Решение.** Начинаем с ранее построенного полного потока  $\varphi_3$ . Выделяем в  $I(D, \varphi_3)$  простую цепь  $\eta_4 = v_1 v_3 v_4 v_2 v_5$  из  $v_1$  в  $v_5$ . Увеличиваем потоки по дугам из  $\eta_4$  на одинаковую величину, равную 2, до насыщения дуг  $(v_1, v_3)$ ,  $(v_3, v_4)$ . При этом поток по дуге  $(v_2, v_5)$  не превышает ее пропускной способности, а величина потока по дуге  $(v_2, v_4)$  уменьшается на 2 (см. замечание 9.2). В результате поток  $\varphi_3$  меняется на поток  $\varphi_4$ . На рис. 9.8 приведено изображение орграфа  $D$  с потоком  $\varphi_4$ . Далее строим орграф приращений  $I(D, \varphi_4)$  (см. изображение модифицированного орграфа приращений  $I(D, \varphi_4)$  на рис. 9.9). Поскольку в  $I(D, \varphi_4)$  вершина  $v_5$  не достижима из  $v_1$ , то согласно алгоритму Форда – Фалкерсона  $\varphi_4$  – искомый максимальный поток, при этом  $\bar{\varphi}_4 = 21$ .

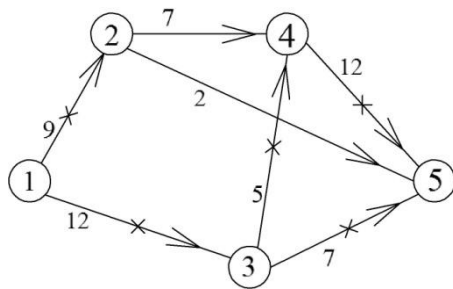


Рис. 9.8

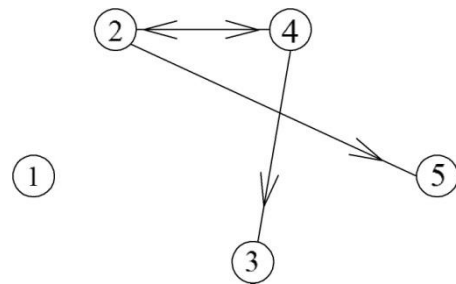


Рис. 9.9

**Замечание 9.3.** Условие единственности источника (стока) не является ограничительным. Например, в случае двух источников  $v_1, v_2$ , удовлетворяющих условиям:  $D^{-1}(v_1) = \emptyset$ ,  $D^{-1}(v_2) = \emptyset$ , можно добавить к транспортной сети  $D$  новую вершину  $v_0$  и две дуги  $(v_0, v_1)$ ,  $(v_0, v_2)$ . При этом пропускной способностью дуги  $(v_0, v_1)$  (соответственно дуги  $(v_0, v_2)$ ) следует считать сумму пропускных способностей дуг, исходящих из  $v_1$  (исходящих из  $v_2$ ). В этом случае вершина  $v_0$  становится единственным (*фиктивным*) источником. Аналогично поступаем в случае большего числа источников или в случае нескольких стоков. Таким образом, приведенные алгоритмы можно использовать и для нахождения максимального потока в транспортных сетях с несколькими источниками и стоками. В этом случае величиной потока в транспортной сети является сумма величин потоков по дугам, исходящим из совокупности ее источников.

## БИБЛИОГРАФИЧЕСКИЙ СПИСОК

1. *Нефедов В.Н., Осипова В.А.* Курс дискретной математики. – М.: Изд-во МАИ, 1992.
2. Методические указания к выполнению расчетных работ по дискретной математике / Под ред. В.А. Осиповой. – М.: Изд-во МАИ, 1994.
3. *Нефедов В.Н.* Дискретные задачи оптимизации. – М.: Изд-во МАИ, 1993.

## СОДЕРЖАНИЕ

Предисловие.....	3
Тема 1. Элементы теории графов. Задача об оповещении.....	4
Тема 2. Матрицы достижимости, связности. Определение наличия контуров в орграфах.....	9
Тема 3. Поиск маршрутов (путей) в графах (орграфах).....	18
Тема 4. Деревья и циклы.....	25
Тема 5. Внутренняя и внешняя устойчивость в графах. Ядра графа.....	27
Тема 6. Функции на вершинах орграфа. Порядковая функция. Функция Гранди.....	31
Тема 7. Хроматическое число графа. Задача об оптимальном окрашивании вершин графа. Задача о минимальном числе помещений для хранения продуктов.....	36
Тема 8. Цикломатическая матрица. Электрические цепи. Уравнения Кирхгофа.....	46
Тема 9. Транспортные сети. Поток в сети. Максимальный поток.....	52
Библиографический список.....	58